

ДВНЗ “Донецький національний технічний університет ”
Факультет Комп’ютерно-інтегрованих технологій, автоматизації,
електроінженерії та радіоелектроніки
Кафедра Електричної інженерії

«До захисту допущено»

Завідувач кафедри

к.т.н. Колларов О.Ю.

(підпис)

(ініціали, прізвище)

“ ____ ”

2021 р

ПОЯСНЮВАЛЬНА ЗАПИСКА
до дипломного проекту (роботи)

Магістр

(освітньо-кваліфікаційний рівень)

на тему « Аналіз методів практичних розрахунків нестационарних режимів»

Виконав: студент 2 курсу, групи ЕЛКмз-19
(шифр групи)

напрям підготовки (спеціальності) 141 «Електроенергетика, електротехніка
та електромеханіка»
(шифр і назва напрямку підготовки, спеціальності)

Рассказова В. С.

(прізвище та ініціали) (підпис)

Керівник доцент кафедри, к.т.н. Шеїна Г. О.
(посада, науковий ступінь, вчене звання, прізвище та ініціали) (підпис)

Рецензент _____
(посада, науковий ступінь, вчене звання, прізвище та ініціали) (підпис)

Засвідчую що у цьому дипломному проекті немає запозичень з
праць інших авторів без відповідних посилань

Студент _____

(підпис)

Покровськ – 2021 р.

**МІНІСТЕРСТВО ОСВІТИ І НАУКИ УКРАЇНИ
ДЕРЖАВНИЙ ВИЩИЙ НАВЧАЛЬНИЙ ЗАКЛАД
«ДОНЕЦЬКИЙ НАЦІОНАЛЬНИЙ ТЕХНІЧНИЙ УНІВЕРСИТЕТ»**

Факультет комп'ютерно- інтегрованих технологій, автоматизації, електроінженерії та радіоелектроніки

Кафедра електричної інженерії

Освітній ступінь: магістр

Спеціальність: (141) електроенергетика, електротехніка та електромеханіка

**ЗАТВЕРДЖУЮ:
Завідувач кафедри**

(Колларов О. Ю.)

« » _____ 2021 р.

**ЗАВДАННЯ
НА ДИПЛОМНУ РОБОТУ СТУДЕНТУ
Рассказова Валерія Сергійвна**

(прізвище, ім'я, по батькові)

1. Тема роботи: Аналіз методів практичних розрахунків нестационарних режимів

керівник роботи к. т. н. Шеїна Г.О.

(прізвище, ім'я, по батькові, науковий ступінь, вчене звання)

затверджені наказом вищого навчального закладу від _____ № _____

2. Срок подання студентом роботи 30 травня 2021 року.

3. Вихідні дані до роботи:

схема електричної мережі

головна схема електричної станції

схема електропостачання власних потреб блока

тип основного обладнання електричної станції

4. Зміст розрахунково-пояснювальної записки (перелік питань, які потрібно розробити)

Розділ 1. Аналіз перехідних процесів електричних системах

Розділ 2. Математичний аналіз процесів в ЕЕС

Розділ 3. Визначення струмів короткого замикання

Розділ 4. Охорона праці

5. Перелік графічного матеріалу (з точним зазначенням обов'язкових креслень, якщо передбачається)

Вісім слайдів презентаційного матеріалу

6. Консультанти розділів роботи

Розділ	Прізвище, ініціали та посада консультанта	Підпис, дата	
		завдання видав	завдання прийняв
Розділи 1 – 3	Шеїна Г.О.		
Розділ 4	Біла Н. С.		

7. Дата видачі завдання 01 березня 2021 р.
КАЛЕНДАРНИЙ ПЛАН

№ з/п	Назва етапів дипломного роботи	Строк виконання етапів роботи	Примітка
1.	Розділ 1	02.03–30.03.21	
2.	Розділ 2	31.03–21.04.21	
3.	Розділ 3	22.04–19.05.21	
4.	Розділ 4	20.05–30.05.21	
5.			
6.			

Студент Рассказова В. С.
(підпись) (прізвище та ініціали)

Керівник роботи Шеїна Г. О.
(підпись) (прізвище та ініціали)

АНОТАЦІЯ

Рассказова В. С. Аналіз методів практичних розрахунків нестационарних режимів / Випускна кваліфікаційна робота на здобуття освітнього ступеня «магістр» за спеціальністю 141 «Електроенергетика, електротехніка та електромеханіка». – ДВНЗ ДонНТУ, Покровськ, 2021.

Дипломна робота складається зі вступу, основної частини, яка включає чотири розділи, висновків та списку використаних джерел.

У першому розділі розглядаються фізичні явища, які виникають в ЕЕС системах при виникненні перехідних процесів.

У другому розділі розглядаються питання перехідних процесів синхронних машин без демпферних обмоток або з ними. Розглянуті диференційні рівняння, які у повній мірі описують перехідні процеси. Вони враховують основні складові електромагнітного перехідного процесу в електричній машині, і ці рівняння визначають струм раптового трифазного КЗ. На векторних діаграмах проаналізовані складові струмів КЗ, їх залежність від попереднього режиму і характеру навантаження.

У третьому розділі досліджувалася електрична частина електричної станції, виконується розрахунок параметрів схем заміщення асинхронних двигунів власних потреб, визначаються експлуатаційні параметри двигунів, пускові характеристики. Створена математична модель електричної частини електростанції.

У четвертому розділі розглянуті питання охорони праці.

Ключові слова: перехідні процеси, синхронні машини, трифазне коротке замикання, векторна діаграма, електрична станція, асинхронні машини, власні потреби.

1. Аналіз режимів роботи електричної станції / Рассказова В.С., Кардаш Д.О., Шеїна Г.О.// III Міжнародна науково-технічна інтернет-конференції «Новітні технології в освіті, науці та виробництві». Покровськ. 2021.

ANNOTATION

Rasskazova Valeriia Serhiivna. Analysis of methods of practical calculations of nonstationary regimes / Graduation qualifying work for obtaining an educational degree "Master" in specialty 141 "Electricity, electrical engineering and electromechanics". – DonNTU, Pokrovsk, 2021.

The thesis consists of an introduction, the main part, which includes four sections, conclusions and a list of sources used.

The first section considers the physical phenomena that occur in EES systems in the event of transients.

The second section deals with the transients of synchronous machines without or with damping windings. Differential equations are considered, which fully describe the transients. They take into account the main components of the electromagnetic transient process in an electric machine, and these equations determine the current of a sudden three-phase short circuit. The components of short-circuit currents, their dependence on the previous mode and the nature of the load are analyzed on vector diagrams.

In the third section the electric part of the power plant is investigated, the calculation of parameters of schemes of replacement of asynchronous motors of own needs is carried out, operational parameters of motors, starting characteristics are defined. A mathematical model of the electrical part of the power plant is created.

In the fourth section the issues of labor protection are considered.

Keywords: transients, synchronous machines, three-phase short circuit, vector diagram, power plant, asynchronous machines, own needs

Analysis of power plant operation modes / Rasskazova V. S., Kardash D. O., Sheina G.O. // III International scientific and technical Internet conference "The latest technologies in education, science and production". Pokrovsk. 2021.

ЗМІСТ

Вступ	7
Розділ 1. Аналіз перехідних процесів електричних системах	8
Розділ 2. Математичний аналіз процесів в ЕЕС	10
2.1 Основні поняття	10
2.2 Аналіз процесів в електричній машині	21
2.3 Математичний аналіз процесів в синхронній машині	42
2.4 Практичні методи розрахунку	56
2.5 Висновки за другим розділом	59
Розділ 3. Визначення струмів короткого замикання	60
3.1 Характеристика мережі	60
3.2 Усталений режим	84
3.3 Сталий режим КЗ	88
Висновки за третім розділом	98
Розділ 4 Охорона праці	100
Висновки	103
Список використаної літератури	105

ВСТУП

Метою даної роботи є створення математичної моделі електричної частини електростанції з метою дослідження сталих та перехідних режимів роботи мережі. Отриману математичну модель можна використовувати для підвищення надійності функціонування такого важливого елементу енергосистеми, як електрична станція.

Крім того проаналізовані математичні моделі двигунів власних потреб, визначені параметри їх схем заміщення, отримані пускові характеристики. За допомогою отриманих даних є можливість аналізувати процеси самозапуску двигунів власних потреб вище згаданих електричних станцій.

На сучасних електростанціях є велика потреба в надійних генераторах і двигунах. Ці машини забезпечують надійність, маневреність та безперебійність роботи електростанції. Вони забезпечують необхідний момент обертання, швидкість і потужність генерації. Дійсно, вони мають велике значення. Тому в класичній літературі [1-5] та нових дослідженнях [6-13], які регулярно публікуються, велика увага приділяється процесам аналізу режимів, розробці та удосконаленню математичних моделей електричних машин.

Історично склалося, що перший шлях до якого звернулися дослідники при вивченні процесів в електричних машин, це спрощення фізичної картини процесів при математичному моделюванні. Ці спрощення мали наслідком значні відмінності отриманих результатів від реальних.

З розвитком математичного апарату й розширенням можливостей технічної реалізації моделювання, дослідники отримали більші можливості.

Нелінійність процесів, значна кількість взаємних зв'язків між об'єктами вже на створюють проблем. В наведеній роботі приведені приклади використання нових ресурсів для дослідження складних і важливих перехідних процесів в електричних машинах.

РОЗДІЛ 1. АНАЛІЗ ПЕРЕХІДНИХ ПРОЦЕСІВ ЕЛЕКТРИЧНИХ СИСТЕМАХ

Електрична система (силові елементи: генератори G , трансформатори T , лінії електропередачі W , синхронні компенсатори GC) – це, як добре відомо, частина електроенергетичної системи (ЕЕС), що виробляє, перетворює, розподіляє та споживає електроенергії (ЕЕ). Крім того, вона включає пристрій регулювання.

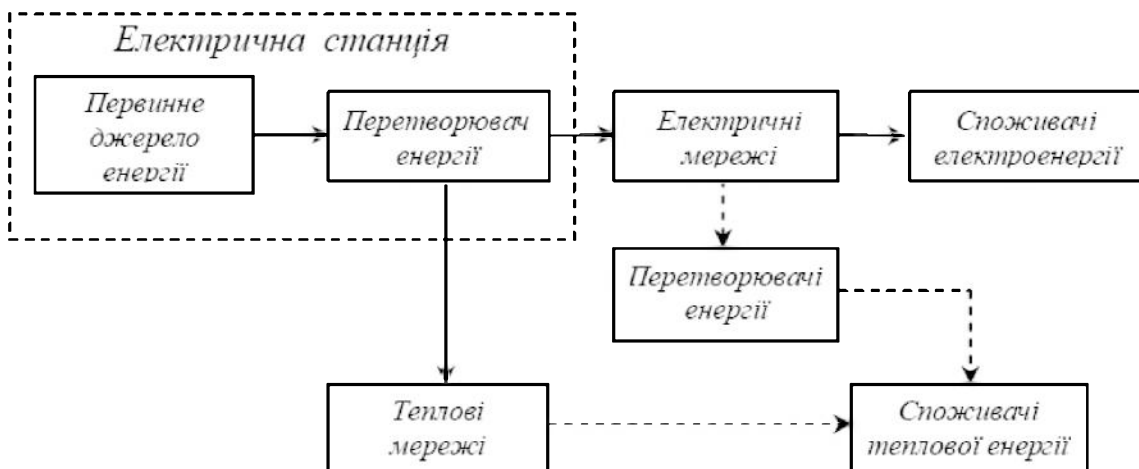


Рисунок 1.1 – Структура ЕЕС

Окремим підрозділом ЕЕС є система електропостачання (СЕП), основна функція якої розподіл електроенергії між вузлами навантаження.

Режим СЕП – це стан електричної системи, який кількісно характеризується деякими показниками, так званими параметрами режиму (U, I, f, s).

При дослідженні параметрів режиму велику увагу приділяють розумінню фізичних явищ, що відбуваються при зміні режиму системи; вивчають методи кількісної оцінки переходних процесів; досліджують заходи

і засоби управління цими процесами з метою надання їм необхідного характеру.

Режими поділяються за типом зміни їх параметрів:

- сталі, коли відбуваються повільні незначні зміни параметрів;
- перехідні, коли зміни є швидкими і значними.

Останні в свою чергу виникають у випадку, коли виникають короткі замикання; аварійно відключаються або включаються джерела чи споживачі; відбуваються процеси пуску та самозапуску; порушення симетричності роботи СЕП та інше.

Так само вони поділяються ще на два типи:

- ті, що характеризуються відсутністю зміни швидкості обертання генераторів, електромагнітні;
- ті, що характеризуються зміною швидкості обертання генераторів, електромеханічні.

В першому випадку, ми розглядаємо короткі замикання – замикання фаз або між собою, або на землю. Якщо опір в місці замикання відсутній, то таке КЗ називають металевим. Також виникає поздовжня несиметрія при обриві однієї або декількох фаз. На практиці можуть виникати й складні пошкодження, коли виникають одночасно декілька різних пошкоджень в різних точках електрично зв'язаних систем.

РОЗДІЛ 2. МАТЕМАТИЧНИЙ АНАЛІЗ ПРОЦЕСІВ В ЕЕС

2.1 Основні поняття

Найпростіша трифазна схема (рис. 2.1) – це коло із зосередженими параметрами, яке не включає трансформаторні зв'язки, й отримує живлення від джерела напруги нескінченної потужності.

Для джерела напруги нескінченної потужності повинні виконуватися наступні умови:

$$U_m = \text{const}$$

$$f = \text{const}$$

$$r_{\text{енерг}} = 0$$

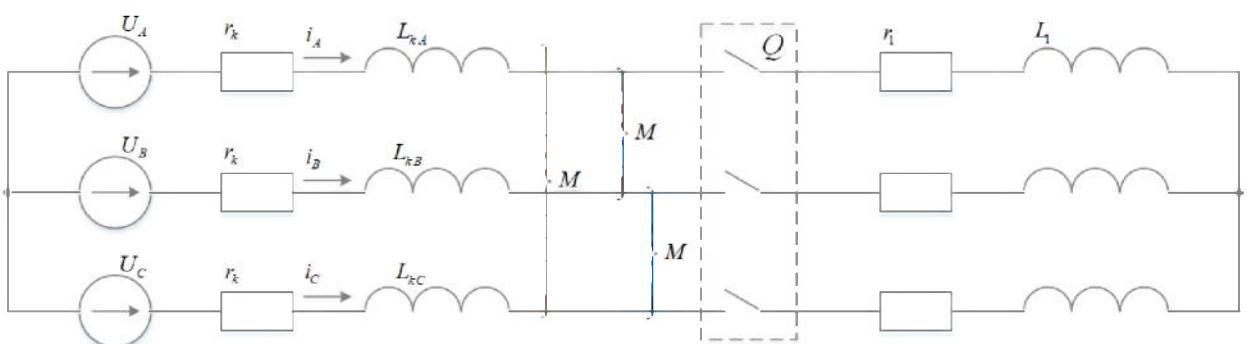


Рисунок 2.1 – Найпростіша схема

Фазна напруга має наступний закон зміни:

$$u_A = U_m \cdot \sin(\omega \cdot t + \alpha)$$

α – фаза включення.

Вимикач Q , за яким встановлена закоротка, після включення розділяє схему на два незалежних кола.

Визначимо закон зміни струмів у фазах.

Права частина включає короткозамкнені контури з параметрами r_1 , L_1 і описується рівнянням

$$0 = L_1 \cdot \frac{di}{dt} + r_1 \cdot i \quad (2.1)$$

Його рішення має наступний вигляд:

$$\left. \begin{aligned} i &= i_0 \cdot e^{-\frac{t}{T_{a1}}} \\ T_{a1} &= \frac{L_1}{r_1} = \frac{x_1}{\omega \cdot r_1} \end{aligned} \right\} \quad (2.2)$$

На практиці для визначення функції зміни струму при відсутності джерела енергії можна використати вбудовану функцію MatLab, яка має наступний синтаксис:

odeXY(Функція, Інтервал розрахунку, Початкові умови, Отрїї)

Функція:

$$\frac{dX(t)}{dt} = F(t, X) \Leftrightarrow \begin{cases} \frac{dx_1(t)}{dt} = f_1(t, x_1, x_2, \dots, x_m) \\ \frac{dx_2(t)}{dt} = f_2(t, x_1, x_2, \dots, x_m) \\ \dots \\ \frac{dx_m(t)}{dt} = f_m(t, x_1, x_2, \dots, x_m) \end{cases}$$

Інтервал розрахунку: $t \in [t_0, t_{end}]$.

Початкові умови:

$$X(t_0) = X_0 \Leftrightarrow \begin{cases} x_1(t_0) = x_{10} \\ x_2(t_0) = x_{20} \\ \dots \\ x_m(t_0) = x_{m0} \end{cases}$$

За наведеним вище алгоритмом визначено характер струму – рис.2.1.

```
r1=0.1; %активний опір
x1=5;    %індуктивний опір
L1=x1/(pi*100); %індуктивність
[t,i]=ode45(@(t,i) -r1/L1*i, [0 5], 2);% блок розв'язання ДР
plot(t,i)    % побудова графіку зміни струму у часі
```

a

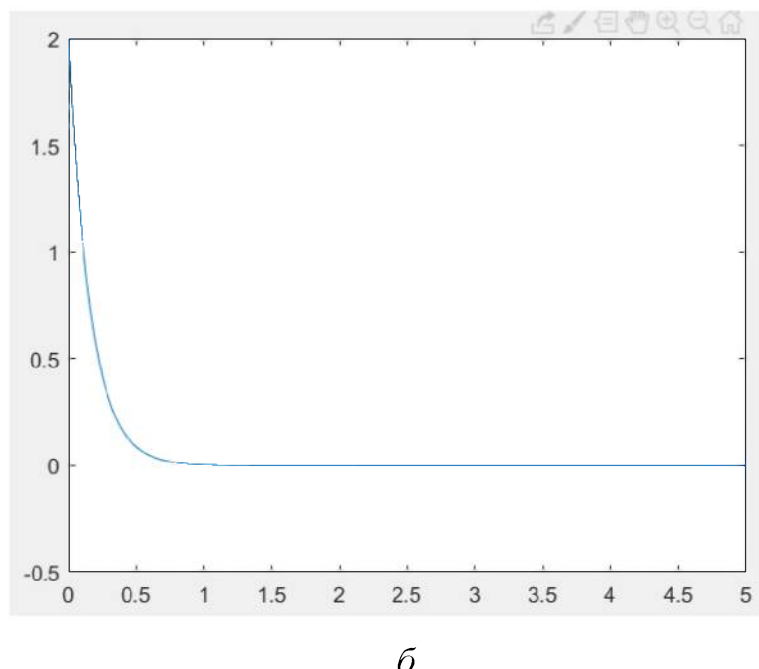


Рисунок 2.1 – Приклад визначення

З фізичної точки зору – цей характер зміни струму означає, що енергія магнітного поля, яка накопичена індуктивністю L_1 , витрачається на нагрів в активному опорі r_1 .

Збереження інерції магнітного потоку (правило Ленца) пояснює причину відсутності стрибка струму в індуктивності. Тому початкове значення струму визначається попереднім режимом.

Роздивимося ту частину схеми, яка залишилася підключеною до мережі:

$$u_A = i_A \cdot r + L_A \cdot \frac{di_A}{dt} + M_{AB} \cdot \frac{di_B}{dt} + M_{AC} \cdot \frac{di_C}{dt}$$

$$i_A = -(i_B + i_C)$$

Результатуюча індуктивність буде складати: $L = L_A - (M_{AB} + M_{AC})$.

Таким чином, для кожної фази є справедливим твердження:

$$u = i \cdot r + L \cdot \frac{di}{dt} \quad (2.3)$$

До моменту КЗ, так званий, вихідний режим має наступний закон зміни:

$$i(t) = \frac{U_m}{\underline{\underline{\zeta}}} \cdot \sin(\omega \cdot t + \alpha - \varphi) = I_m \cdot \sin(\omega \cdot t + \alpha - \varphi) \quad \left. \begin{array}{l} \\ \end{array} \right\}$$

$$\underline{\underline{\zeta}} = \sqrt{(r_k + r_1)^2 + (L_k + L_1)^2} \quad \left. \begin{array}{l} \\ \end{array} \right\} \quad (2.4)$$

Після моменту КЗ

$$i_{\text{KZ}}(t) = \frac{U_m}{\underline{\underline{\zeta}_k}} \cdot \sin(\omega \cdot t + \alpha - \varphi_k) + C \cdot e^{-\frac{r_k}{L} t} =$$

$$= \underbrace{I_{m,k} \cdot \sin(\omega \cdot t + \alpha - \varphi_k)}_{i_{\text{rep}}} + \underbrace{C \cdot e^{-\frac{r_k}{L} t}}_{i_{\text{over}}} \quad (2.5)$$

В момент $t_{(0)^-}$

$$\left. \begin{aligned} t_{(0)^-} \\ i_{(0)^-} = i(t_{(0)^-}) = I_m \cdot \sin(\alpha - \varphi) \end{aligned} \right\}$$

В момент $t_{(0)^+}$

$$\left. \begin{aligned} t_{(0)^+} \\ i_{(0)^+} = i(t_{(0)^+}) = I_{mk} \cdot \sin(\alpha - \varphi_k) + C \end{aligned} \right\}$$

Так як для часу $t_{(0)^-} = t_{(0)^+}$ зберігається магнітний потік в індуктивності,

то

$$\left. \begin{aligned} i_{(0)^-} = i_{(0)^+} \\ I_m \cdot \sin(\alpha - \varphi) = I_{mk} \cdot \sin(\alpha - \varphi_k) + C \end{aligned} \right\}$$

Отже

$$C_{t=0} = I_m \cdot \sin(\alpha - \varphi) - I_{mk} \cdot \sin(\alpha - \varphi_k)$$

Визначаємо складову струму для (2.5):

$$\left. \begin{aligned} i_{anep}(t) &= C \cdot e^{\frac{r_k}{L}t} = i_{anep 0} \cdot e^{\frac{-t}{T_a}} = \\ &= [I_m \cdot \sin(\alpha - \varphi) - I_{mk} \cdot \sin(\alpha - \varphi_k)] \cdot e^{\frac{-t}{T_a}} \\ i_{anep 0} &= I_m \cdot \sin(\alpha - \varphi) - I_{mk} \cdot \sin(\alpha - \varphi_k) \\ T_a &= -\frac{L}{r_k} \end{aligned} \right\}$$

Повний струм КЗ у функції часу:

$$i_{\kappa_3}(t) = i_{nep}(t) + i_{anep}(t) = I_{mk} \cdot \sin(\omega \cdot t + \alpha - \varphi_k) + i_{anep_0} \cdot e^{\frac{-t}{T_a}} \quad (2.6)$$

Розглянемо це більш детально за допомогою наступної векторної діаграми – рис.2.2.

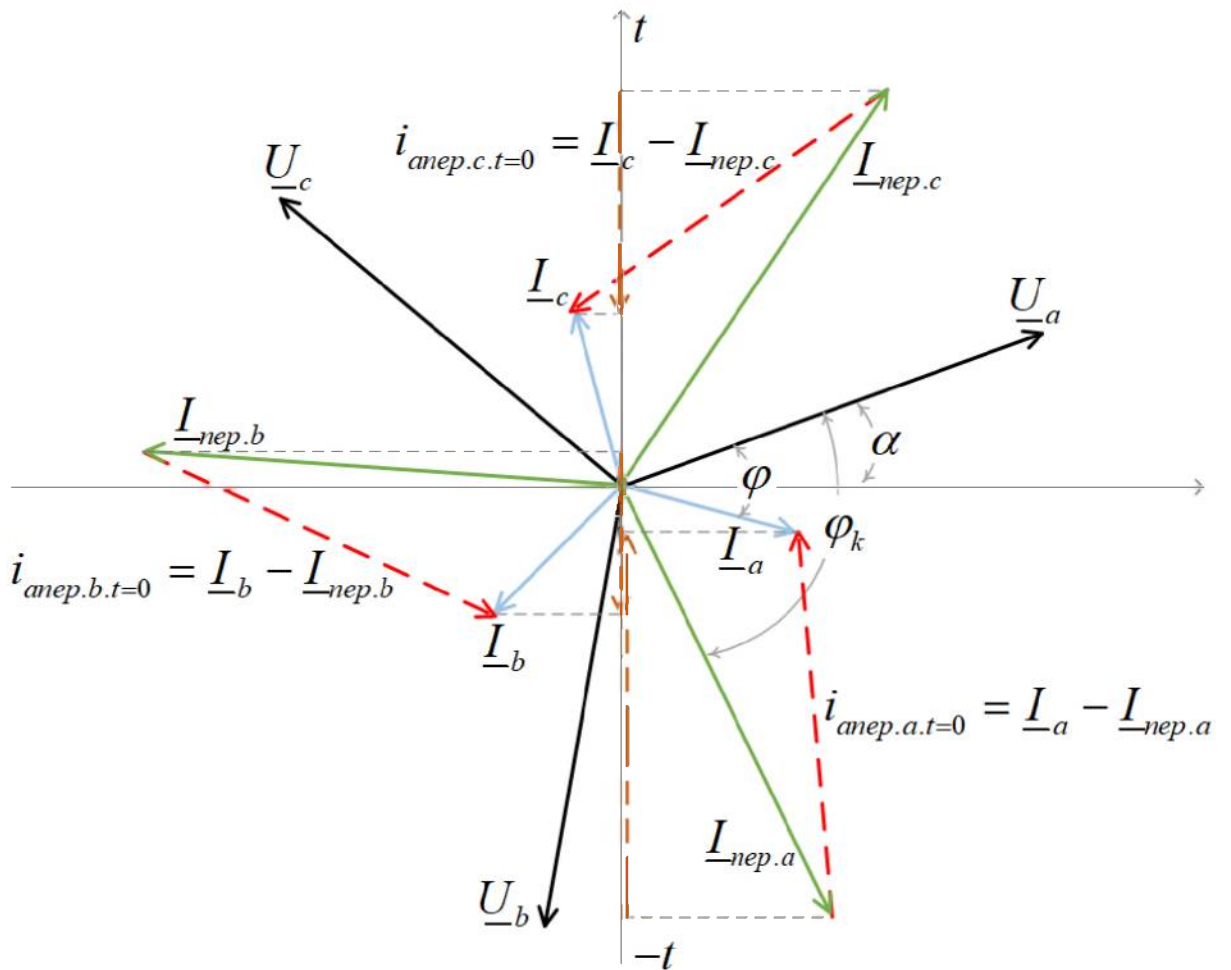


Рисунок 2.2 – Векторна діаграма трифазної мережі

На рис. 2.2 показана ось часу t .

Вектори фазних напруг $\underline{U}_a, \underline{U}_b, \underline{U}_c$ характеризуються кутом включення $\alpha, \alpha + \frac{2\pi}{3}, \alpha - \frac{2\pi}{3}$. Цей кут визначається моментом виникнення короткого замикання.

Вид навантаження і параметри електричної схеми визначають положення вектору струму $\underline{I}_a, \underline{I}_b, \underline{I}_c$ для режиму, що передує КЗ

$$\varphi, \varphi + \frac{2\pi}{3}, \varphi - \frac{2\pi}{3}.$$

Для нової електричної схеми, яка утвориться після КЗ, вектори періодичного струму $\underline{I}_{nep.a}, \underline{I}_{nep.b}, \underline{I}_{nep.c}$ визначаються кутами

$$\varphi_k, \varphi_k + \frac{2\pi}{3}, \varphi_k - \frac{2\pi}{3}.$$

Аперіодичний струм в момент часу $t = 0$ визначається геометричною різницею вектору струму попереднього режиму і періодичного струму КЗ:

$$\begin{aligned} i_{anep.a.(t=0)} &= \underline{I}_a - \underline{I}_{nep.a} \\ i_{anep.b.(t=0)} &= \underline{I}_b - \underline{I}_{nep.b} \\ i_{anep.c.(t=0)} &= \underline{I}_c - \underline{I}_{nep.c} \end{aligned}$$

Аперіодична складова залежить від фази включення. Її величина може приймати як максимальне (рис. 2.3, фаза a), так і мінімальне значення (рис. 2.4, фаза b).

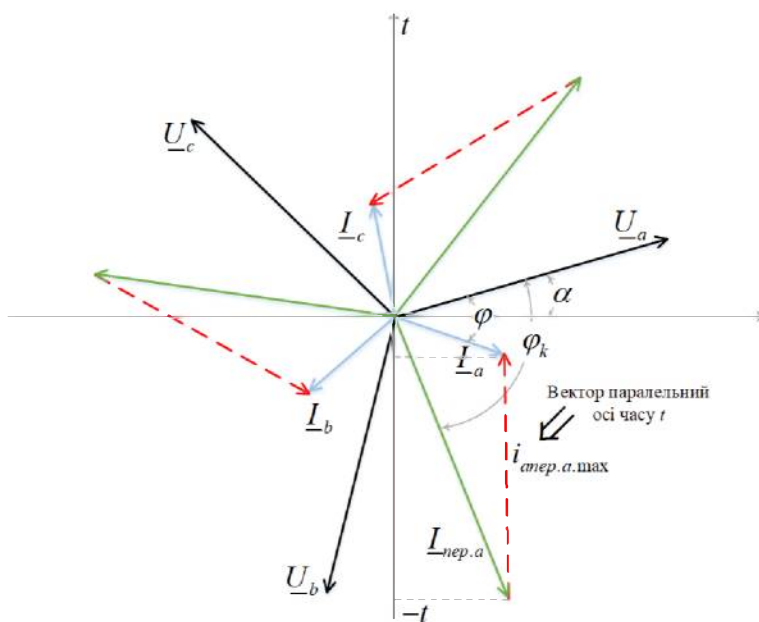


Рисунок 2.3 – Умова виникнення максимального аперіодичного струму

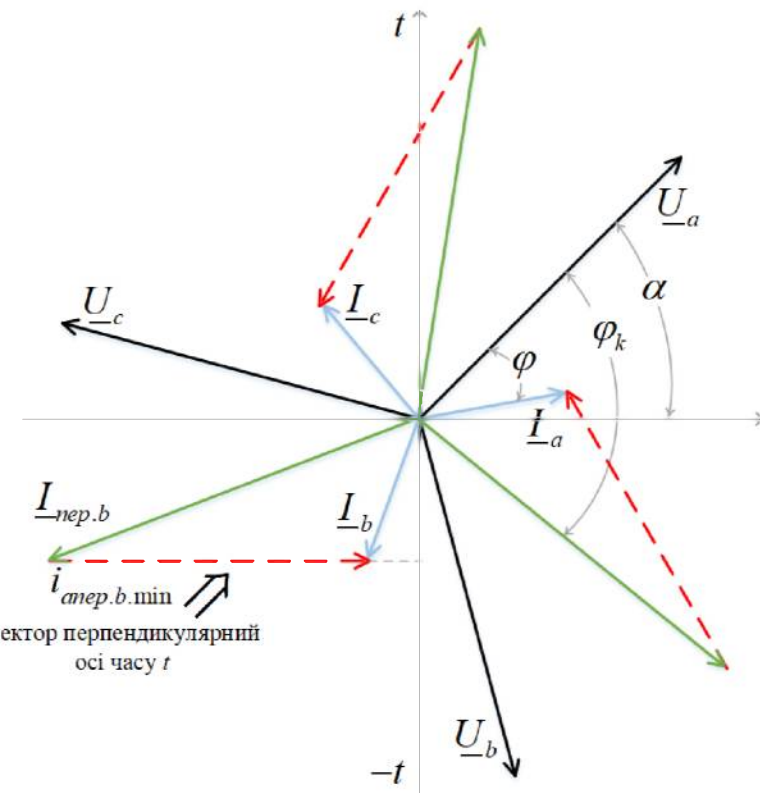


Рисунок 2.4 – Умова виникнення мінімального аперіодичного струму

Але такі окремі умови, як видно з рис. 2.3-2.4, можуть бути лише в одній фазі.

Ще одна властивість аперіодичних складових – це те, що у початковий момент виникнення КЗ – їх сума (аперіодичних складових трьох фаз) дорівнює нулю:

$$i_{\text{aper.a.}(t=0)} + i_{\text{aper.b.}(t=0)} + i_{\text{aper.c.}(t=0)} = 0$$

Графічно це підтверджується на рис. 2.2 і 2.5.

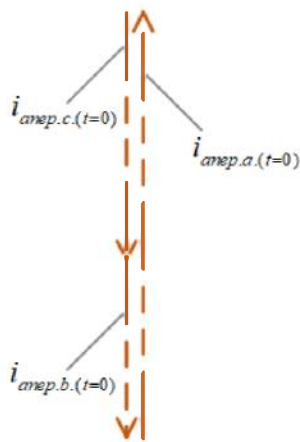
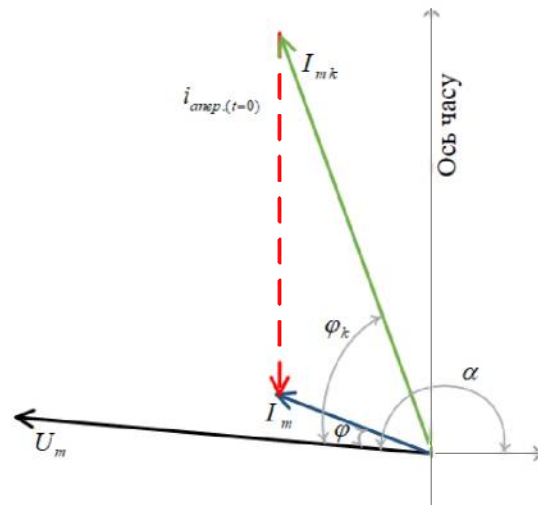


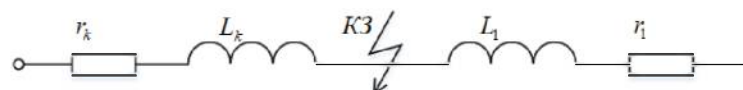
Рисунок 2.5 – Аперіодичні складові в момент часу $t = 0$

Крім того, значення аперіодичної складової визначається, що також добре видно з векторною діаграми (рис. 2.2), попереднім режимом електричної мережі.

Для активно-індуктивного навантаження, в особливій фазі, – це рис. 2.6, для активно-емнісного навантаження – це рис. 2.7. В останньому випадку найбільша величина аперіодичного струму, але в електричних мережах такі випадки є рідкими, зустрічаються нечасто.



а)



б)

Рисунок 2.6 – Векторні діаграми для активно-індуктивного навантаження

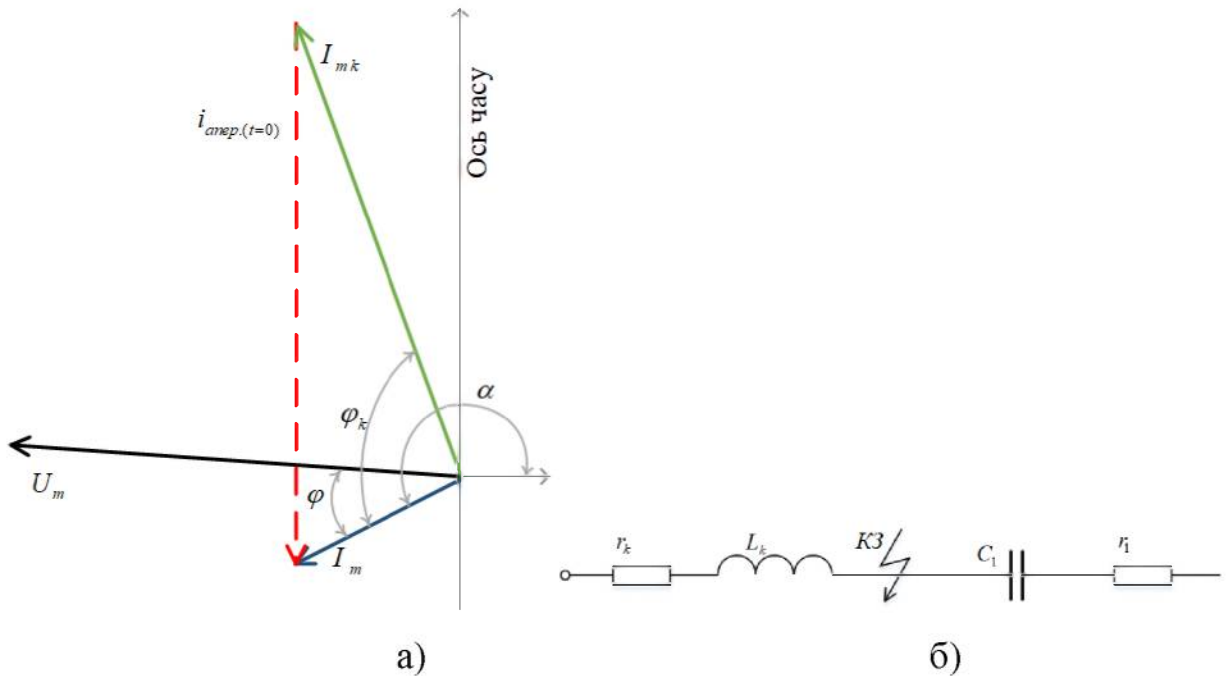


Рисунок 2.7 – Векторні діаграми для активно-ємнісного навантаження

На практиці можливий варіант короткого замикання з режиму холостого ходу, коли фаза включення α може бути в момент виникнення КЗ такою, що періодична складова струму КЗ I_{mk} проходить через максимум (рис. 2.8).

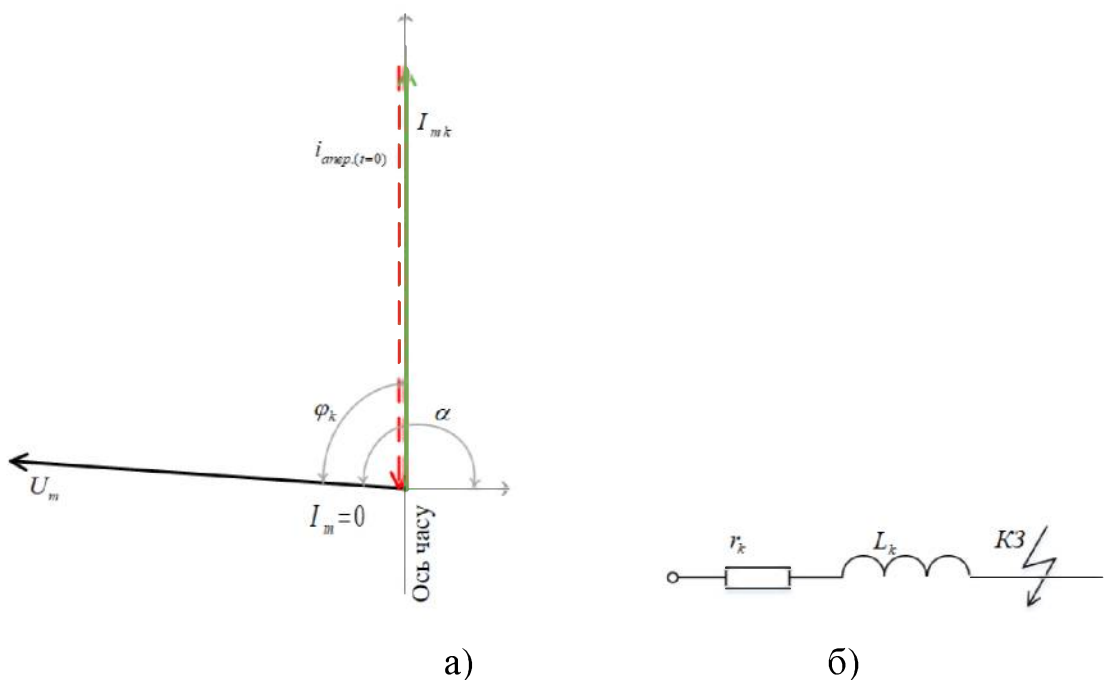


Рисунок 2.8 – Векторні діаграми для режиму ХХ

Аперіодична складова викриває криву струму (рис. 2.9).

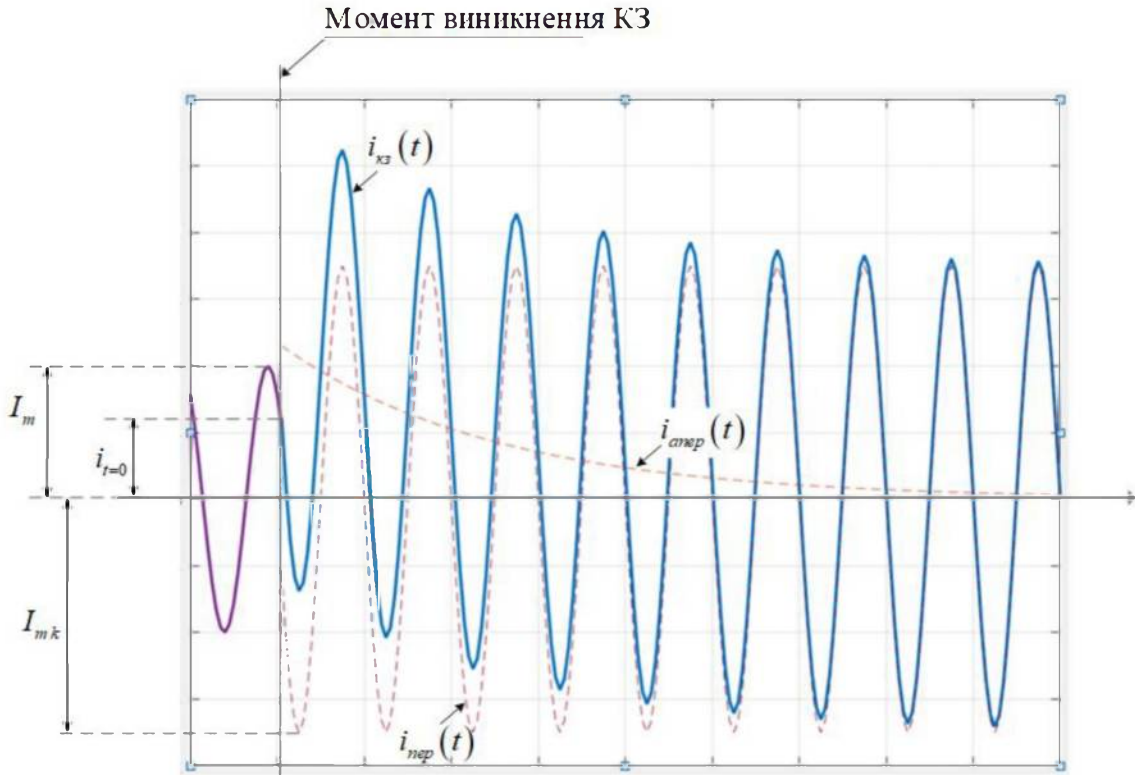


Рисунок 2.9 – Зміна у часі струму КЗ

Наведена на рис. 2.9 осцилограма дозволяє проаналізувати величину струмів КЗ.

Для умови, що в момент виникнення КЗ

$$i_{anep0} = I_{mk}$$

вираз (2.6) прийме вид

$$i_{y\vartheta} = i_{kz}(0,01) = i_{nep}(0,01) + i_{anep}(0,01) \approx I_{mk} \left(1 + e^{\frac{-0,01}{T_a}} \right)$$

$$k_{y\vartheta} = 1 + e^{\frac{-0,01}{T_a}}$$

Так як величина постійної часу аперіодичної складової струму може приймати значення в діапазоні

$$\left. \begin{aligned} T_a &= \frac{L}{r} \\ r = 0 \Rightarrow T_a &= \infty \Rightarrow k_{y\ddot{o}} = 1 + e^{\frac{-0,01}{T_a}} = 0 \\ L = 0 \Rightarrow T_a &= 0 \Rightarrow k_{y\ddot{o}} = 1 + e^{\frac{-0,01}{T_a}} = 1 \end{aligned} \right\}$$

то й ударний коефіцієнт може прийняти значення в межах:

$$1 \leq k_{y\ddot{o}} \leq 2$$

Отже ударний струм виникає в момент часу 0,01 сек від початку КЗ.

Діюче значення струму КЗ:

$$I_t = \sqrt{\frac{1}{T} \int_{t-\frac{T}{2}}^{t+\frac{T}{2}} i^2 \cdot dt}$$

2.2 Аналіз процесів в електричній машині

Вводиться поняття "ідеалізованої машини" для чого приймаються додаткові припущення:

- не враховуються втрати в магнітній системі машини;
- приймається повна симетрія обмоток статора і ротора (рис. 2.10);
- враховується лише перша гармоніка кривих розподілу сили намагнічення й індукції в повітряному зазорі машини;

- всі демпферні обмотки за різними осями ротора і масив турбогенератора представляються однією еквівалентною за кожною віссю.

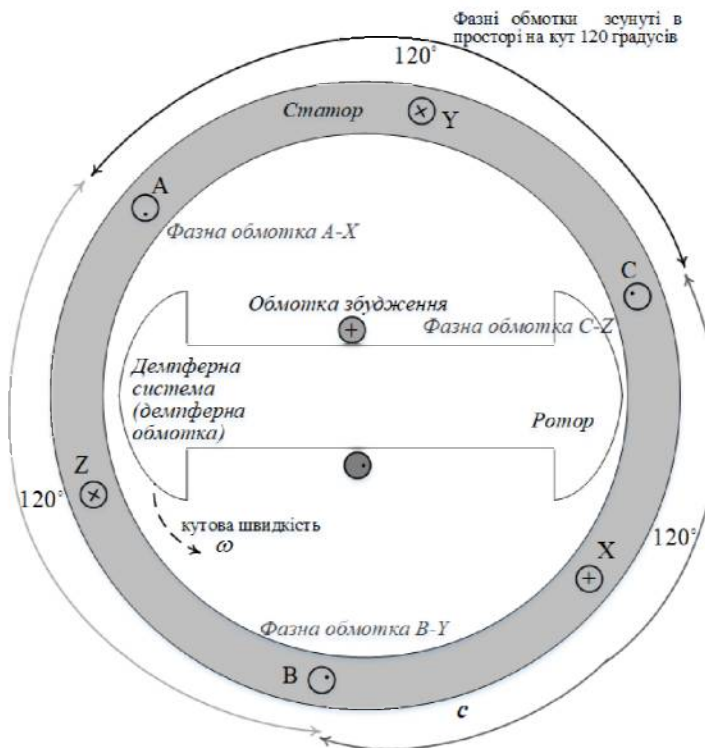


Рисунок 2.10 – Конструкція синхронної машини

Отже перше твердження, яке покладено в теорію дослідження режимів роботи електричних машин – це лінійна залежність між струмами i_a, i_b, i_c, i_f та потокозчепленнями $\psi_a, \psi_b, \psi_c, \psi_f$ в контурах фаз та обмотки збудження: a, b, c, f :

$$\left. \begin{aligned} \psi_a &= L_a \cdot i_a + M_{ab} \cdot i_b + M_{ac} \cdot i_c + M_{af} \cdot i_f \\ \psi_b &= M_{ba} \cdot i_a + L_b \cdot i_b + M_{bc} \cdot i_c + M_{bf} \cdot i_f \\ \psi_c &= M_{ca} \cdot i_a + M_{cb} \cdot i_b + L_c \cdot i_c + M_{cf} \cdot i_f \\ \psi_f &= M_{fa} \cdot i_a + M_{fb} \cdot i_b + M_{fc} \cdot i_c + L_f \cdot i_f \end{aligned} \right\} \quad (2.7)$$

У систему рівнянь (2.7) входять коефіцієнти самоіндукції L_a, L_b, L_c та взаємної індукції $M_{ab}, M_{ac}, M_{ba}, M_{bc}, M_{ca}, M_{cb}$.

Власна індуктивність контуру залежить від конструкції ротору (неявнополюсний чи явнополюсний):

$$L_a = l_0 + l_2 \cos(2\gamma) + l_4 \cos(4\gamma) + \dots$$

γ – кут повороту поздовжньої осі ротору відносно магнітної осі фази a .

Внаслідок симетрії фазних обмоток (рис. 2.11) коефіцієнти будуть однаковими для кожної фази:

$$L_a = l_0 + l_2 \cos(2\gamma) + l_4 \cos(4\gamma) + \dots$$

$$L_b = l_0 + l_2 \cos\left(2\left[\gamma - \frac{2\pi}{3}\right]\right) + l_4 \cos\left(4\left[\gamma - \frac{2\pi}{3}\right]\right) + \dots$$

$$L_c = l_0 + l_2 \cos\left(2\left[\gamma + \frac{2\pi}{3}\right]\right) + l_4 \cos\left(4\left[\gamma + \frac{2\pi}{3}\right]\right) + \dots$$

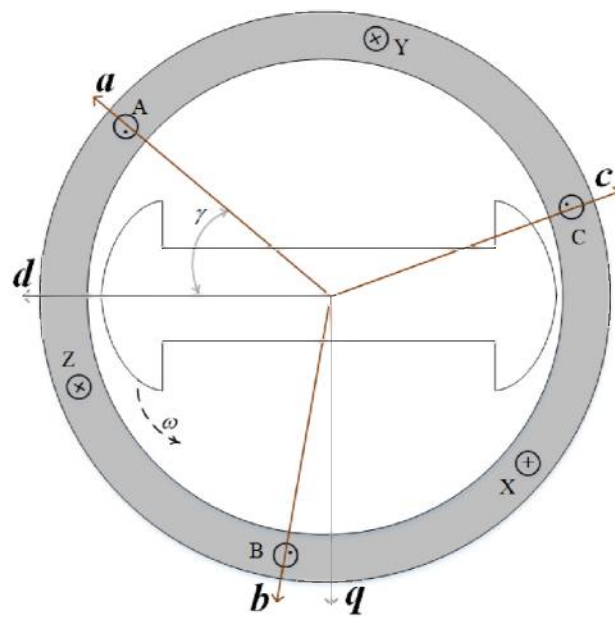


Рисунок 2.11 – Взаємне розташування обмоток та осей

Як доведено, для ідеалізованої електричної машини є справедливим спрощення:

$$\left. \begin{aligned} L_a &= l_0 + l_2 \cos(2\gamma) \\ L_b &= l_0 + l_2 \cos\left(2\gamma - \frac{2\pi}{3}\right) \\ L_c &= l_0 + l_2 \cos\left(2\gamma + \frac{2\pi}{3}\right) \end{aligned} \right\}$$

Далі є логічним перейти до осей симетрії ротора. Якщо позначити індуктивності по поздовжній та поперечній осям, відповідно, наступним чином:

$$\left. \begin{aligned} l_d &= l_0 + l_2 \\ l_q &= l_0 - l_2 \end{aligned} \right\}$$

то отримуємо наступну систему рівнянь

$$\left. \begin{aligned} L_a &= l_d \cdot \cos^2(\gamma) + l_q \cdot \sin^2(\gamma) \\ L_b &= l_d \cdot \cos^2\left(\gamma - \frac{2\pi}{3}\right) + l_q \cdot \sin^2\left(\gamma - \frac{2\pi}{3}\right) \\ L_c &= l_d \cdot \cos^2\left(\gamma + \frac{2\pi}{3}\right) + l_q \cdot \sin^2\left(\gamma + \frac{2\pi}{3}\right) \end{aligned} \right\}$$

Отже за аналогічним алгоритмом находимо взаємну індуктивність:

$$\left. \begin{aligned} M_{ab} &= m_0 + m_2 \cos(2\gamma') + m_4 \cos(4\gamma') + \dots \\ \gamma' &= \gamma - 0,5 \cdot \frac{2\pi}{3} \end{aligned} \right\}$$

Вона приймає наступний вигляд:

$$M_{ab} = m_0 + m_2 \cos\left(2\gamma - \frac{2\pi}{3}\right)$$

Потім можна виконати, так само, перехід до більш зручної системи координат:

$$\left. \begin{aligned} m_d &= m_0 - \frac{1}{2}m_2 \\ m_q &= m_0 + \frac{1}{2}m_2 \\ M_{ab} &= \frac{m_d + m_q}{2} - (m_d - m_q) \cdot \cos\left(2\gamma - \frac{2\pi}{3}\right) \end{aligned} \right\}$$

Отриманий вираз можна спростити:

$$\left. \begin{aligned} M_{ab} &= -2 \left[m_d \cdot \cos\gamma \cdot \cos\left(\gamma - \frac{2\pi}{3}\right) + m_q \cdot \sin\gamma \cdot \sin\left(\gamma - \frac{2\pi}{3}\right) \right] \\ M_{bc} &= -2 \left[m_d \cdot \cos\left[\gamma - \frac{2\pi}{3}\right] \cdot \cos\left[\left[\gamma - \frac{2\pi}{3}\right] - \frac{2\pi}{3}\right] + \right. \\ &\quad \left. + m_q \cdot \sin\left[\gamma - \frac{2\pi}{3}\right] \cdot \sin\left[\left[\gamma - \frac{2\pi}{3}\right] - \frac{2\pi}{3}\right] \right] \\ M_{ac} &= -2 \left[m_d \cdot \cos\left[\gamma + \frac{2\pi}{3}\right] \cdot \cos\left[\left[\gamma + \frac{2\pi}{3}\right] - \frac{2\pi}{3}\right] + \right. \\ &\quad \left. + m_q \cdot \sin\left[\gamma + \frac{2\pi}{3}\right] \cdot \sin\left[\left[\gamma + \frac{2\pi}{3}\right] - \frac{2\pi}{3}\right] \right] \end{aligned} \right\}$$

Наступними розглядаються параметри обмотки збудження. Фазні обмотки нерухомі, а контур обмотки збудження обертається разом з ротором, тому взаємні індуктивності будуть мати період 2π :

$$M_{af} = M_{fa}, M_{bf} = M_{fb}, M_{cf} = M_{fc} \quad (2.8)$$

Через періодичність функції π взаємна індуктивність буде включати лише непарні гармоніки:

$$M_{af} = m_1 \cos(\gamma) + m_3 \cos(3\gamma) + \dots$$

При розімкнених затискачах фази a (XX) і наявності первинного потоку в обмотці збудження, справедливо твердження:

$$u_a = -\frac{d\Psi_a}{dt} = -i_f \frac{dM_{af}}{dt} = i_f \cdot \gamma \cdot (m_1 \cdot \sin(\gamma) + 3m_3 \cdot \sin(3\gamma) + \dots)$$

Для умови синусоїdalності напруги можна спростити вираз (2.8)

$$\left. \begin{aligned} M_{af} &= m_1 \cos(\gamma) \\ M_{bf} &= m_1 \cos\left(\gamma - \frac{2\pi}{3}\right) \\ M_{cf} &= m_1 \cos\left(\gamma + \frac{2\pi}{3}\right) \end{aligned} \right\}$$

За умови рівномірного завантаження контурів обмоток статора ($i_a = i_b = i_c$) ми отримуємо вираз для потокозчеплення:

$$\begin{aligned}
\Psi_a &= i \cdot (L_a + M_{ab} + M_{ac}) = \\
&= i \cdot \left(l_d \cdot \cos^2(\gamma) + l_q \cdot \sin^2(\gamma) - 2 \cdot \left[m_d \cdot \cos(\gamma) \cdot \cos\left(\gamma - \frac{2\pi}{3}\right) + \right. \right. \\
&\quad \left. \left. + m_q \cdot \sin(\gamma) \cdot \sin\left(\gamma - \frac{2\pi}{3}\right) + m_d \cdot \cos(\gamma) \cdot \cos\left(\gamma + \frac{2\pi}{3}\right) + \right. \right. \\
&\quad \left. \left. + m_q \cdot \sin(\gamma) \cdot \sin\left(\gamma + \frac{2\pi}{3}\right) \right] \right] = \\
&= i \cdot \left[(l_d + 2m_d) \cdot \cos^2(\gamma) + (l_d + 2m_d) \cdot \sin^2(\gamma) \right]
\end{aligned}$$

Наведений вище вираз ґрунтуються для використанні загальновідомої теорії лінійних перетворень:

$$\left. \begin{aligned}
i_0 &= \frac{1}{3} \cdot (i_a + i_b + i_c) \\
i_d &= \frac{2}{3} \cdot \left(i_a \cdot \cos(\gamma) + i_b \cdot \cos\left(\gamma - \frac{2\pi}{3}\right) + i_c \cdot \sin\left(\gamma + \frac{2\pi}{3}\right) \right), \\
i_q &= \frac{2}{3} \cdot \left(i_a \cdot \sin(\gamma) + i_b \cdot \sin\left(\gamma - \frac{2\pi}{3}\right) + i_c \cdot \sin\left(\gamma + \frac{2\pi}{3}\right) \right)
\end{aligned} \right\} \quad (2.9)$$

Обернене перетворення має вид:

$$\left. \begin{aligned}
i_a &= i_0 + i_d \cdot \cos(\gamma) + i_q \cdot \sin(\gamma) \\
i_b &= i_0 + i_d \cdot \cos\left(\gamma - \frac{2\pi}{3}\right) + i_q \cdot \sin\left(\gamma - \frac{2\pi}{3}\right), \\
i_c &= i_0 + i_d \cdot \cos\left(\gamma + \frac{2\pi}{3}\right) + i_q \cdot \sin\left(\gamma + \frac{2\pi}{3}\right)
\end{aligned} \right\} \quad (2.10)$$

В окремому випадку, коли навантаження за фазами обмотки статора є симетричними і виконується умова $i_a + i_b + i_c = 0$, то є справедливими рівності:

$$\left. \begin{aligned} i_a &= i \cdot \cos(\alpha) \\ i_b &= i \cdot \cos\left(\alpha - \frac{2\pi}{3}\right) \\ i_c &= i \cdot \cos\left(\alpha + \frac{2\pi}{3}\right) \end{aligned} \right\} \quad (2.11)$$

В рівнянні (2.11) складова i є змінним за величиною і напрямом узагальненим вектором струму (рис. 2.12).

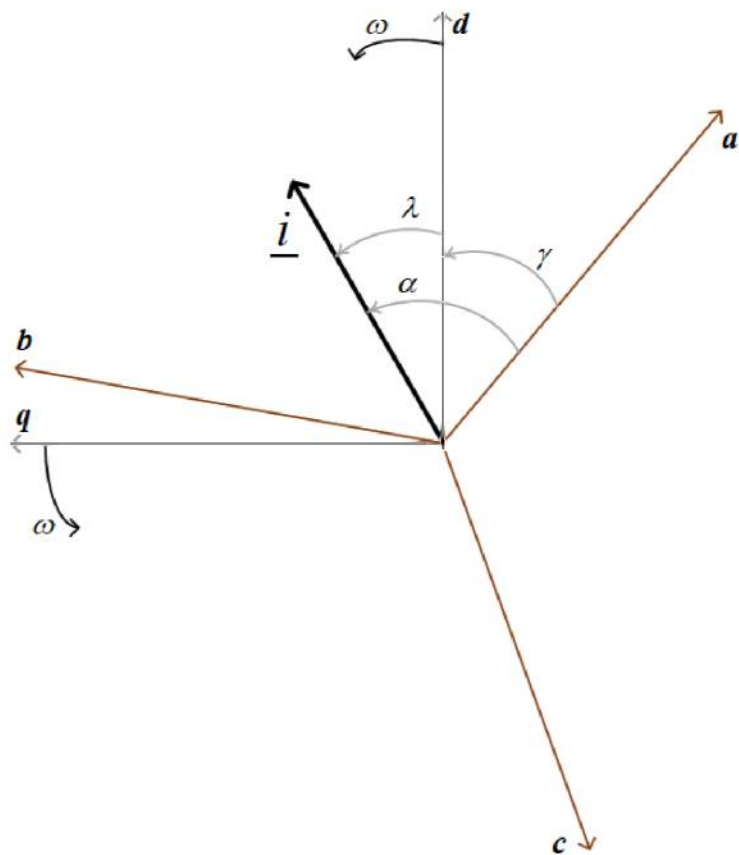


Рисунок 2.12 – Узагальнений вектор струму

На рис. 2.13 графічно пояснюються формули переходу.

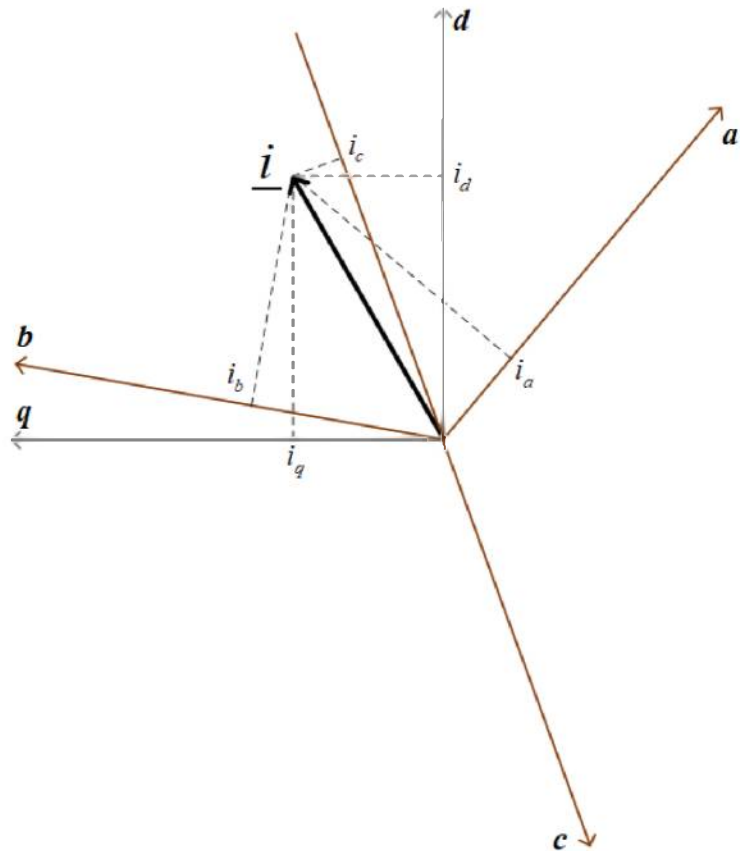


Рисунок 2.13 – Графічний зв’язок систем координат

Для умови $\underline{i}_a + \underline{i}_b + \underline{i}_c = 0$ справедливою є рівність:

$$\cos(\alpha) + \cos\left(\alpha - \frac{2\pi}{3}\right) + \cos\left(\alpha + \frac{2\pi}{3}\right) = 0$$

Таким чином

$$\begin{aligned} i_a^2 + i_b^2 + i_c^2 &= [i \cdot \cos(\alpha)]^2 + \left[i \cdot \cos\left(\alpha - \frac{2\pi}{3}\right)\right]^2 + \left[i \cdot \cos\left(\alpha + \frac{2\pi}{3}\right)\right]^2 = \\ &= i^2 \cdot \left[\cos^2(\alpha) + \cos^2\left(\alpha - \frac{2\pi}{3}\right) + \cos^2\left(\alpha + \frac{2\pi}{3}\right)\right] = \frac{3}{2} \cdot i^2 \end{aligned}$$

Отже

$$i = \sqrt{\frac{2}{3} \cdot (i_a^2 + i_b^2 + i_c^2)} \quad (2.12)$$

$$\cos \alpha = \frac{i_a}{\sqrt{\frac{2}{3} \cdot (i_a^2 + i_b^2 + i_c^2)}}$$

Якщо ввести позначення $\lambda = \alpha - \gamma$, то

$$\begin{aligned} i \cdot \cos(\lambda) &= i \cdot \cos(\alpha - \gamma) = \\ &= \frac{2}{3} \cdot i \cdot \left[\cos(\gamma) \cdot \cos(\alpha) + \cos\left(\alpha - \frac{2\pi}{3}\right) \cdot \cos\left(\gamma - \frac{2\pi}{3}\right) + \right. \\ &\quad \left. + \cos\left(\alpha + \frac{2\pi}{3}\right) \cdot \cos\left(\gamma + \frac{2\pi}{3}\right) \right] = \\ &= \frac{2}{3} \cdot \left[i_a \cdot \cos(\gamma) + i_b \cdot \cos\left(\gamma - \frac{2\pi}{3}\right) + i_c \cdot \cos\left(\gamma + \frac{2\pi}{3}\right) \right] = i_d \end{aligned} \quad (2.13)$$

$$\begin{aligned} -i \cdot \sin(\lambda) &= i \cdot \sin(\gamma - \alpha) = \\ &= \frac{2}{3} \cdot i \cdot \left[\sin(\gamma) \cdot \cos(\alpha) + \cos\left(\alpha - \frac{2\pi}{3}\right) \cdot \sin\left(\gamma - \frac{2\pi}{3}\right) + \right. \\ &\quad \left. + \cos\left(\alpha + \frac{2\pi}{3}\right) \cdot \sin\left(\gamma + \frac{2\pi}{3}\right) \right] = \\ &= \frac{2}{3} \cdot \left[i_a \cdot \sin(\gamma) + i_b \cdot \sin\left(\gamma - \frac{2\pi}{3}\right) + i_c \cdot \sin\left(\gamma + \frac{2\pi}{3}\right) \right] = i_q \end{aligned} \quad (2.14)$$

З іншого боку, фазні струми можуть визначатися за допомогою обернених перетворень:

$$\begin{aligned}
 i_a &= i \cdot \cos(\alpha) = i \cdot \cos(\gamma + \lambda) = \\
 &= i \cdot (\cos(\gamma) \cdot \cos(\lambda) - \sin(\gamma) \cdot \sin(\lambda)) = \\
 &= i_d \cdot \cos(\gamma) + i_q \cdot \sin(\gamma)
 \end{aligned} \tag{2.15}$$

$$\begin{aligned}
 i_b &= i \cdot \cos\left(\alpha - \frac{2\pi}{3}\right) \\
 i_c &= i \cdot \cos\left(\alpha + \frac{2\pi}{3}\right)
 \end{aligned}$$

Для умови $i_a + i_b + i_c \neq 0$

$$i_0 = \frac{1}{3} \cdot (i_a + i_b + i_c)$$

Таким чином

$$\begin{aligned}
 i'_a &= i_a - i_0 \\
 i'_b &= i_b - i_0 \\
 i'_c &= i_c - i_0
 \end{aligned}$$

і звісно ж

$$i'_a + i'_b + i'_c = 0$$

Тобто при не виконанні умов симетричності, можна так само скористатися наведеними вище формулами переходу

$$\begin{aligned}
i' \cdot \cos(\lambda') &= i' \cdot \cos(\gamma - \alpha') = \\
&= \frac{2}{3} \cdot \left[i_a' \cdot \cos(\gamma) + i_b' \cdot \cos\left(\gamma - \frac{2\pi}{3}\right) + i_c' \cdot \cos\left(\gamma + \frac{2\pi}{3}\right) \right] = \\
&= \frac{2}{3} \cdot \left[i_a \cdot \cos(\gamma) + i_b \cdot \cos\left(\gamma - \frac{2\pi}{3}\right) + i_c \cdot \cos\left(\gamma + \frac{2\pi}{3}\right) \right] = i_d
\end{aligned}$$

$$\begin{aligned}
-i' \cdot \sin(\lambda') &= i' \cdot \sin(\gamma - \alpha') = \\
&= \frac{2}{3} \cdot \left[i_a' \cdot \sin(\gamma) + i_b' \cdot \sin\left(\gamma - \frac{2\pi}{3}\right) + i_c' \cdot \sin\left(\gamma + \frac{2\pi}{3}\right) \right] = \\
&= \frac{2}{3} \cdot \left[i_a \cdot \sin(\gamma) + i_b \cdot \sin\left(\gamma - \frac{2\pi}{3}\right) + i_c \cdot \sin\left(\gamma + \frac{2\pi}{3}\right) \right] = i_q
\end{aligned}$$

Наведені нижче перетворення допомагають зв'язати фазні струми з додатковими величинами:

$$\begin{aligned}
i_a &= i_0 + i' \cdot \cos(\gamma + \lambda) \\
i_b &= i_0 + i' \cdot \cos\left(\gamma + \lambda - \frac{2\pi}{3}\right) \\
i_c &= i_0 + i' \cdot \cos\left(\gamma + \lambda + \frac{2\pi}{3}\right) \\
i_0 &= \frac{1}{3}(i_a + i_b + i_c) \\
i' &= \frac{2}{3} \sqrt{i_a^2 + i_b^2 + i_c^2 - i_a \cdot i_b - i_b \cdot i_c - i_c \cdot i_a} = \sqrt{i_d^2 + i_q^2} \\
\lambda &= -\arctg \frac{i_a \cdot \sin(\gamma) + i_b \cdot \sin\left(\gamma - \frac{2\pi}{3}\right) + i_c \cdot \sin\left(\gamma + \frac{2\pi}{3}\right)}{i_a \cdot \cos(\gamma) + i_b \cdot \cos\left(\gamma - \frac{2\pi}{3}\right) + i_c \cdot \cos\left(\gamma + \frac{2\pi}{3}\right)} = -\arctg \frac{i_q}{i_d}
\end{aligned}$$

З якою ж метою виконуються приведені вище перетворення?

По-перше, з метою спрощення завдання вихідних даних, по-друге, для прискорення процесу розрахунку системи диференційних рівнянь, яка описує

процеси, що виникають в найбільш складному елементі мережі, й яка буде наведена нижче у даній роботі.

Рівняння (2.7) спростяється через можливість використання осей симетрії ротора й приймуть наступний вигляд:

$$\begin{aligned}\psi_a &= \psi_{as} + \psi_{af} = L_a \cdot i_a + M_{ab} \cdot i_b + M_{ac} \cdot i_c + M_{af} \cdot i_f \\ \psi_{as} &= L_a \cdot i_a + M_{ab} \cdot i_b + M_{ac} \cdot i_c = \\ &= \left(l_d \cdot \cos^2 \gamma + l_q \cdot \sin^2 \gamma \right) \cdot \left(i_0 + i_d \cdot \cos \gamma + i_q \cdot \sin \gamma \right) - \\ &\quad - 2 \cdot \left[m_d \cdot \cos \gamma \cdot \cos \left(\gamma - \frac{2\pi}{3} \right) + m_q \cdot \sin \gamma \cdot \sin \left(\gamma - \frac{2\pi}{3} \right) \right] \cdot \\ &\quad \cdot \left[i_0 + i_d \cdot \cos \left(\gamma - \frac{2\pi}{3} \right) + i_q \cdot \sin \left(\gamma - \frac{2\pi}{3} \right) \right] - \\ &\quad - 2 \cdot \left[m_d \cdot \cos \gamma \cdot \cos \left(\gamma + \frac{2\pi}{3} \right) + m_q \cdot \sin \gamma \cdot \sin \left(\gamma + \frac{2\pi}{3} \right) \right] \cdot \\ &\quad \cdot \left[i_0 + i_d \cdot \cos \left(\gamma + \frac{2\pi}{3} \right) + i_q \cdot \sin \left(\gamma + \frac{2\pi}{3} \right) \right]\end{aligned}$$

Далі групуються попередній вираз за величинами складових струму:

$$\begin{aligned}
\psi_{as} = & i_0 \cdot \left[(l_d + 2 \cdot m_d) \cdot \cos^2 \gamma + (l_q + 2 \cdot m_q) \cdot \sin^2 \gamma \right] + \\
& + i_d \cdot \cos \gamma \cdot \left[l_d \cdot \cos^2 \gamma - 2 \cdot m_d \cdot \left(\cos^2 \left(\gamma - \frac{2\pi}{3} \right) + \cos^2 \left(\gamma + \frac{2\pi}{3} \right) \right) \right] + \\
& + i_d \cdot \sin \gamma \cdot \left[l_q \cdot \sin \gamma \cdot \cos \gamma - 2 \cdot m_q \cdot \left(\sin \left(\gamma - \frac{2\pi}{3} \right) \cdot \cos \left(\gamma - \frac{2\pi}{3} \right) + \right. \right. \\
& \quad \left. \left. + \sin \left(\gamma + \frac{2\pi}{3} \right) \cdot \cos \left(\gamma + \frac{2\pi}{3} \right) \right) \right] + \\
& + i_q \cdot \cos \gamma \cdot \left[l_d \cdot \sin \gamma \cdot \cos \gamma - 2 \cdot m_d \cdot \left(\sin \left(\gamma - \frac{2\pi}{3} \right) \cdot \cos \left(\gamma - \frac{2\pi}{3} \right) + \right. \right. \\
& \quad \left. \left. + \sin \left(\gamma + \frac{2\pi}{3} \right) \cdot \cos \left(\gamma + \frac{2\pi}{3} \right) \right) \right] + \\
& + i_q \cdot \sin \gamma \cdot \left[l_q \cdot \sin^2 \gamma - 2 \cdot m_q \cdot \left(\sin^2 \left(\gamma - \frac{2\pi}{3} \right) + \sin^2 \left(\gamma + \frac{2\pi}{3} \right) \right) \right]
\end{aligned}$$

Виконуються математичні спрощення:

$$\begin{aligned}
\psi_{as} = & i_0 \cdot \left[(l_d + 2 \cdot m_d) \cdot \cos^2 \gamma + (l_q + 2 \cdot m_q) \cdot \sin^2 \gamma \right] + \\
& + i_d \cdot \cos \gamma \cdot \left[l_d - m_d - \sin^2 \gamma \cdot ((l_d + 2 \cdot m_d) - (l_q + 2 \cdot m_q)) \right] + \\
& + i_q \cdot \sin \gamma \cdot \left[l_q - m_q + \cos^2 \gamma \cdot ((l_d + 2 \cdot m_d) - (l_q + 2 \cdot m_q)) \right]
\end{aligned}$$

Враховуючи приведені раніше співвідношення для індуктивності:

$$\begin{aligned}
L_0 &= l_d + 2 \cdot m_d = l_q + 2 \cdot m_q \\
L_d &= l_d - m_d \\
L_q &= l_q - m_q
\end{aligned}
\quad \left. \begin{array}{c} \\ \\ \end{array} \right\}$$

потокозчеплення будуть складати

$$\left. \begin{aligned} \psi_{as} &= L_0 \cdot i_0 + L_d \cdot i_d \cdot \cos \gamma + L_q \cdot i_q \cdot \sin \gamma \\ \psi_{bs} &= L_0 \cdot i_0 + L_d \cdot i_d \cdot \cos \left(\gamma - \frac{2\pi}{3} \right) + L_q \cdot i_q \cdot \sin \left(\gamma - \frac{2\pi}{3} \right) \\ \psi_{cs} &= L_0 \cdot i_0 + L_d \cdot i_d \cdot \cos \left(\gamma + \frac{2\pi}{3} \right) + L_q \cdot i_q \cdot \sin \left(\gamma + \frac{2\pi}{3} \right) \end{aligned} \right\}$$

Для режиму XX, коли $i_a = i_b = i_c = 0$ і $i_f = const$, потокозчеплення будуть складати:

$$\begin{aligned} \psi_a &= M_{af} \cdot i_f \cdot \cos(\gamma) \\ \psi_b &= M_{bf} \cdot i_f \cdot \cos \left(\gamma - \frac{2\pi}{3} \right) \\ \psi_c &= M_{cf} \cdot i_f \cdot \cos \left(\gamma + \frac{2\pi}{3} \right) \\ \psi_f &= L_f \cdot i_f \end{aligned}$$

Напруга, яка наводиться, буде складати:

$$\begin{aligned} u_a &= -\frac{d\psi_a}{dt} = u_f \cdot \cos \left(\gamma - \frac{\pi}{2} \right) \\ u_b &= -\frac{d\psi_b}{dt} = u_f \cdot \cos \left(\gamma - \frac{\pi}{2} - \frac{2\pi}{3} \right) \\ u_c &= -\frac{d\psi_c}{dt} = u_f \cdot \cos \left(\gamma - \frac{\pi}{2} + \frac{2\pi}{3} \right) \\ u_f &= \omega \cdot L_f \cdot i_f \end{aligned}$$

Так як $\lambda = -\frac{\pi}{2}$, то ЕРС XX буде співпадати з позитивним напрямком поперечної осі машини.

Основна задача – це розгляд перехідних процесів в реальних, неідеальних, несиметричних машинах. Теорія несиметричних режимів базується на трьох складових, які роздивимося окремо.

Спочатку фазні струми прямої послідовності (ПП):

$$\begin{aligned} i_{a1} &= i \cdot \cos(\omega t + \varphi) \\ i_{b1} &= i \cdot \cos\left(\omega t + \varphi - \frac{2\pi}{3}\right) \\ i_{c1} &= i \cdot \cos\left(\omega t + \varphi + \frac{2\pi}{3}\right) \end{aligned} \quad (2.16)$$

Вектор i обертається в позитивному напрямку з кутовою швидкістю ω :

$$\lambda = \omega t + \varphi - \gamma$$

Якщо відлік часу буде реалізовуватися від моменту співпадіння осей $0d$ і $0a$, то $\gamma = \omega t$.

Узагальнений вектор струму буде утворювати з осями симетрії ротора відповідні кути φ і $\varphi + \frac{\pi}{2}$. Тому його проекції будуть визначатися:

$$\begin{aligned} i_d &= i \cdot \cos(\varphi) \\ i_q &= -i \cdot \sin(\varphi) \end{aligned} \quad (2.17)$$

Можуть бути й окремі випадки:

$$\left. \begin{array}{l} \varphi = 0 \\ i_d = i, i_q = 0 \end{array} \right\}$$

$$\left. \begin{array}{l} \varphi = -\frac{\pi}{2} \\ i_d = 0, i_q = i \end{array} \right\}$$

Для струмів ПП фазні напруги визначаються наступним чином:

$$\left. \begin{array}{l} u_a = -\frac{d\Psi_a}{dt} = \omega \cdot (L_d \cdot i_d + M_f \cdot i_f) \cdot \sin(\gamma) - \omega \cdot L_q \cdot i_q \cdot \cos(\gamma) \\ u_b = -\frac{d\Psi_b}{dt} = \omega \cdot (L_d \cdot i_d + M_f \cdot i_f) \cdot \sin\left(\gamma - \frac{2\pi}{3}\right) - \omega \cdot L_q \cdot i_q \cdot \cos\left(\gamma - \frac{2\pi}{3}\right) \\ u_c = -\frac{d\Psi_c}{dt} = \omega \cdot (L_d \cdot i_d + M_f \cdot i_f) \cdot \sin\left(\gamma + \frac{2\pi}{3}\right) - \omega \cdot L_q \cdot i_q \cdot \cos\left(\gamma + \frac{2\pi}{3}\right) \end{array} \right\}$$

Якщо ввести позначення:

$$\begin{aligned} u_d &= \omega \cdot L_d \cdot i_d \\ u_q &= \omega \cdot L_q \cdot i_q \\ u_f &= \omega \cdot L_f \cdot i_f \end{aligned}$$

то отримуємо наступні рівняння

$$\left. \begin{array}{l} u_a = (u_f + u_d) \cdot \cos\left(\gamma - \frac{\pi}{2}\right) - u_q \cdot \cos(\gamma) \\ u_b = (u_f + u_d) \cdot \cos\left(\gamma - \frac{\pi}{2} - \frac{2\pi}{3}\right) - u_q \cdot \cos\left(\gamma - \frac{2\pi}{3}\right) \\ u_c = (u_f + u_d) \cdot \cos\left(\gamma - \frac{\pi}{2} + \frac{2\pi}{3}\right) - u_q \cdot \cos\left(\gamma + \frac{2\pi}{3}\right) \end{array} \right\}$$

У випадку фазних струмів зворотної послідовності:

$$\begin{aligned}
 i_{a2} &= i \cdot \cos(\omega t + \varphi) \\
 i_{b2} &= i \cdot \cos\left(\omega t + \varphi + \frac{2\pi}{3}\right) \\
 i_{c2} &= i \cdot \cos\left(\omega t + \varphi - \frac{2\pi}{3}\right)
 \end{aligned} \tag{2.18}$$

Вихідні рівняння для осей симетрії ротора приймуть наступний вигляд:

$$\left. \begin{aligned}
 i_0 &= 0 \\
 i_d &= i \cdot \cos(2\gamma + \varphi) = i \cdot \cos(2\omega t + \varphi) \\
 i_q &= i \cdot \sin(2\gamma + \varphi) = i \cdot \sin(2\omega t + \varphi)
 \end{aligned} \right\}$$

Згідно рис. 2.12 - 2.13 можна визначити кут між узагальненим вектором струму й осями d і a .

$$\begin{aligned}
 \operatorname{tg}(\lambda) &= -\frac{i_q}{i_d} = -\operatorname{tg}(2\gamma + \varphi) \\
 \lambda &= -(2\gamma + \varphi)
 \end{aligned}$$

Враховуючи взаємне розташування осей (рис. 2.13):

$$\begin{aligned}
 \underbrace{\lambda + \gamma}_{\alpha} &= -\gamma - \varphi \\
 \alpha &= -(\gamma + \varphi) = -(\omega t + \varphi)
 \end{aligned}$$

Отже узагальнений вектор струму ЗП обертається:

- по відношенню до нерухомих осей фазних обмоток статора в протилежну сторону з кутовою швидкістю ω ;
- по відношенню до рухомих осей ротора в протилежну сторону з кутовою швидкістю 2ω .

Далі використавши отримані співвідношення рівняння (2.17) приймуть вигляд:

$$\left. \begin{array}{l} i_0 = 0 \\ i_d = i \cdot \cos(2\gamma + \varphi) \\ i_q = i \cdot \sin(2\gamma + \varphi) \end{array} \right\}$$

Далі

$$\left. \begin{array}{l} \frac{di_d}{dt} = -2 \cdot \omega \cdot i_q \\ \frac{di_q}{dt} = 2 \cdot \omega \cdot i_d \end{array} \right\}$$

Якщо використати отримані попередні залежності, то можна визначити

$$\left. \begin{array}{l} u_a = -\omega \cdot i_q \cdot (L_q - 2L_d) \cdot \cos(\gamma) + \omega \cdot i_d \cdot (L_q - 2L_d) \cdot \cos(\gamma) - \\ - M_d \cdot \frac{di_f}{dt} \cdot \cos(\gamma) + M_d \cdot i_f \cdot \omega \cdot \sin(\gamma) \\ u_b = -\omega \cdot i_q \cdot (L_q - 2L_d) \cdot \cos\left(\gamma + \frac{2\pi}{3}\right) + \omega \cdot i_d \cdot (L_q - 2L_d) \cdot \cos\left(\gamma + \frac{2\pi}{3}\right) - \\ - M_d \cdot \frac{di_f}{dt} \cdot \cos\left(\gamma + \frac{2\pi}{3}\right) + M_d \cdot i_f \cdot \omega \cdot \sin\left(\gamma + \frac{2\pi}{3}\right) \\ u_c = -\omega \cdot i_q \cdot (L_q - 2L_d) \cdot \cos\left(\gamma - \frac{2\pi}{3}\right) + \omega \cdot i_d \cdot (L_q - 2L_d) \cdot \cos\left(\gamma - \frac{2\pi}{3}\right) - \\ - M_d \cdot \frac{di_f}{dt} \cdot \cos\left(\gamma - \frac{2\pi}{3}\right) + M_d \cdot i_f \cdot \omega \cdot \sin\left(\gamma - \frac{2\pi}{3}\right) \end{array} \right\}$$

В останньому рівнянні для складових, які відповідають контуру обмотки ротора:

$$\begin{aligned} i_f &= -\frac{3}{2} \cdot \frac{M_d}{L_f} \cdot i_d \\ \frac{di_f}{dt} &= 3 \cdot \omega \cdot \frac{M_d}{L_f} \cdot i_q \end{aligned}$$

і воно приймає вигляд

$$\begin{aligned}
 u_a &= -2\omega \cdot L_d \cdot i \cdot \left(\frac{L_q}{2L_d} - 1 + \frac{3}{2} \cdot \frac{M_d^2}{L_d \cdot L_f} \right) \cdot \cos(\gamma) \cdot \sin(2\gamma + \varphi) + \\
 &\quad + \omega \cdot L_d \cdot i \cdot \left(1 - \frac{3}{2} \cdot \frac{M_d^2}{L_d \cdot L_f} - \frac{2L_q}{L_d} \right) \cdot \sin(\gamma) \cdot \cos(2\gamma + \varphi) \\
 u_b &= -2\omega \cdot L_d \cdot i \cdot \left(\frac{L_q}{2L_d} - 1 + \frac{3}{2} \cdot \frac{M_d^2}{L_d \cdot L_f} \right) \cdot \cos\left(\gamma + \frac{2\pi}{3}\right) \cdot \sin\left(2\gamma + \frac{2\pi}{3} + \varphi\right) + \\
 &\quad + \omega \cdot L_d \cdot i \cdot \left(1 - \frac{3}{2} \cdot \frac{M_d^2}{L_d \cdot L_f} - \frac{2L_q}{L_d} \right) \cdot \sin\left(\gamma + \frac{2\pi}{3}\right) \cdot \cos\left(2\gamma + \frac{2\pi}{3} + \varphi\right) \\
 u_c &= -2\omega \cdot L_d \cdot i \cdot \left(\frac{L_q}{2L_d} - 1 + \frac{3}{2} \cdot \frac{M_d^2}{L_d \cdot L_f} \right) \cdot \cos\left(\gamma - \frac{2\pi}{3}\right) \cdot \sin\left(2\gamma - \frac{2\pi}{3} + \varphi\right) + \\
 &\quad + \omega \cdot L_d \cdot i \cdot \left(1 - \frac{3}{2} \cdot \frac{M_d^2}{L_d \cdot L_f} - \frac{2L_q}{L_d} \right) \cdot \sin\left(\gamma - \frac{2\pi}{3}\right) \cdot \cos\left(2\gamma - \frac{2\pi}{3} + \varphi\right)
 \end{aligned}$$

Наступні перетворення

$$\begin{aligned}
 u_a &= -2\omega \cdot L_d \cdot i \cdot \left(\frac{L_q}{2L_d} - \underbrace{\left(1 - \frac{3}{2} \cdot \frac{M_d^2}{L_d \cdot L_f} \right)}_{\frac{L_d}{L_d}} \right) \cdot \underbrace{\cos(\gamma) \cdot \sin(2\gamma + \varphi)}_{0,5[\sin(2\gamma+\varphi-\gamma)+\sin(2\gamma+\varphi+\gamma)]} + \\
 &\quad + \omega \cdot L_d \cdot i \cdot \left(\underbrace{\left(1 - \frac{3}{2} \cdot \frac{M_d^2}{L_d \cdot L_f} \right)}_{\frac{L_d}{L_d}} - \frac{2L_q}{L_d} \right) \cdot \underbrace{\sin(\gamma) \cdot \cos(2\gamma + \varphi)}_{0,5[\sin(\gamma-2\gamma-\varphi)+\sin(\gamma+2\gamma+\varphi)]} =
 \end{aligned}$$

$$\begin{aligned}
&= -\omega \cdot i \cdot \left(\frac{1}{2} L_q - L_d' \right) \cdot [\sin(\gamma + \varphi) + \sin(3\gamma + \varphi)] + \\
&\quad + \omega \cdot i \cdot \frac{1}{2} (L_d' - 2L_q) \cdot [\sin(-\gamma - \varphi) + \sin(3\gamma + \varphi)] = \\
&= \omega \cdot i \cdot \left[-\frac{1}{2} L_q + L_d' - \frac{1}{2} (L_d' - 2L_q) \right] \cdot \sin(\gamma + \varphi) + \\
&\quad + \omega \cdot i \cdot \left[-\frac{1}{2} L_q + L_d' + \frac{1}{2} (L_d' - 2L_q) \right] \cdot \sin(3\gamma + \varphi) = \\
&= \omega \cdot i \cdot \left[-\frac{1}{2} L_q + L_d' - \frac{L_d'}{2} + L_q \right] \cdot \sin(\gamma + \varphi) + \\
&\quad + \omega \cdot i \cdot \left[\frac{3}{2} L_d' - \frac{3}{2} L_q \right] \cdot \sin(3\gamma + \varphi) = \\
&= \omega \cdot i \cdot \frac{1}{2} [L_d' + L_q] \cdot \sin(\gamma + \varphi) + \omega \cdot i \cdot \frac{3}{2} [L_d' - L_q] \cdot \sin(3\gamma + \varphi) = \\
&= \omega \cdot i \left[\frac{1}{2} [L_d' + L_q] \cdot \cos\left(\gamma + \varphi - \frac{\pi}{2}\right) + \frac{3}{2} [L_d' - L_q] \cdot \cos\left(3\gamma + \varphi + \frac{\pi}{2}\right) \right]
\end{aligned}$$

Для інших фаз

$$\begin{aligned}
u_b &= \omega \cdot i \left[\frac{1}{2} [L_d' + L_q] \cdot \cos\left(\gamma + \varphi - \frac{\pi}{2} + \frac{2\pi}{2}\right) + \frac{3}{2} [L_d' - L_q] \cdot \cos\left(3\gamma + \varphi + \frac{\pi}{2} - \frac{2\pi}{2}\right) \right] \\
u_c &= \omega \cdot i \left[\frac{1}{2} [L_d' + L_q] \cdot \cos\left(\gamma + \varphi - \frac{\pi}{2} - \frac{2\pi}{2}\right) + \frac{3}{2} [L_d' - L_q] \cdot \cos\left(3\gamma + \varphi + \frac{\pi}{2} + \frac{2\pi}{2}\right) \right]
\end{aligned}$$

Отже отримані вирази дають можливість зробити важливі висновки:
перша складова струму ЗП має величину

$$\frac{1}{2} [L_d' + L_q] \cdot \omega \cdot i$$

і обертається з кутовою швидкістю ω в протилежний бік;
друга складова струму ЗП має величину

$$\frac{3}{2} [L_q - L_d'] \cdot \omega \cdot i$$

і обертається з кутовою швидкістю 3ω в прямому напрямку.

Якщо знехтувати другою складовою, то індуктивний опір ЗП електричної машини:

$$x_2 = \frac{1}{2} [L_d' + L_q] \cdot \omega = \frac{1}{2} [x_d' + x_q]$$

В свою чергу перша складова – це поздовжній перехідний опір:

$$x_d' = \omega \cdot L_d \cdot \left(1 - \frac{3}{2} \cdot \frac{M_d^2}{L_d \cdot L_f} \right)$$

Знайдені вирази при наявності більшої кількості контурів значно ускладняються.

2.3 Математичний аналіз процесів в синхронній машині

Спочатку приведемо основні вирази для напруги:

$$\left. \begin{aligned} u_a &= u \cdot \cos(\omega t) = u \cdot \cos\left(\gamma - \theta - \frac{\pi}{2}\right) = u \cdot \sin(\gamma - \theta) \\ u_b &= u \cdot \cos\left(\omega t - \frac{2\pi}{3}\right) = u \cdot \cos\left(\gamma - \theta - \frac{\pi}{2} - \frac{2\pi}{3}\right) = u \cdot \sin\left(\gamma - \theta - \frac{2\pi}{3}\right) \\ u_c &= u \cdot \cos\left(\omega t + \frac{2\pi}{3}\right) = u \cdot \cos\left(\gamma - \theta - \frac{\pi}{2} + \frac{2\pi}{3}\right) = u \cdot \sin\left(\gamma - \theta + \frac{2\pi}{3}\right) \end{aligned} \right\}$$

Якщо на момент початку КЗ

$$t = 0$$

$$\angle d, a = \gamma_0$$

$$\angle q, a = \gamma_0 - \frac{\pi}{2} = \theta$$

то за умови $t \neq 0$

$$\gamma = \gamma_0 + \omega t = \omega t + \theta + \frac{\pi}{2}$$

Класичні рівняння рівноваги напруги у контурі

$$\begin{aligned} u_k + \frac{d\Psi_k}{dt} + ri_k &= 0 \\ k &= a, b, c \end{aligned} \quad (2.19)$$

В результаті рішення отримуємо систему:

$$\left. \begin{aligned} A \cdot \sin(\gamma) - B \cdot \cos(\gamma) &= 0 \\ A \cdot \sin\left(\gamma - \frac{2\pi}{3}\right) - B \cdot \cos\left(\gamma - \frac{2\pi}{3}\right) &= 0 \\ A \cdot \sin\left(\gamma + \frac{2\pi}{3}\right) - B \cdot \cos\left(\gamma + \frac{2\pi}{3}\right) &= 0 \end{aligned} \right\}$$

Для наведеної вищі системи рівнянь рішення знаходиться із системи рівнянь:

$$\left. \begin{aligned} A &= \omega \cdot L_d \cdot i_d + \omega \cdot L_f \cdot i_f - r \cdot i_q - u \cdot \cos(\theta) = 0 \\ B &= \omega \cdot L_q \cdot i_q + r \cdot i_d - u \cdot \sin(\theta) = 0 \end{aligned} \right\}$$

а далі маємо

$$\left. \begin{aligned} x_d \cdot i_d - r \cdot i_q &= u \cdot \cos(\theta) - u_f \\ x_q \cdot i_q + r \cdot i_d &= u \cdot \sin(\theta) \end{aligned} \right\}$$

Спільне рішення системи рівнянь:

$$\left. \begin{aligned} i_q &= \frac{(u - u \cdot \sin \theta) \cdot r + x_d \cdot u \cdot \sin \theta}{x_d \cdot x_q + r^2} \\ i_d &= -\frac{(u - u \cdot \cos \theta) \cdot x_q - r \cdot u \cdot \sin \theta}{x_d \cdot x_q + r^2} \end{aligned} \right\}$$

$$\underline{i} = i_q \cdot \underline{q} + i_d \cdot \underline{d}$$

Рівняння (2.19) після заміни змінних буде мати наступний вид:

$$\begin{aligned} & (u_d \cdot \cos(\gamma) + u_q \cdot \sin(\gamma) + u_0) + \\ & + \frac{d(\Psi_d \cdot \cos(\gamma) + \Psi_q \cdot \sin(\gamma) + \Psi_0)}{dt} + \\ & + r \cdot (i_d \cdot \cos(\gamma) + i_q \cdot \sin(\gamma) + i_0) = 0 \end{aligned}$$

Далі виконується групування змінних

$$\begin{aligned} & \left[u_d + \frac{d\Psi_d}{dt} + \Psi_q \cdot \frac{d\gamma}{dt} + r \cdot i_d \right] \cdot \cos(\gamma) + \\ & + \left[u_q + \frac{d\Psi_q}{dt} - \Psi_d \cdot \frac{d\gamma}{dt} + r \cdot i_q \right] \cdot \sin(\gamma) + \\ & + \left[u_0 + \frac{d\Psi_0}{dt} + r \cdot i_0 \right] = 0 \end{aligned}$$

Наведене вище рівняння виконується за умови, що

$$\left. \begin{aligned} u_d + \frac{d\Psi_d}{dt} + \Psi_q \cdot \frac{d\gamma}{dt} + r \cdot i_d &= 0 \\ u_q + \frac{d\Psi_q}{dt} - \Psi_d \cdot \frac{d\gamma}{dt} + r \cdot i_q &= 0 \\ u_0 + \frac{d\Psi_0}{dt} + r \cdot i_0 &= 0 \end{aligned} \right\} \quad (2.20)$$

Для обмотки збудження рівняння (2.19) приймає вид:

$$u_f - \frac{d\Psi_f}{dt} - r \cdot i_f = 0 \quad (2.21)$$

а для обмоток демпферної системи

$$\frac{d\Psi_{D_i}}{dt} + r \cdot i_{D_i} = 0 \\ i = 1, 2 \dots n \quad (2.22)$$

$$\frac{d\Psi_{Q_j}}{dt} + r \cdot i_{Q_j} = 0 \\ j = 1, 2 \dots m \quad (2.23)$$

Система рівнянь (2.20) – (2.23) – це система рівнянь Парка – Горєва, яка описує перехідні процеси в електричних машинах:

$$\left. \begin{array}{l} u_d = -\frac{d\Psi_d}{dt} - \Psi_q \cdot \frac{d\gamma}{dt} - r \cdot i_d \\ u_q = -\frac{d\Psi_q}{dt} + \Psi_d \cdot \frac{d\gamma}{dt} - r \cdot i_q \\ u_0 = -\frac{d\Psi_0}{dt} - r \cdot i_0 \\ u_f = \frac{d\Psi_f}{dt} + r \cdot i_f \\ 0 = \frac{d\Psi_{D_i}}{dt} + r \cdot i_{D_i} \\ i = 1, 2 \dots n \\ 0 = \frac{d\Psi_{Q_j}}{dt} + r \cdot i_{Q_j} \\ j = 1, 2 \dots m \end{array} \right\} \quad (2.24)$$

Система рівнянь (2.24) доповнюється системою рівнянь потокозчеплень, які визначаються прийнятою схемою для досліджень.

Ця система рівнянь, за умови однаковості потокорозподілу за осями симетрії ротора, прийме наступний вигляд:

$$\begin{aligned}
 \Psi_d &= x_d \cdot i_d + x_{ad} \cdot i_f + \sum_{i=1}^n x_{ad} \cdot i_{D_i} \\
 \Psi_q &= x_q \cdot i_q + \sum_{j=1}^m x_{aq} \cdot i_{Q_j} \\
 \Psi_f &= x_{ad} \cdot i_d + x_f \cdot i_f + \sum_{i=1}^n x_{ad} \cdot i_{D_i} \\
 \dots & \\
 \Psi_{D_i} &= x_{ad} \cdot i_d + x_{ad} \cdot i_f + x_{D_i} \cdot i_{D_i} + \sum_{i=1}^{n-1} x_{ad} \cdot i_{D_i} \\
 \dots & \\
 \Psi_{Q_j} &= x_{aq} \cdot i_q + x_{Q_i} \cdot i_{Q_i} + \sum_{i=1}^{m-1} x_{aq} \cdot i_{Q_i} \\
 \Psi_0 &= x_0 \cdot i_0
 \end{aligned}$$

Якщо прийняти по одному контуру за кожною віссю симетрії ротора, як вказувалося на початку розділу 2.2, то схеми заміщення електричних машин (ЕМ) приймуть вид показаний на рис. 2.14.

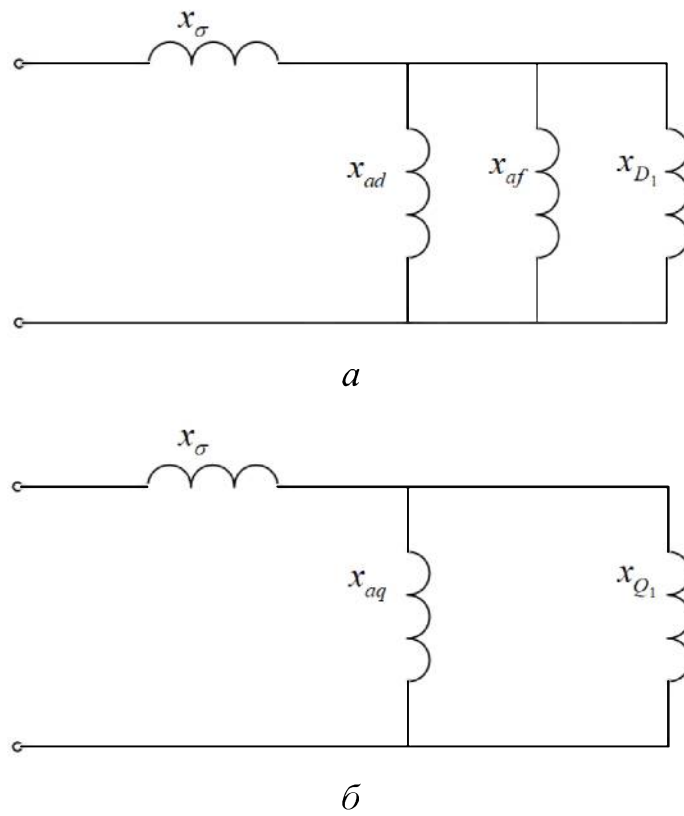


Рисунок 2.14 – Схеми для дослідження процесів в ЕМ

$$u_d = -\underbrace{\frac{d\Psi_d}{dt}}_{EPC трансформації} - \underbrace{\Psi_q \cdot \frac{d\gamma}{dt}}_{EPC обертання} - r \cdot i_d$$

$$u_q = -\underbrace{\frac{d\Psi_q}{dt}}_{EPC трансформації} + \underbrace{\Psi_d \cdot \frac{d\gamma}{dt}}_{EPC обертання} - r \cdot i_q$$

В сталому режимі відсутня.

В перехідному режимі виникає при зміні струму і відповідно при зміні потокозчеплення.

Виникають при переміщенні магнітного потоку, викликаного обертанням ротора: $\frac{d\gamma}{dt} = \omega_c$

При синхронній швидкості обертання ротора у в.о.: $\frac{d\gamma}{dt} = 1$

На рис. 2.15 приведена фізична інтерпретація рівнянь Парка-Горєва.

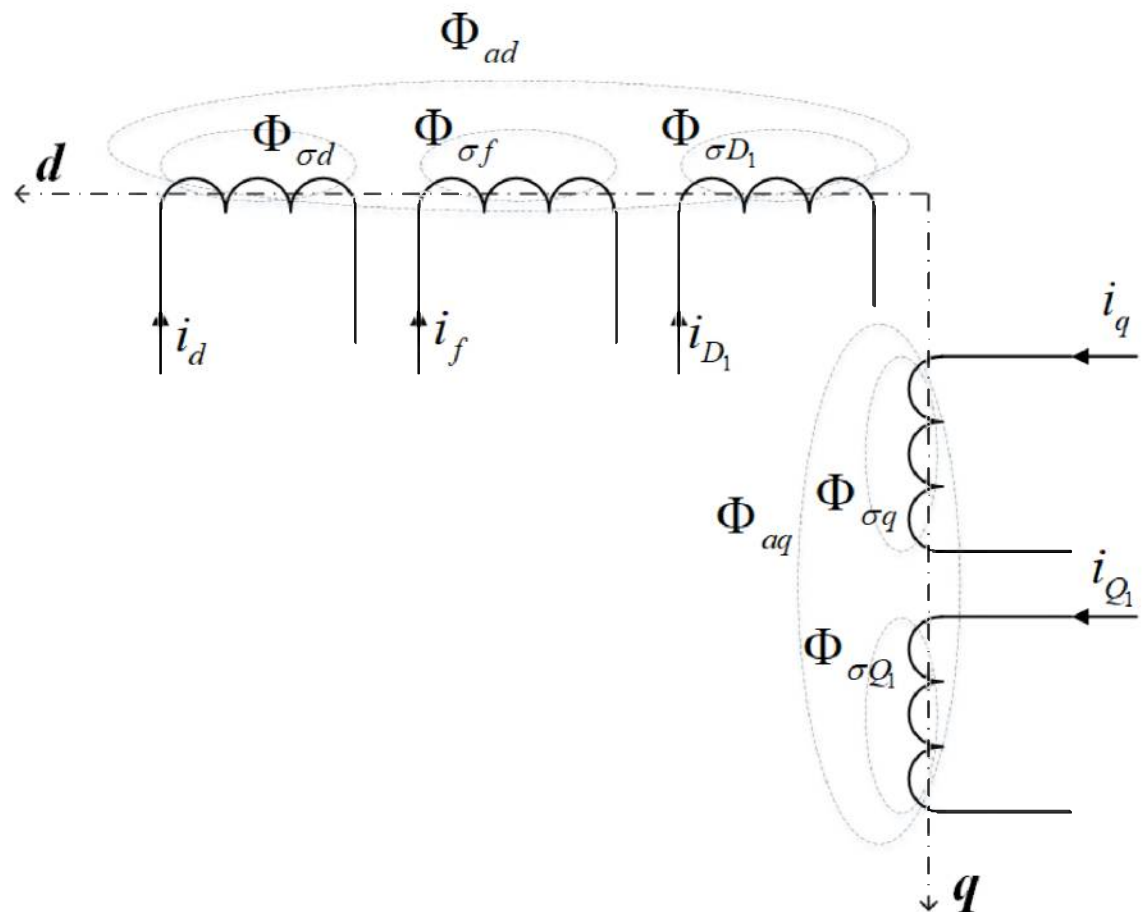


Рисунок 2.15 – Фізична інтерпретація

Основні висновки, які можна зробити:

По-перше: магнітні зв'язки між контурами по осям симетрії ротора відсутні, так як осі ортогональні.

По-друге: струм в кожному окремому контурі створює магнітний потік розсіювання Φ_σ , який пов'язаний тільки з відповідним контуром.

Наступне: потік взаємоіндукції є спільним для контурів, які розташовані на одній осі симетрії: Φ_{ad} є спільним для еквівалентної статорної обмотки по осі d , обмотки збудження f і поздовжньої демпферної обмотки D_1 , а Φ_{aq} є спільним для еквівалентної статорної обмотки по осі q і поперечної демпферної обмотки Q_1 .

При нормальному режимі, наприклад, при XX (рис. 2.16) в ЕМ будуть

- $\underline{\Phi}_f$ - потік обмотки збудження (ОЗ);
- $\underline{\Phi}_{f ad}$ - корисний потік ОЗ;
- $\underline{\Phi}_{\sigma f}$ - потік розсіювання ОЗ;
- $\underline{\Phi}_{ad}$ - потік реакції обмотки статора;
- $\underline{\Phi}_{\delta d}$ - поздовжній потік у повітряному зазорі;
- $\underline{\Phi}_{f \Sigma}$ - результуючий потік ОЗ.

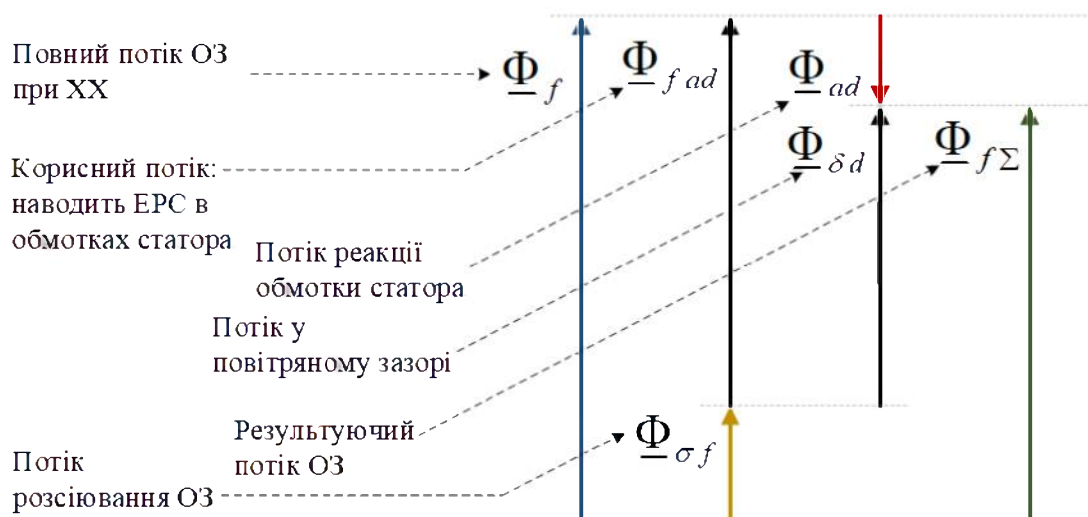


Рисунок 2.16 – Діаграма для нормального режиму

Ці потоки зв'язані співвідношеннями, які враховують не лише модуль, а й геометрію векторів:

$$\underline{\Phi}_f = \underline{\Phi}_{fad} + \underline{\Phi}_{\sigma f}$$

$$\underline{\Phi}_{fad} = \underline{\Phi}_{\delta d} - \underline{\Phi}_{ad}$$

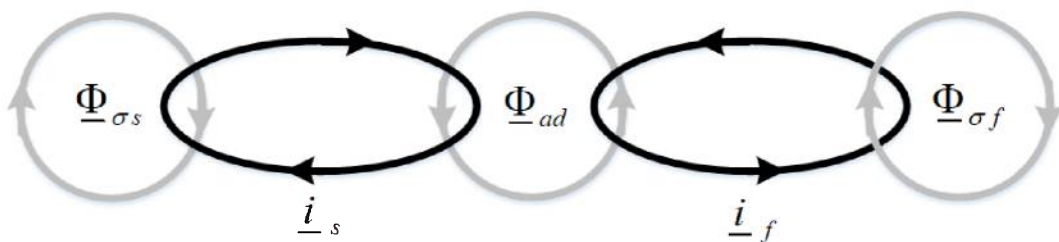
Отже результуючий потік ОЗ:

$$\underline{\Phi}_{f\Sigma} = \underline{\Phi}_{\sigma f} + \underline{\Phi}_{\delta d}$$

$$\underbrace{\underline{i}}_{\Rightarrow \underline{\Phi} = f(\underline{i}) \Rightarrow \underline{e} = f(\underline{\Phi})}$$

$$\underline{e} = -\Delta U(\underline{i})$$

магнітний зв'язок між обмотками статора і ротора



ротова зміна струму в одній з обмоток – в іншій наводиться струм, який прагне підтримати потокозчеплення даної обмотки незмінним

Рисунок 2.17 – До питання порушення нормального режиму

У випадку виникнення КЗ (рис. 2.18) через збільшення струму статора спочатку збільшиться магнітний поток реакції статора на величину $\Delta\underline{\Phi}_{ad}$ (червона пунктирна лінія). Нове значення буде складати (червона суцільна лінія):

$$\underline{\Phi}'_{ad} = \underline{\Phi}_{ad} + \Delta\underline{\Phi}_{ad}$$

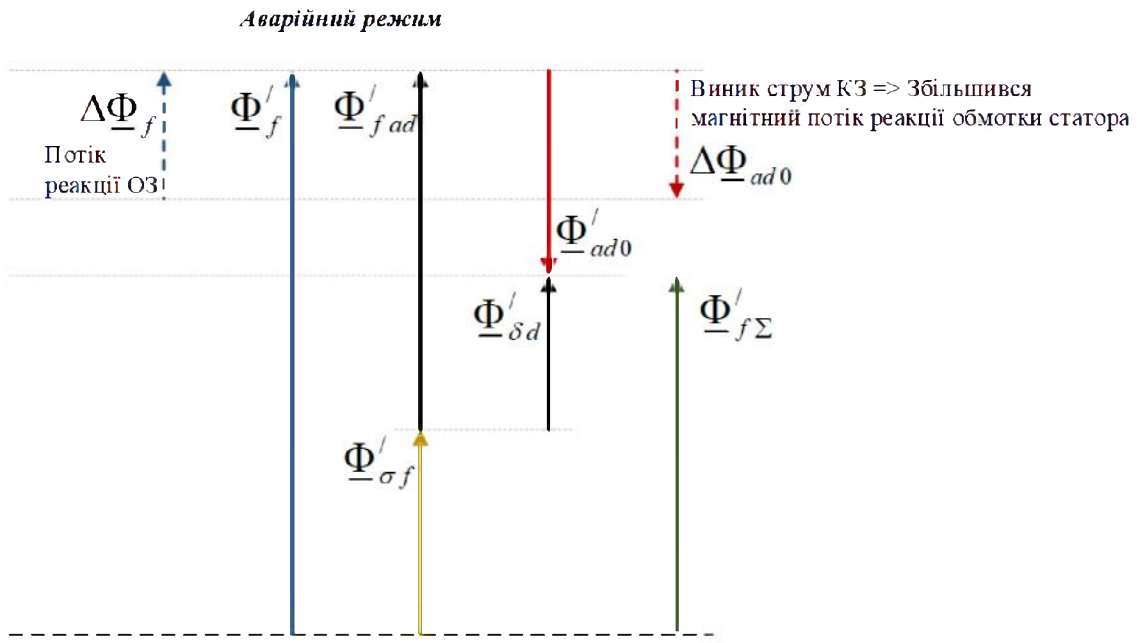


Рисунок 2.18 – Діаграма для аварійного режиму

Зміні $\Delta\Phi_{ad}$ відповідає реакція обмотки збудження $\Delta\Phi_f$. Так як

$$\Delta\Phi_f + \Delta\Phi_{ad} = 0$$

то

$$\Delta I_d \cdot x_{ad} + \Delta I_f \cdot (x_{\sigma f} + x_{ad}) = 0$$

Коефіцієнт розсіювання:

$$\sigma_f = \frac{\Phi_{\sigma f}}{\Phi_f} = \frac{x_{\sigma f}}{x_f} = \frac{x_{\sigma f}}{x_{\sigma f} + x_{ad}} = const$$

Збільшення величини магнітного потоку ОЗ з Φ_f до Φ_f' має наслідком збільшення потоку розсіювання ОЗ з $\Phi_{\sigma f}$ до $\Phi_{\sigma f}'$ і зменшення поздовжнього потоку в повітряному зазорі з величини з $\Phi_{\delta d}$ до $\Phi_{\delta d}'$.

Незмінним залишиться результатуючий потік зчеплений з ОЗ:

$$\Phi_{f\Sigma} = \Phi_{f\Sigma}'$$

Графічне пояснення показано на рис. 2.19.

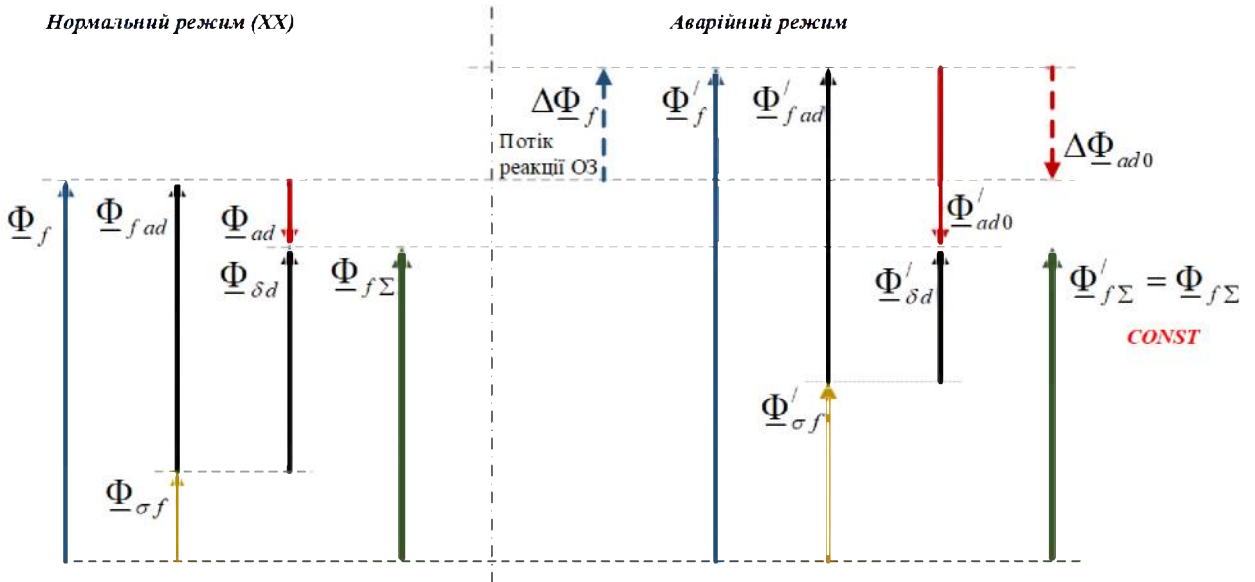


Рисунок 2.19 – Порівняння потоків

На рисунку порівнюються магнітні потоки до і після виникнення КЗ.

Потокозчеплення Ψ'_d – це частина $\Psi'_{f \Sigma}$, яка пов’язана зі статором:

$$\Psi'_d = (1 - \sigma_f) \cdot \Psi'_{f \Sigma}$$

$$\begin{aligned} \Psi'_d &= (1 - \sigma_f) \cdot (x_f + x_{ad}) = \\ &= I_f \cdot x_{ad} + I_d \cdot x_{ad} + I_d \cdot \frac{x_{ad}^2}{x_{\sigma f} + x_{ad}} \end{aligned}$$

Потокозчеплення Ψ_d відповідає E'_q , яка в свою чергу визначається наступним чином:

$$\begin{aligned}
 E'_q &= E_q - j I_d \cdot \frac{x_{ad}^2}{x_{\sigma f} + x_{ad}} = \\
 &= U_q + j I_d \left(x_d - \frac{x_{ad}^2}{x_{\sigma f} + x_{ad}} \right) = U_q + j I_d \cdot x'_d
 \end{aligned} \tag{2.25}$$

Остання формула визначає поперечну перехідну ЕРС E'_q і поздовжній перехідний опір:

$$x'_d = x_d - \frac{x_{ad}^2}{x_{\sigma f} + x_{ad}}$$

Таким чином є можливість визначити ЕРС за поперечною віссю симетрії:

$$E_q = E'_q + j I_d \cdot (x_d - x'_d) \tag{2.26}$$

Поздовжній перехідний опір можна визначити і за схемою заміщення – рис.2.20.

$$x'_d = x_\sigma + \frac{x_{\sigma f} \cdot x_{ad}}{x_{\sigma f} + x_{ad}}$$

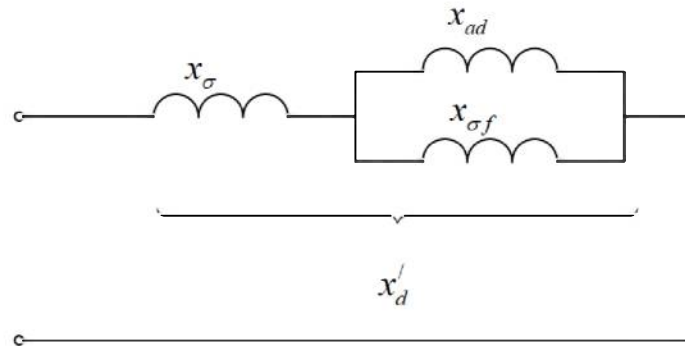


Рисунок 2.20 - Для СМ без ДО

Рівнянням (2.25)-(2.26) відповідає векторна діаграма – рис. 2.21.

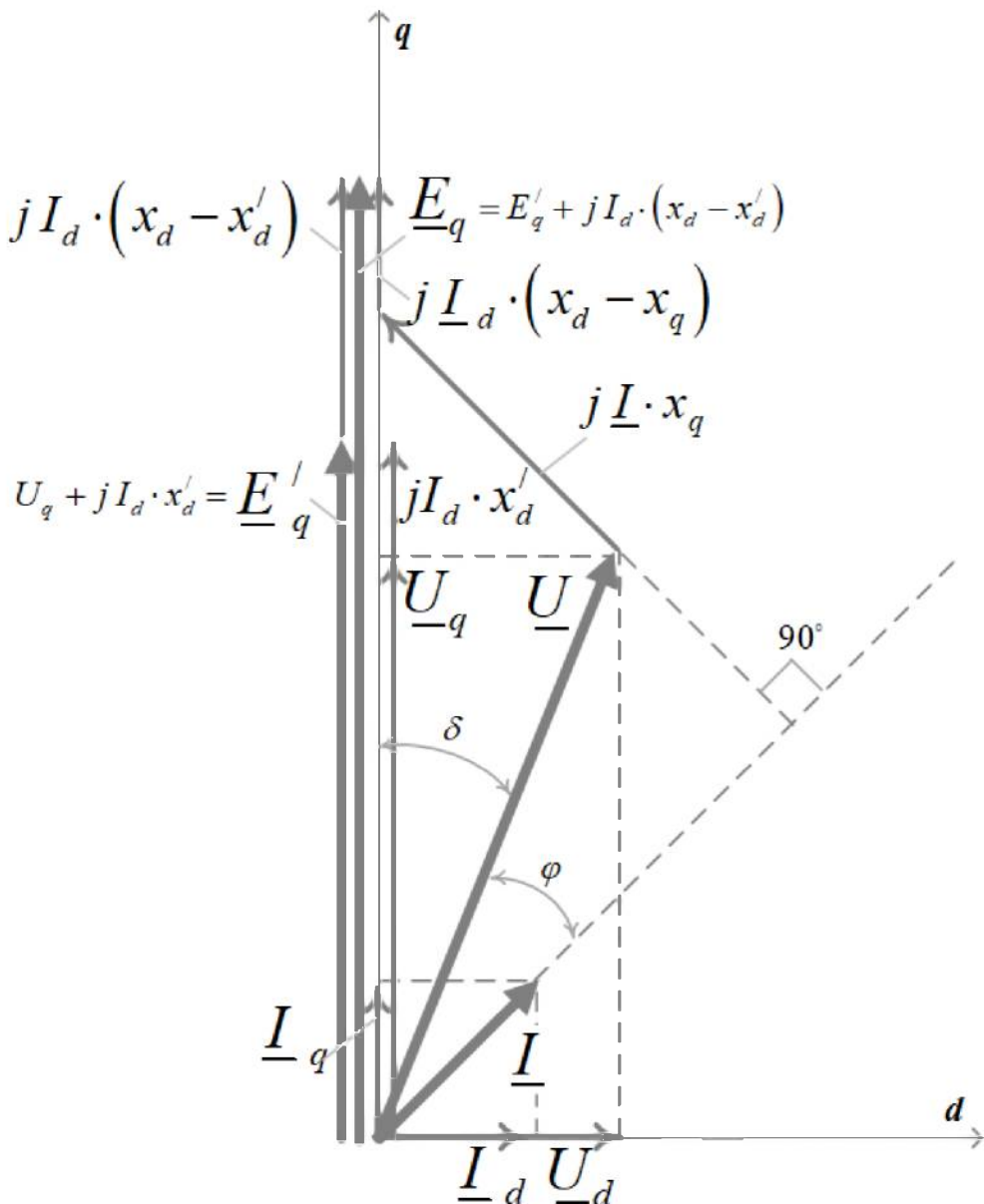


Рисунок 2.21 – Векторна діаграма СМ без ДО

Для заданої конструкції СМ визначимо струм:

$$E'_d = 0, \quad x'_q = x_q$$

$$I'_d = \frac{E'_q}{x_d + x_{зoбH}}$$

Якщо за конструкцією передбачена демпферна система, то у випадку виникнення КЗ збільшенню магнітного потоку реакції статора $\Delta\Phi_{ad}$ буде відповідати приріст не лише потоку обмотки збудження $\Delta\Phi_f$, але й приріст потоку демпферної обмотки $\Delta\Phi_{D1}$. Для умови збереження балансу

$$\left. \begin{aligned} \Delta\underline{I}_f \cdot (x_{\sigma f} + x_{ad}) + \Delta\underline{I}_{D1} \cdot x_{ad} + \Delta\underline{I}_d \cdot x_{ad} &= 0 \\ \Delta\underline{I}_f \cdot x_{ad} + \Delta\underline{I}_{D1} \cdot (x_{\sigma D1} + x_{ad}) + \Delta\underline{I}_d \cdot x_{ad} &= 0 \end{aligned} \right\}.$$

Рішення системи рівнянь:

$$\Delta\underline{I}_f \cdot x_{\sigma f} = \Delta\underline{I}_{D1} \cdot x_{\sigma D1}$$

Отже струм, який наводиться в обмотці, визначається оберненою залежністю від опору розсіювання цієї обмотки:

$$\begin{aligned} \Delta\underline{I}_f &= \frac{\Delta\underline{I}_{D1} \cdot x_{\sigma D1}}{x_{\sigma f}} \\ \Delta\underline{I}_{D1} &= \frac{\Delta\underline{I}_f \cdot x_{\sigma f}}{x_{\sigma D1}} \end{aligned}$$

Для еквівалентної обмотки $\Delta\underline{I}_{f D1}$ з еквівалентним опором розсіювання

$$x_{\sigma f D1}$$

$$\begin{aligned} \Delta\underline{I}_{f D1} \cdot (x_{\sigma f D1} + x_{ad}) &= (\Delta\underline{I}_f + \Delta\underline{I}_{D1}) \cdot (x_{\sigma f D1} + x_{ad}) = -\Delta\underline{I}_d \cdot x_{ad} \\ x_{\sigma f D1} &= \frac{x_{\sigma f} \cdot x_{\sigma D1}}{x_{\sigma f} + x_{\sigma D1}} \end{aligned}$$

Аналогічно визначаються надперехідні реактивні опори (рис. 2.22):

$$x_d^{||} = x_d - \frac{x_{ad}^2}{x_{\sigma f D1} + x_{ad}} = x_\sigma + \frac{x_{\sigma f D1} \cdot x_{ad}}{x_{\sigma f D1} + x_{ad}} = x_\sigma + \frac{1}{\frac{1}{x_{ad}} + \frac{1}{x_{\sigma f}} + \frac{1}{x_{\sigma D1}}}$$

$$x_q^{||} = x_q - \frac{x_{aq}^2}{x_{\sigma Q1}} = x_\sigma + \frac{x_{\sigma Q1}}{x_{\sigma Q1} + x_{aq}}$$

За кожним з цих опорів прикладена відповідна ЕРС:

$$\begin{aligned} E_d^{||} &= U_d + j I_q x_q^{||} \\ E_q^{||} &= U_q + j I_d x_d^{||} \end{aligned} \quad (2.27)$$

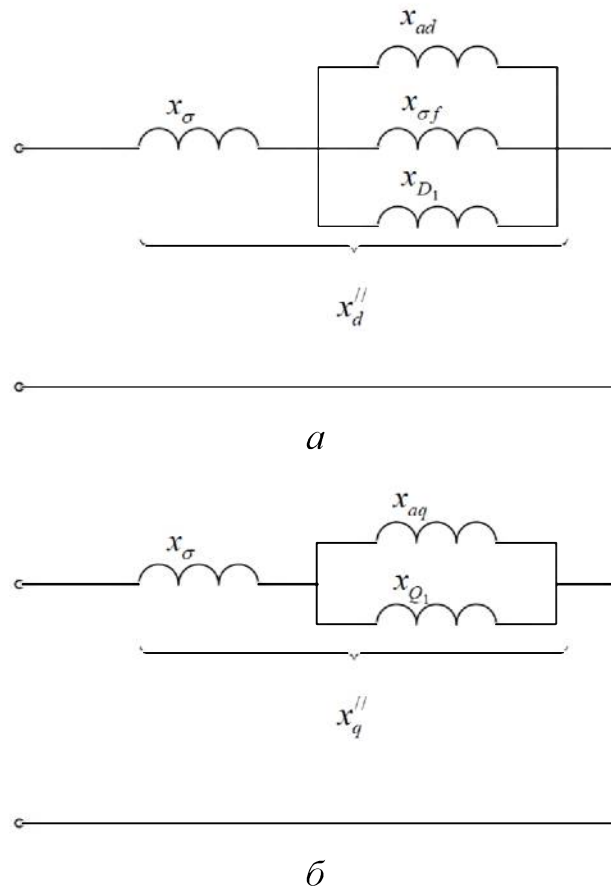


Рисунок 2.22 - Для СМ з ДО

Рівнянням (2.27) відповідає векторна діаграма – рис. 2.23.

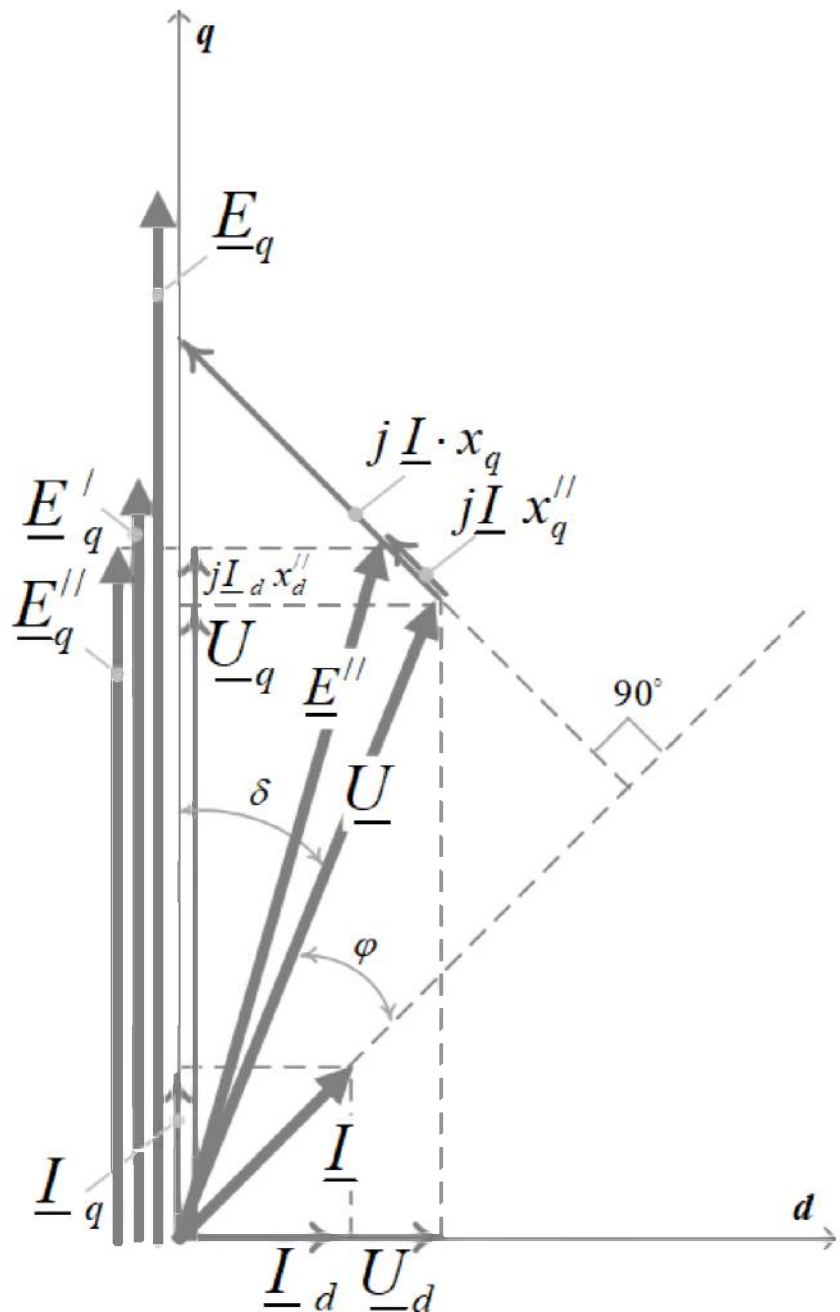


Рисунок 2.23 – Векторна діаграма СМ з ДО

2.4 Практичні методи розрахунку

Для практичних розрахунків струмів КЗ використовуються наступні вирази:

$$x_d^{\prime\prime} < x_d^{\prime} < x_d$$

$$x_d^{/\!/} < x_q^{/\!/}$$

Для СМ без ДО:

$$I_{d(0)}^/ = \frac{E_{q(0)}^/}{x_d^/ + x_{зoбн}} \quad I_{q(0)}^/ = 0$$

Для СМ з ДО:

$$I_{d(0)}^{/\!/} = \frac{E_{q(0)}^{/\!/}}{x_d^{/\!/} + x_{зoбн}}$$

$$I_{q(0)}^{/\!/} = \frac{E_{d(0)}^{/\!/}}{x_q^{/\!/} + x_{зoбн}}$$

$$I_{(0)}^{/\!/} = \sqrt{\left(I_{d(0)}^{/\!/}\right)^2 + \left(I_{q(0)}^{/\!/}\right)^2}$$

$$E_z^{/\!/} = \sqrt{\left(E_d^{/\!/}\right)^2 + \left(E_q^{/\!/}\right)^2}$$

$$E_z^{/\!/} = \sqrt{\left(U \cdot \cos \varphi\right)^2 + \left(U \cdot \sin \varphi + I \cdot x_d^{/\!/}\right)^2}$$

Таким чином

$$I_{(0)}^{/\!/} = \frac{E_z^{/\!/}}{x_d^{/\!/} + x_{зoбн}}$$

Окремо в розрахунках ПП розглядається вплив навантаження – рис. 2.24.

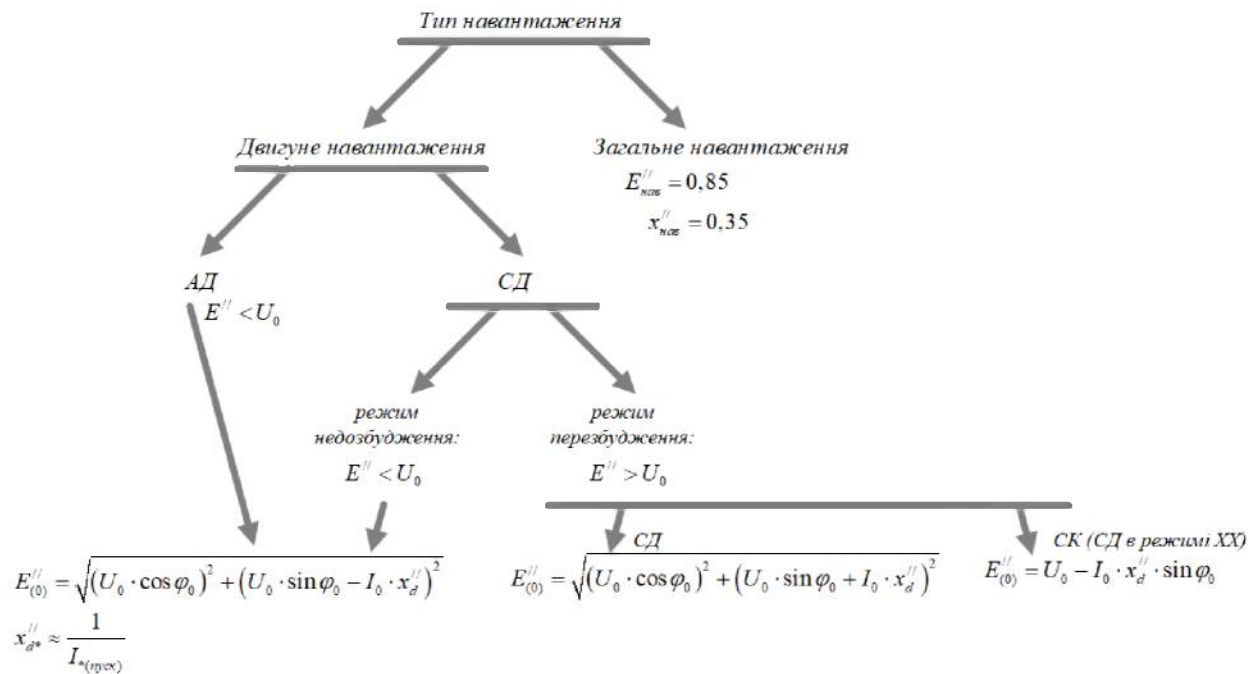


Рисунок 2.24 – До питання впливу навантаження

Допустим є не враховувати двигунне і загальне навантаження в наступних випадках: якщо вони відділені від місця КЗ подвійною трансформацією; або якщо вони спільні опори, які пов'язують їх з місцем КЗ разом з основними, більш потужними джерелами (генераторами, системою).

Наступні етапи розрахунків:

$$I''_{nep(0)i} = \sum_{i=1}^n \frac{E''_{(0)i}}{x''_i}$$

$$i''_{anep(0)i} = \sqrt{2} \cdot I''_{nep(0)i}$$

$$I''_{nep(t)i} = \gamma \cdot I''_{nep(0)i}$$

$$i''_{anep(t)i} = i''_{anep(0)i} \cdot e^{-\frac{t}{T_{anepi}}} = \sqrt{2} \cdot I''_{nep(0)i} \cdot e^{-\frac{t}{T_{anepi}}}$$

$$i_{y\vartheta i} = \sqrt{2} \cdot I''_{nep(0)i} \cdot k_{y\vartheta} = \sqrt{2} \cdot I''_{nep(0)i} \cdot \left(1 + e^{-\frac{0.01}{T_{anepi}}} \right)$$

2.5 Висновки за другим розділом

У другому розділі розглядаються фізичні явища, які виникають в ЕЕС системах при виникненні перехідних процесів.

Особливу увагу приділено питанням перехідних процесів синхронних машин без демпферних обмоток або з ними. Розглянуті диференційні рівняння, які у повній мірі описують перехідні процеси. Вони враховують основні складові електромагнітного перехідного процесу в електричній машині, і ці рівняння визначають струм раптового трифазного КЗ.

На векторних діаграмах проаналізовані складові струмів КЗ, їх залежність від попереднього режиму і характеру навантаження.

РОЗДІЛ 3. ВИЗНАЧЕННЯ СТРУМІВ КОРОТКОГО ЗАМИКАННЯ

3.1 Характеристика мережі

Для розрахунків струмів КЗ роздивимося схему електричної станції. На рис. 3.2 показана схема її підключення до електричної системи. На рис. 3.3 показана електрична схема електростанції, а на рис.3.1 – аналіз цієї схеми. На рис. 3.4 показана схема власних потреб електростанції.

ВРП 330 кВ - півтора вимикача на приєднання (7 приєднань):

блочний генераторний трансформатор;

ЛЕП до Зміївської ТЕС;

ЛЕП до ПС Купянськ;

ЛЕП до ПС Майську-330;

ЛЕП до ПС Донбаська-750 (2xACO-400);

два автотрансформатора (13 АТ А і 13 АТ Б) 250 МВА (зв'язок з ВРП 220 кВ);

два автотрансформатора (11 АТ А і 11 АТ Б) 200 МВА (зв'язок з ВРП 110 кВ).

ВРП 220 кВ - дві системи шин з обхідною системою шин (7 приєднань):

два автотрансформатора (13 АТ А і 13 АТ Б) 250 МВА;

група однофазних автотрансформаторів (12 АТ) 3x66 МВА;

ЛЕП №1 до ПС ЛИП;

ЛЕП №2 до ПС ЛИП;

трансформатор з розщепленою обмоткою ТРДН-63000/220 (204 Т);

шиноз'єднувальний вимикач 220 кВ;

обхідний вимикач 220 кВ.

ВРП 110 кВ - дві системи шин з обхідною системою шин (21 приєднання):

генераторні трансформатори (13 Т) 2x60 МВА;

автотрансформатори (11 АТ А і 11 АТ Б) 200 МВА;

група однофазних автотрансформаторів (12 АТ) 3x66 МВА;

тринадцять приєднань ЛЕП 110 кВ до споживчих підстанцій;

трансформатор з розщепленою обмоткою ТРДН-40500/220 (203 Т);

трансформатор потужністю 10 МВА (201 Т);

шиноз'єднувальний вимикач 220 кВ;

обхідний вимикач 220 кВ.

Рисунок 3.3 – Аналіз схеми

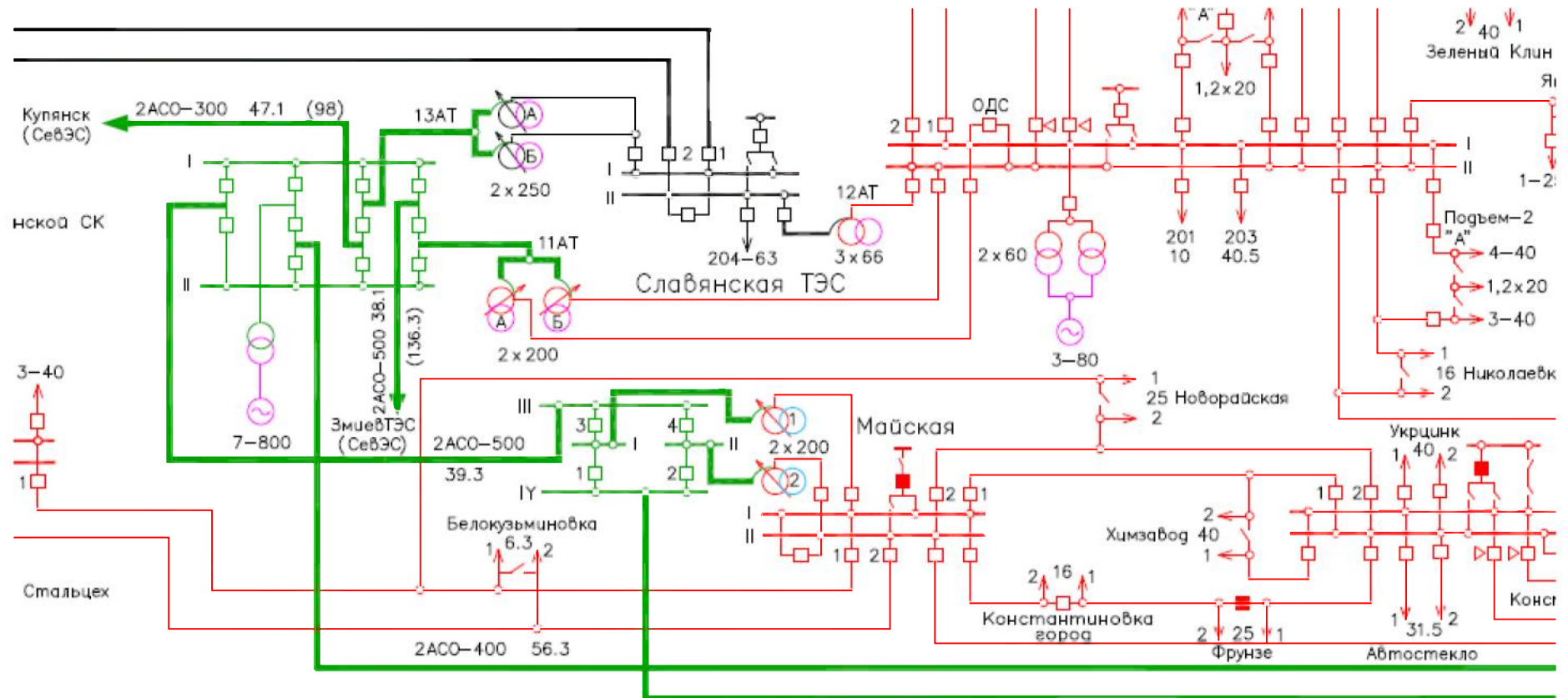


Рисунок 3.1 – Схема електричної мережі

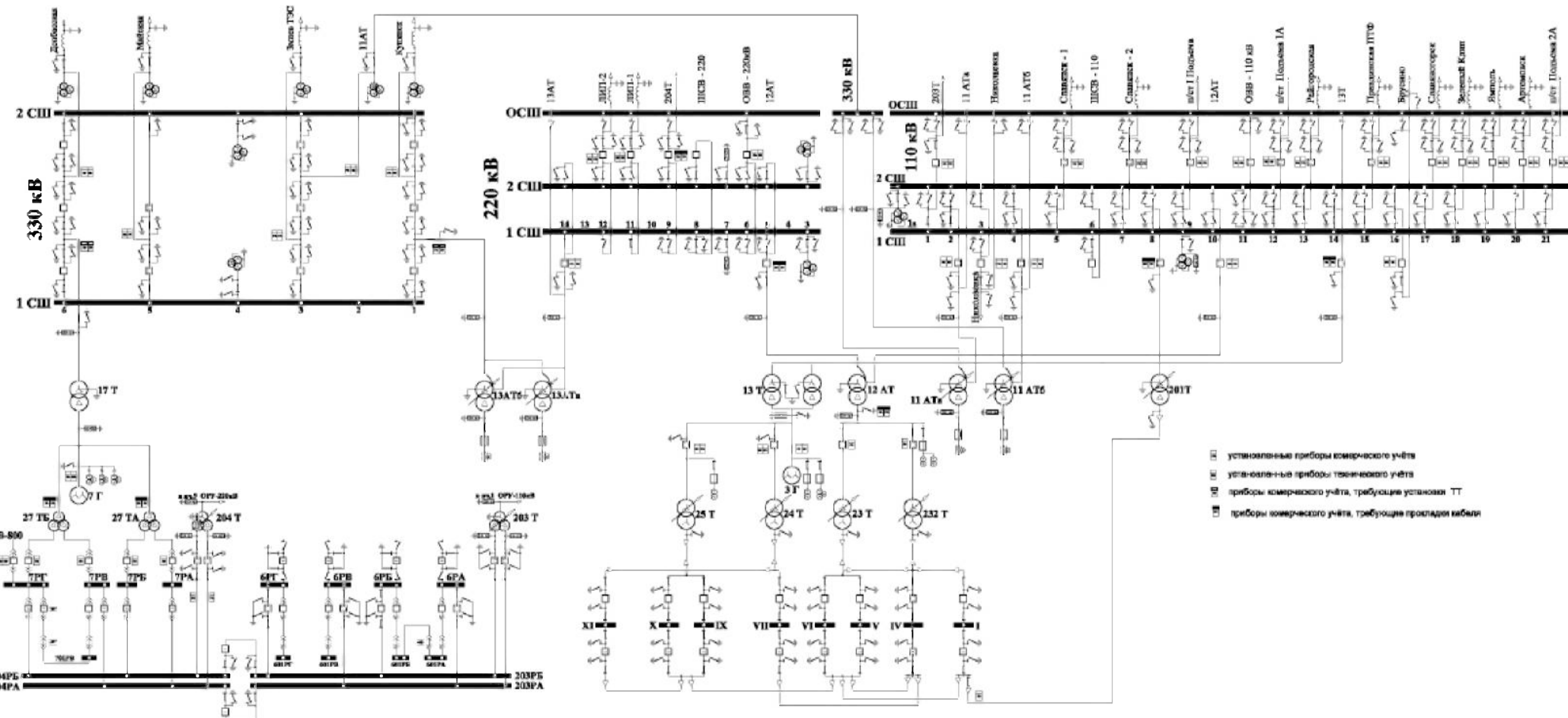
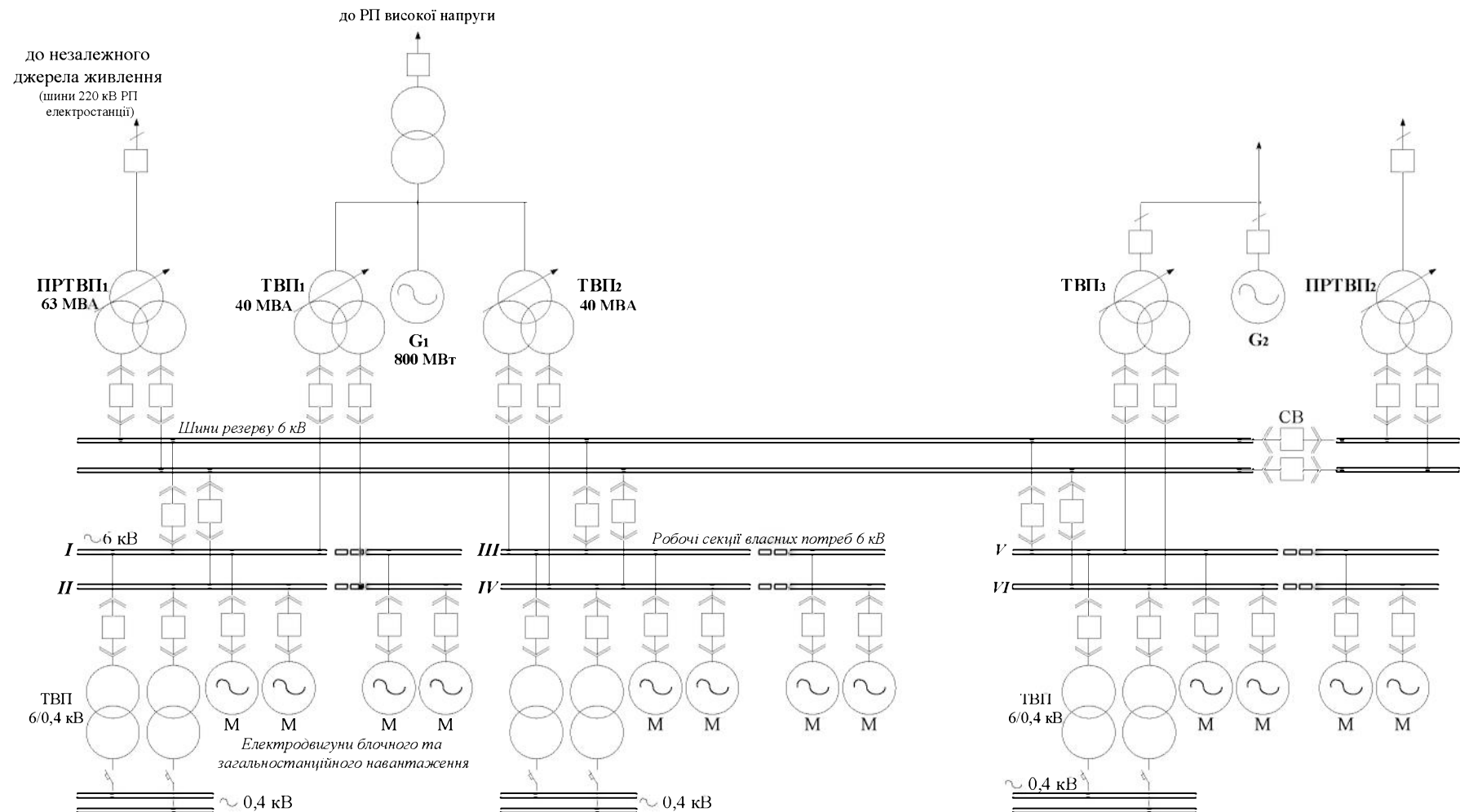


Рисунок 3.2 – Головна схема ЕС



Для генератора задаются наступні параметри (рис. 3.5-3.6):

$$S_{\text{ном}} = 888,9 \text{ MVA}, P_{\text{ном}} = 800 \text{ MW}, U_{\text{ном}} = 24 \text{ kV},$$

$$U_{f,\text{ном}} = 612 \text{ kV}, I_{f,xx} = 1287 \text{ A}, I_{f,\text{ном}} = 3790 \text{ A},$$

$$x_d^{\prime\prime} = 0,219 \text{ в.о.}, x_d' = 0,307 \text{ в.о.}, x_d = 2,33 \text{ в.о.},$$

$$x_2 = 0,327 \text{ в.о.}, x_0 = 0,13 \text{ в.о.}$$

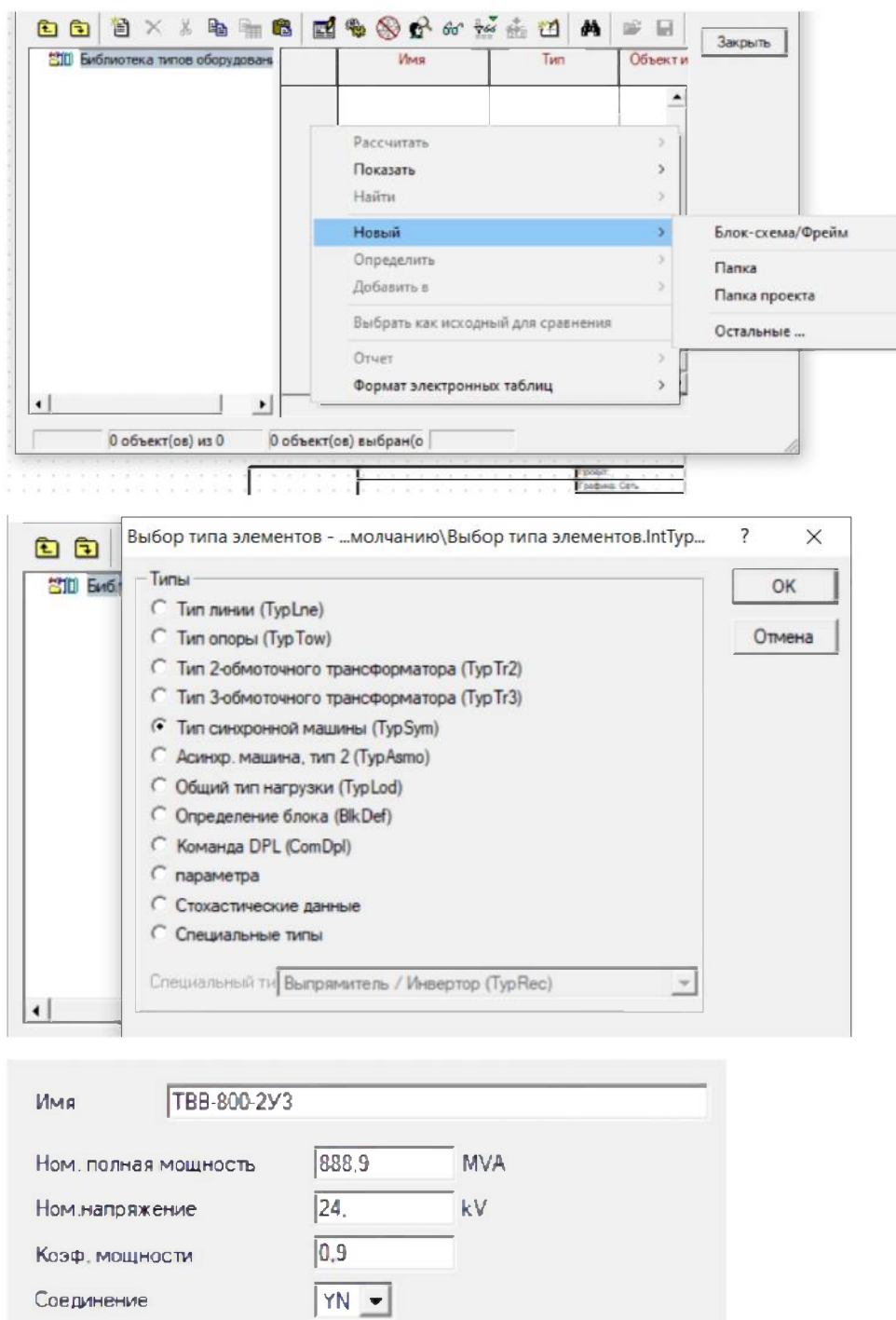


Рисунок 3.5 – Параметри генератора

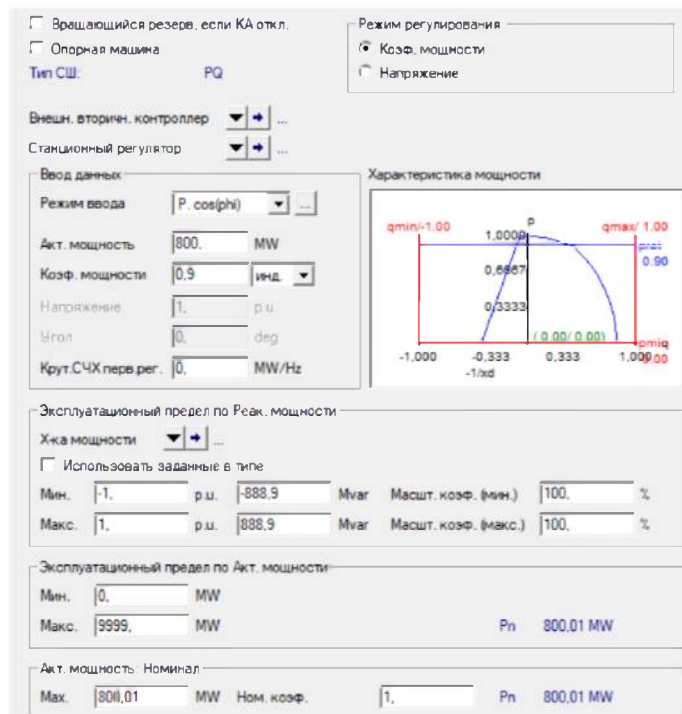
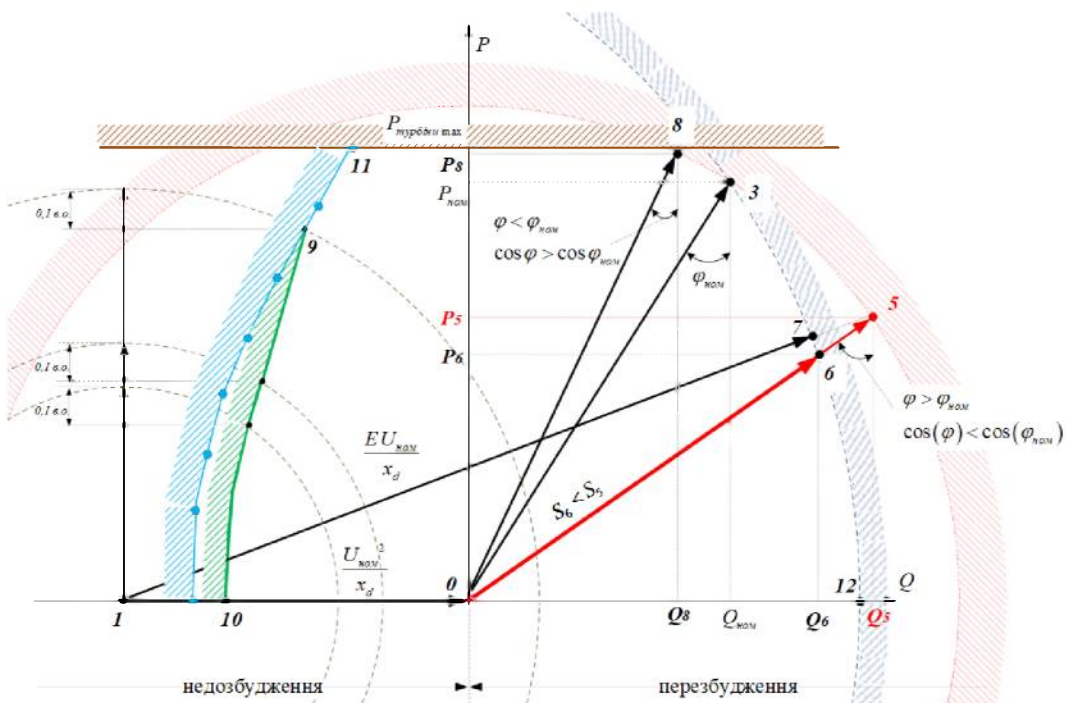
*a**b*

Рисунок 3.6 – Векторна діаграма генератора

Генератор, що обертається, перед включенням на паралельну роботу з системою, обов'язково випробовується. Визначаються

- опір ізоляції;

- комплексний опір обмотки збудження;
- електричні характеристики, до яких відносяться характеристика ХХ і навантажувальна характеристика збудника, характеристика ХХ і регулююальні характеристики генератора.

Характеристика ХХ і навантажувальна характеристика збудника $U_f = f(I_f)$ визначаються за двома умовами:

$$\left. \begin{array}{l} n = n_{\text{ном}} \\ I_{\text{наг}} = 0 \end{array} \right\}$$

За умови $I_f = \text{var}$ визначаються вони обидві і в області малих струмів вони відрізняються незначно.

Характеристика КЗ $I_s = f(I_f)$ визначається за умови номінального струму статора.

Блочний трансформатор (ТНЦ-100000/330) працює на шини 330 кВ. Його параметри приведені на рис. 3.7.

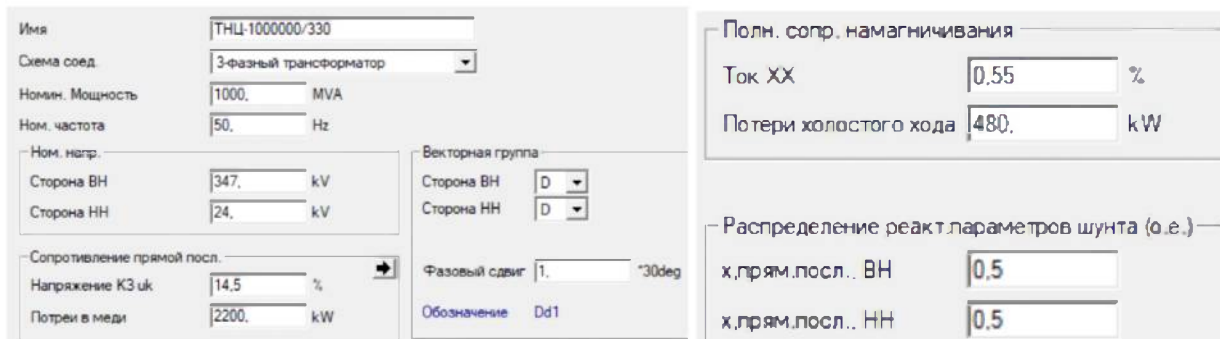


Рисунок 3.7 – Блочний генераторний трансформатор

Далі – приведена схема 330 кВ. Вона показує розподіл приєднань по шинам розподільчого устрою.

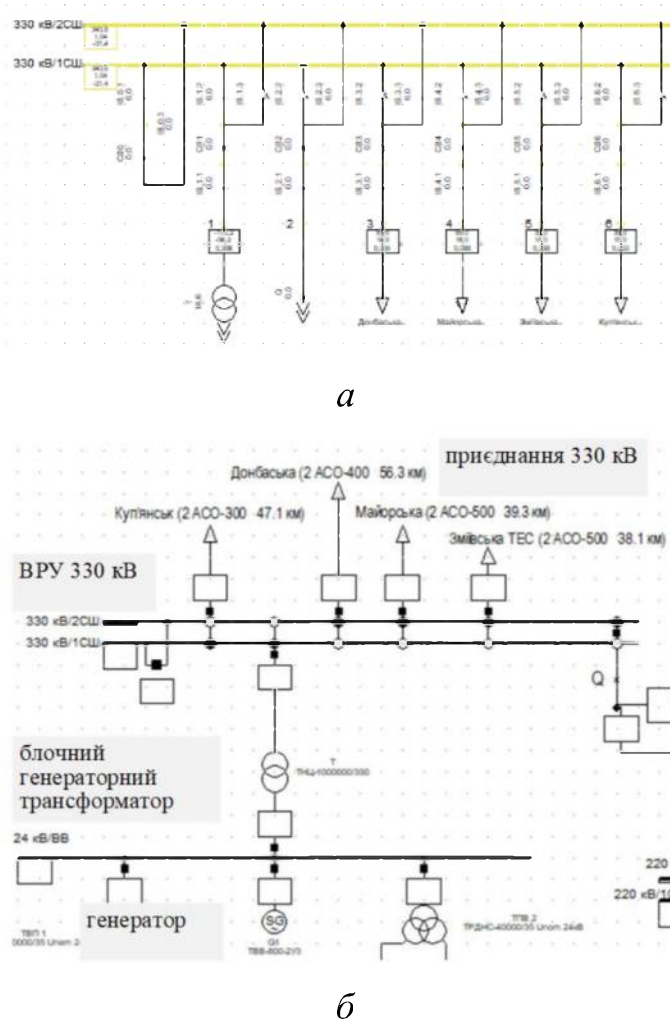


Рисунок 3.8 – ВРУ 330 кВ

Далі визначаються параметри АТ зв'язку – рис.3.9.

Прохідна потужність:

$$S_{\text{прох.AT}} = \sqrt{3} \cdot U_{e.\text{ном}} \cdot I_{e.\text{ном}} - \eta e S_{T.\text{акв}},$$

яку не перевищує потужність послідовної обмотки

$$\begin{aligned} S_{e.\text{ном}} &= \sqrt{3} \cdot I_{e.\text{ном}} \cdot (U_{e.\text{ном}} - U_{c.\text{ном}}) = \\ &= \sqrt{3} \cdot I_{e.\text{ном}} \cdot U_{e.\text{ном}} \cdot \left(1 - \frac{U_{c.\text{ном}}}{U_{e.\text{ном}}} \right) = \\ &= \sqrt{3} \cdot I_{e.\text{ном}} \cdot U_{e.\text{ном}} \cdot \left(1 - \frac{w_c}{w_e} \right) = S_{\text{прох.AT}} \cdot \left(1 - \frac{w_c}{w_e} \right) \end{aligned}$$

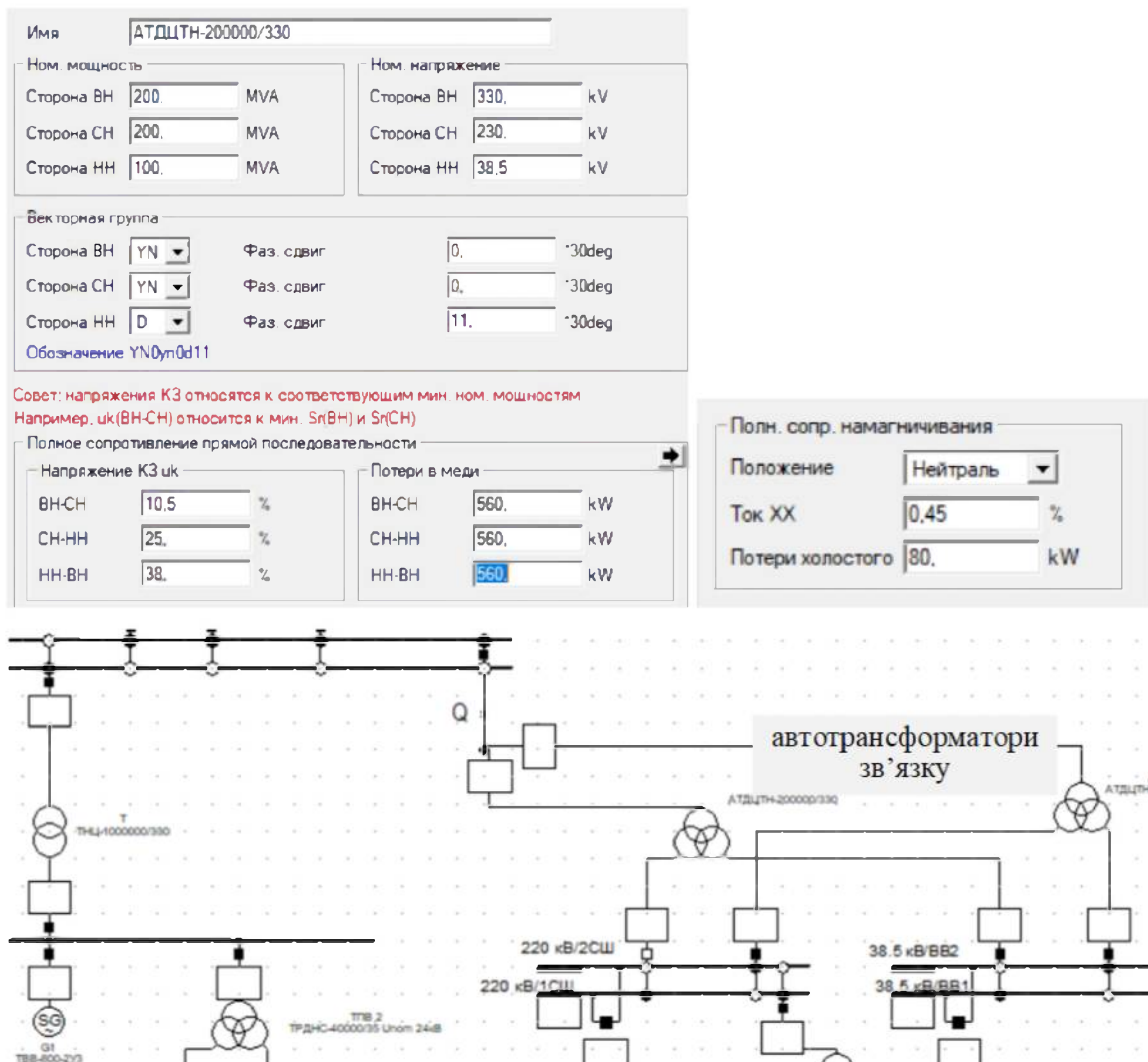


Рисунок 3.8 – АТ 330/220

Від шин генераторної напруги відходять два трансформатори типу ТРДН-40000/35. Вони призначені для живлення секцій власних потреб. Так як трансформатори з розщепленою обмоткою, то секцій – чотири. Всі двигуни дублюються для кожної секції. Їх схема підключення – рис.3.9.

До цієї схеми є дві вимоги:

- 1) забезпечення достатнього рівня напруги на виводах двигуна при пуску;
- 2) допустимі значення струмів коротких замикань на шинах власних потреб.

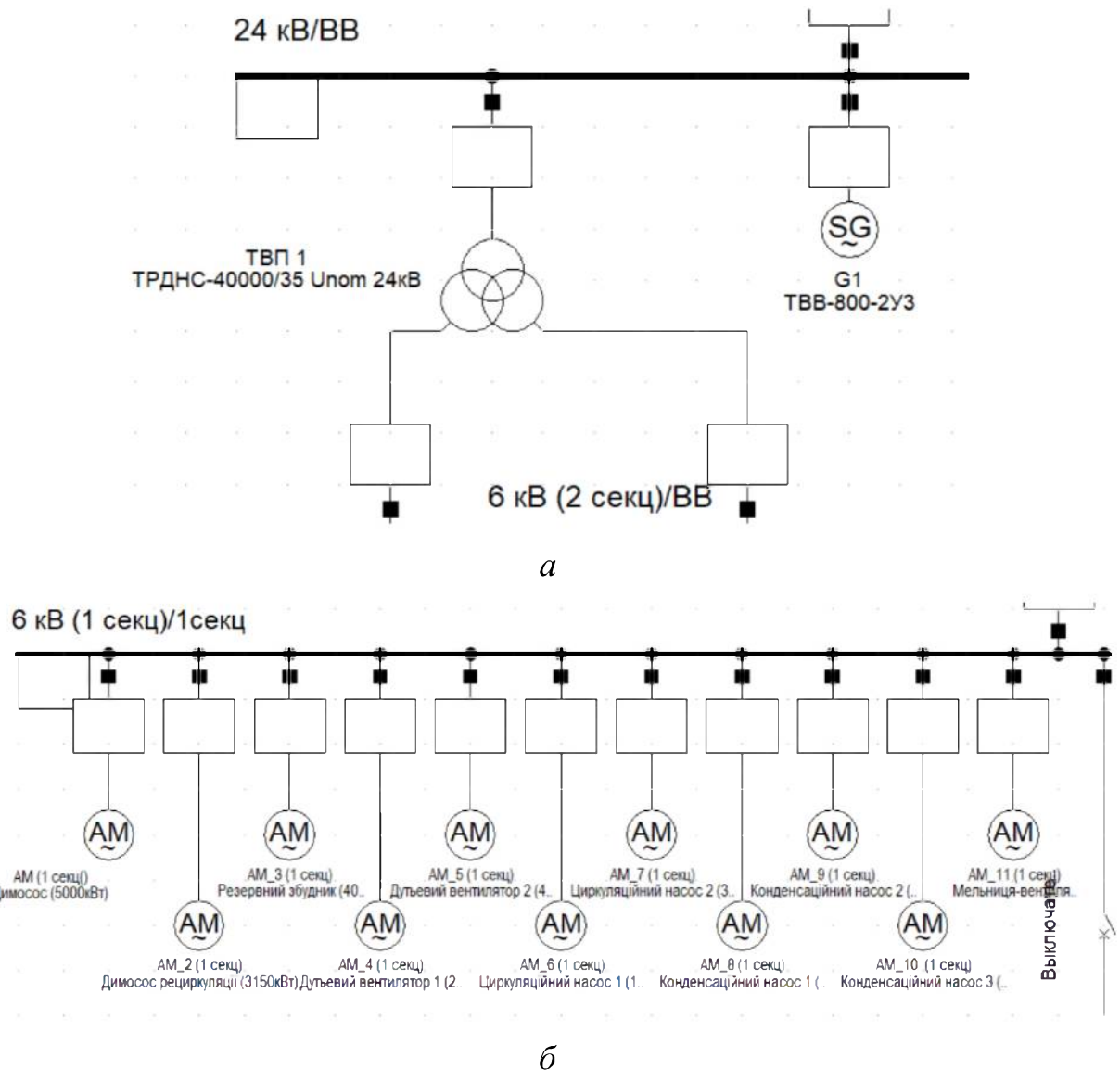


Рисунок 3.9 – Схеми ВП

Тип і кількість двигунів визначається потужністю блоку.

Приклад визначення їх параметрів – це рис. 3.10.

Ном. напряжение	<input type="text" value="6."/>	kV
Режим ввода		
<input checked="" type="radio"/> Характеристика момент/ток скольжение <input type="radio"/> Эл. параметр		
Ном. мощность		
<input checked="" type="radio"/> Ном. полная мощность <input type="text" value="5579,859"/> kVA <input checked="" type="radio"/> Ном. мех. мощность <input type="text" value="5000."/> kW		
Ном. коэф. мощности <input type="text" value="0,92"/>		
Эффективность в номинально <input type="text" value="97,4"/> %		
Ном. частота <input type="text" value="50."/> Hz		
Ном. скорость <input type="text" value="2985."/> rpm		
число пар полюсов <input type="text" value="1"/>		
Соединение <input type="button" value="D"/>		

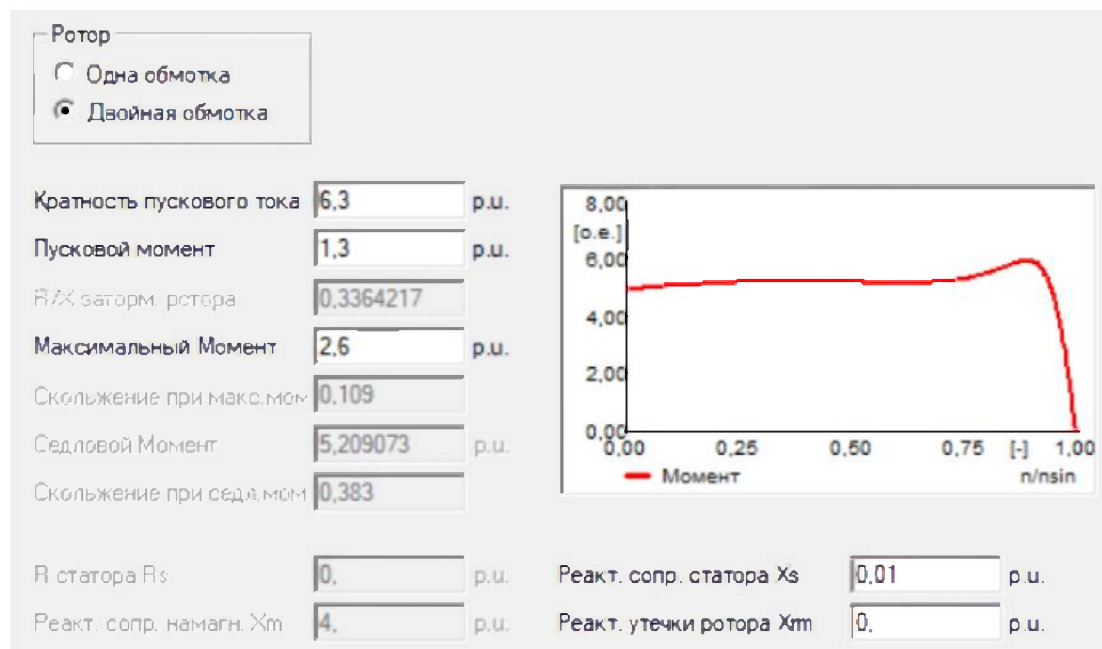
a*б*

Рисунок 3.10 – Визначення параметрів АД

Вихідні параметри АД наведені у табл. 3.1.

Таблиця 3.1 – Вихідні данні АД

Тип	P $MВт$	η в.о.	$\cos \varphi$	$n_{\text{ном}}$ об / хв	k_I в.о.	k_{Mh} в.о.	k_{Mm} в.о.
Димосос	5000	97,4	0,92	2985	6,3	1,3	2,6
Димосос рециркуляції	3150	97,2	0,9	2976	5,3	0,9	2,1
Резервний збудник	4000	96,9	0,92	2985	6,3	1,3	2,6
Дутьовий вентилятор №1	2000	96,5	0,91	2965	4,8	0,8	2,1
Дутьовий вентилятор №2	4000	96,9	0,92	2985	6,3	1,3	2,6
Циркуляційний насос №1	1600	96,5	0,9	2975	5,5	1,3	2,1
Циркуляційний насос №2	3150	97,2	0,9	2976	5,3	0,9	2,1
Конденсаційний насос №1	400	95,3	0,91	2980	7	1,3	2,4
Конденсаційний насос №2	400	95,3	0,91	2980	7	1,3	2,4
Конденсаційний насос №3	1000	95,8	0,89	2970	5	1,1	1,9
Млин - вентилятор	800	95,8	0,9	2970	5,2	1,1	1,9

Розрахунок параметрів схем заміщення виконується за наведеним нижче алгоритмом (табл. 3.2):

- експлуатаційні параметри АД

$$s_h = \frac{n_c - n_h}{n_c}$$

$$\eta'_h = 1 - s_h - \frac{\eta_h \cdot \cos \varphi_h \cdot s_h}{1 - s_h}$$

$$\cos \varphi'_h = \frac{\eta_h \cdot \cos \varphi_h}{\eta'_h}$$

- опір розсіювання обмотки статора

$$x_\sigma = \frac{1}{(2 \div 3) \cdot k_I}$$

- для характеристики взаємоіндукції

$$i_{ad} = \sin \varphi_H' - \left(k_M - \sqrt{k_M^2 - 1} \right) \cdot \cos \varphi_H'$$

$$x_{ad} = \frac{1}{i_{ad}} - x_G$$

- для еквівалентних опорів контурів

$$\left. \begin{aligned} r_{ex,H} &= \cos \varphi_H' \\ x_{ex,H} &= \sin \varphi_H' \end{aligned} \right\}$$

Таблиця 3.2 – Розрахунок параметрів АД

Тип АД	S_H	η_H'	$\cos \varphi_H'$	i_{ad}
	-	-	-	В.О.
Димосос	0,0050	0,99	0,91	0,233
Димосос рециркуляції	0,0080	0,985	0,89	0,23
Резервний збудник	0,0050	0,991	0,9	0,256
Дутьовий вентилятор №1	0,0117	0,978	0,9	0,208
Дутьовий вентилятор №2	0,0050	0,991	0,9	0,256
Циркуляційний насос №1	0,0083	0,984	0,88	0,252
Циркуляційний насос №2	0,0080	0,985	0,89	0,23
Конденсаційний насос №1	0,0067	0,987	0,88	0,283
Конденсаційний насос №2	0,0067	0,987	0,88	0,283
Конденсаційний насос №3	0,0100	0,981	0,87	0,246
Млин – вентилятор	0,0100	0,981	0,88	0,225

Продовження табл. 3.2 – Розрахунок параметрів АД

Тип	$r_{ex,H}$	$x_{ex,H}$	$r_{ex,1}$	$x_{ex,1}$	$g_{r,H}$	$b_{r,H}$	$g_{r_{z-1}}$	$b_{r_{z-1}}$	g_{r2}	b_{r2}
	B.O.	B.O.	B.O.	B.O.	B.O.	B.O.	B.O.	B.O.	B.O.	B.O.
Димосос	0,910	0,415	0,036	0,156	0,953	0,145	2,679	8,666	2,474	2,262
Димосос рециркуляції	0,890	0,456	0,037	0,187	0,946	0,188	1,788	7,413	1,592	2,470
Резервний збудник	0,900	0,436	0,035	0,156	0,944	0,145	2,607	8,690	2,409	2,407
Дутьовий вентилятор №1	0,900	0,436	0,044	0,206	0,962	0,186	1,630	6,704	1,312	1,569
Дутьовий вентилятор №2	0,900	0,436	0,035	0,156	0,944	0,145	2,607	8,690	2,409	2,407
Циркуляційний насос №1	0,880	0,475	0,047	0,178	0,936	0,189	2,548	7,448	2,338	2,626
Циркуляційний насос №2	0,890	0,456	0,037	0,187	0,946	0,188	1,788	7,413	1,592	2,470
Конденсаційний насос №1	0,880	0,475	0,031	0,141	0,924	0,165	2,630	9,779	2,430	4,439
Конденсаційний насос №2	0,880	0,475	0,031	0,141	0,924	0,165	2,630	9,779	2,430	4,439
Конденсаційний насос №3	0,870	0,493	0,049	0,196	0,934	0,212	2,147	6,853	1,960	2,532
Млин – вентилятор	0,880	0,475	0,047	0,188	0,940	0,216	2,210	7,177	2,025	2,875

$$r_{ex,1} = r_{\sigma} + \frac{1,01 \cdot m_n \cdot \cos \varphi_H' \cdot \eta_H'}{(0,99 \cdot k_I)^2 \cdot (1 - s_H)}$$

$$x_{ex,1} = \sqrt{\frac{1}{(0,99 \cdot k_I)^2} - r_{ex,1}^2}$$

Продовження табл. 3.2 – Розрахунок параметрів АД

Тип	r_σ	x_σ	x_{ad}	r_{r1}	x_{r1}	r_{r2}	x_{r2}
	B.O.	B.O.	B.O.	B.O.	B.O.	B.O.	B.O.
Димосос	0,0050	0,053	4,239	0,005	0,156	0,220	0,201
Димосос рециркуляції	0,0080	0,063	4,285	0,008	0,202	0,184	0,286
Резервний збудник	0,0050	0,053	3,853	0,005	0,159	0,208	0,208
Дутьовий вентилятор №1	0,0117	0,069	4,739	0,012	0,194	0,314	0,375
Дутьовий вентилятор №2	0,0050	0,053	3,853	0,005	0,159	0,208	0,208
Циркуляційний насос №1	0,0083	0,061	3,907	0,009	0,207	0,189	0,212
Циркуляційний насос №2	0,0080	0,063	4,285	0,008	0,202	0,184	0,286
Конденсаційний насос №1	0,0067	0,048	3,486	0,007	0,187	0,095	0,173
Конденсаційний насос №2	0,0067	0,048	3,486	0,007	0,187	0,095	0,173
Конденсаційний насос №3	0,0100	0,067	3,998	0,010	0,231	0,191	0,247
Млин – вентилятор	0,0100	0,064	4,38	0,010	0,232	0,164	0,232

$$g_{r,n} = \frac{r_{ex,n} - r_\sigma}{(r_{ex,n} - r_\sigma)^2 + (x_{ex,n} - x_\sigma)^2} \quad \left. \begin{array}{l} \\ \end{array} \right\}$$

$$b_{r,n} = \frac{x_{ex,n} - x_\sigma}{(r_{ex,n} - r_\sigma)^2 + (x_{ex,n} - x_\sigma)^2} - \frac{1}{x_{ad}} \quad \left. \begin{array}{l} \\ \end{array} \right\}$$

$$g_{r_{i-1}} = \frac{r_{ex,1} - r_\sigma}{(r_{ex,1} - r_\sigma)^2 + (x_{ex,1} - x_\sigma)^2} \quad \left. \begin{array}{l} \\ \end{array} \right\}$$

$$b_{r_{i-1}} = \frac{x_{ex,1} - x_\sigma}{(r_{ex,1} - r_\sigma)^2 + (x_{ex,1} - x_\sigma)^2} - \frac{1}{x_{ad}} \quad \left. \begin{array}{l} \\ \end{array} \right\}$$

$$g_{r2} = g_{r_{i-1}} - \frac{r_{r1}}{r_{r1}^2 + x_{r1}^2} \quad \left. \begin{array}{l} \\ \end{array} \right\}$$

$$b_{r2} = b_{r_{i-1}} - \frac{x_{r1}}{r_{r1}^2 + x_{r1}^2} \quad \left. \begin{array}{l} \\ \end{array} \right\}$$

Таким чином для остаточної схеми заміщення

$$\left. \begin{aligned} r_{r1} &= \frac{g_{r,h}}{g_{r,h}^2 + b_{r,h}^2} \cdot s_h \\ x_{r1} &= \frac{b_{r,h}}{g_{r,h}^2 + b_{r,h}^2} \end{aligned} \right\}$$

$$\left. \begin{aligned} r_{r2} &= \frac{g_{r2}}{g_{r2}^2 + b_{r2}^2} \\ x_{r2} &= \frac{b_{r2}}{g_{r2}^2 + b_{r2}^2} \end{aligned} \right\}$$

Для моменту обертання:

$$\left. \begin{aligned} M_{obertm} &= \frac{2M_{max} \cdot \left(1 + \frac{r_\sigma \cdot s_{kp}}{r_r \cdot c_1} \right)}{\frac{s_{kp}}{s} + \frac{s}{s_{kp}} + \frac{2 \cdot r_\sigma \cdot s_{kp}}{r_r \cdot c_1}} \\ c_1 &= 1 + \frac{x_\sigma}{x_{ad}} \end{aligned} \right\}$$

Далі використовуючи спрощення отримуємо вираз, який дозволяє визначити критичне ковзання:

$$\left. \begin{aligned} s &= s_h \\ c_2 &= \frac{2 \cdot r_\sigma \cdot s_h}{r_{r1} \cdot c_1} \\ M &= M_{hom} \\ s_{kp} &= \frac{k_{Mm} + \sqrt{k_{Mm}^2 - 1 - c_2 \cdot (1 - k_{Mm})}}{1 + c_2 \cdot (1 - k_{Mm})} \cdot s_h \end{aligned} \right\}$$

Таким чином, можна визначити пускові характеристики АД.

Спочатку визначаються провідності (рис. 3.11 - 3.14):

$$g_r(s) = \frac{\frac{r_{r1}}{s}}{\left(\frac{r_{r1}}{s}\right)^2 + x_{r1}^2} + \frac{\frac{r_{r2}}{s}}{\left(\frac{r_{r2}}{s}\right)^2 + x_{r2}^2}$$

$$b_r(s) = \frac{x_{r1}}{\left(\frac{r_{r1}}{s}\right)^2 + x_{r1}^2} + \frac{x_{r2}}{\left(\frac{r_{r2}}{s}\right)^2 + x_{r2}^2} + \frac{1}{x_{ad}}$$

Потім визначаються опори (рис. 3.15):

$$r_{ex}(s) = r_\sigma + \frac{g_r(s)}{g_r^2(s) + b_r^2(s)}$$

$$x_{ex}(s) = x_\sigma + \frac{b_r(s)}{g_r^2(s) + b_r^2(s)}$$

Отже функція струму від ковзання визначається (рис. 3.16):

$$I(s) = \frac{1}{\sqrt{r_{ex}(s)^2 + x_{ex}(s)^2}}$$

Функція моменту обертання (рис. 3.17 – 3.18):

$$M(s) = I^2(s) \cdot (r_{ex}(s) - r_\sigma) \cdot \frac{1 - s_h}{\cos \varphi_h \cdot \eta_h}$$

$$M(s)_{K7} = \frac{2 \cdot M_{max}}{\frac{s}{s_{kp}} + \frac{s_{kp}}{s}}$$

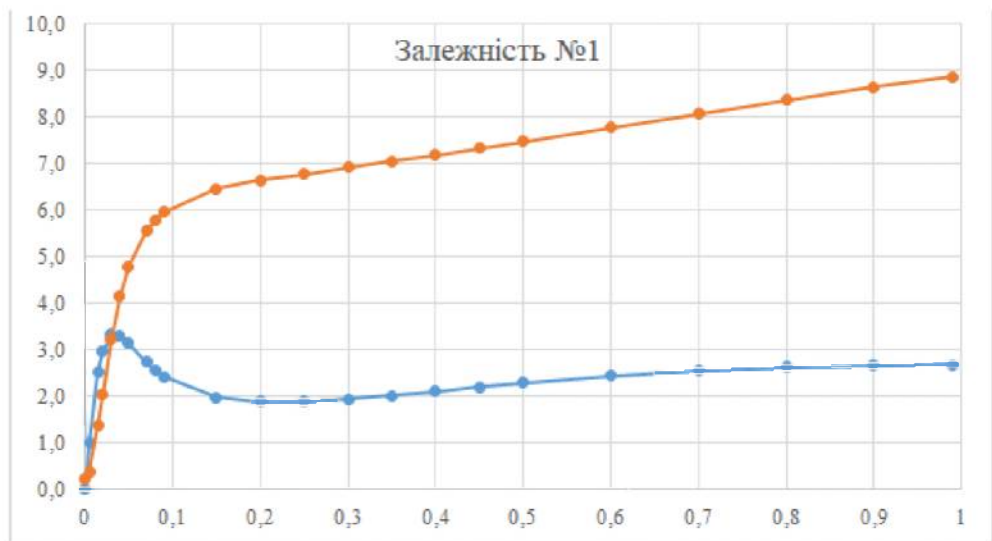
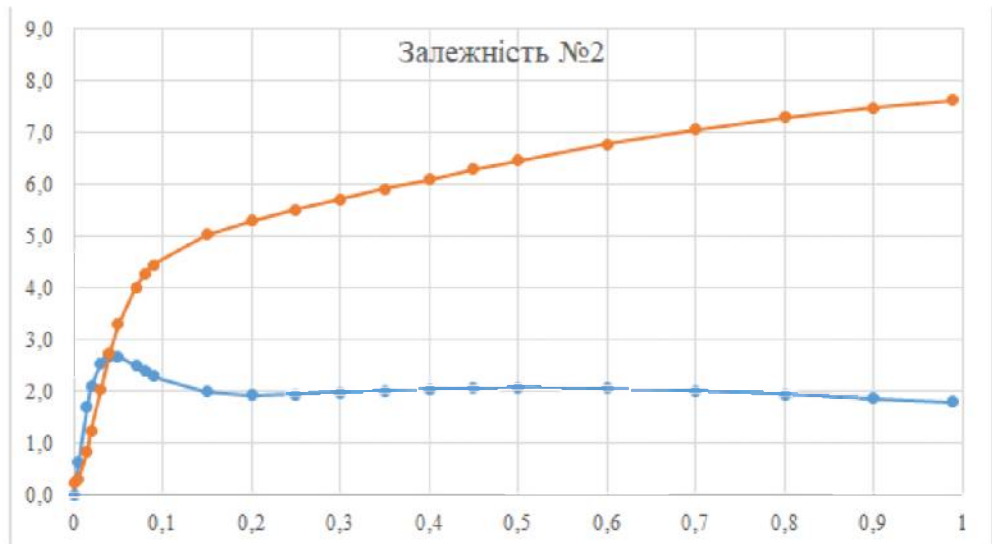
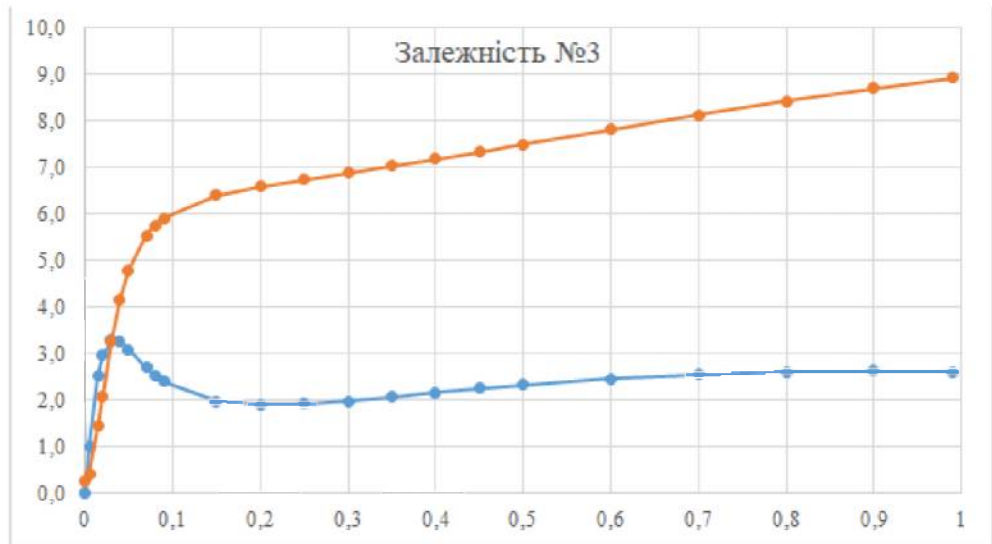
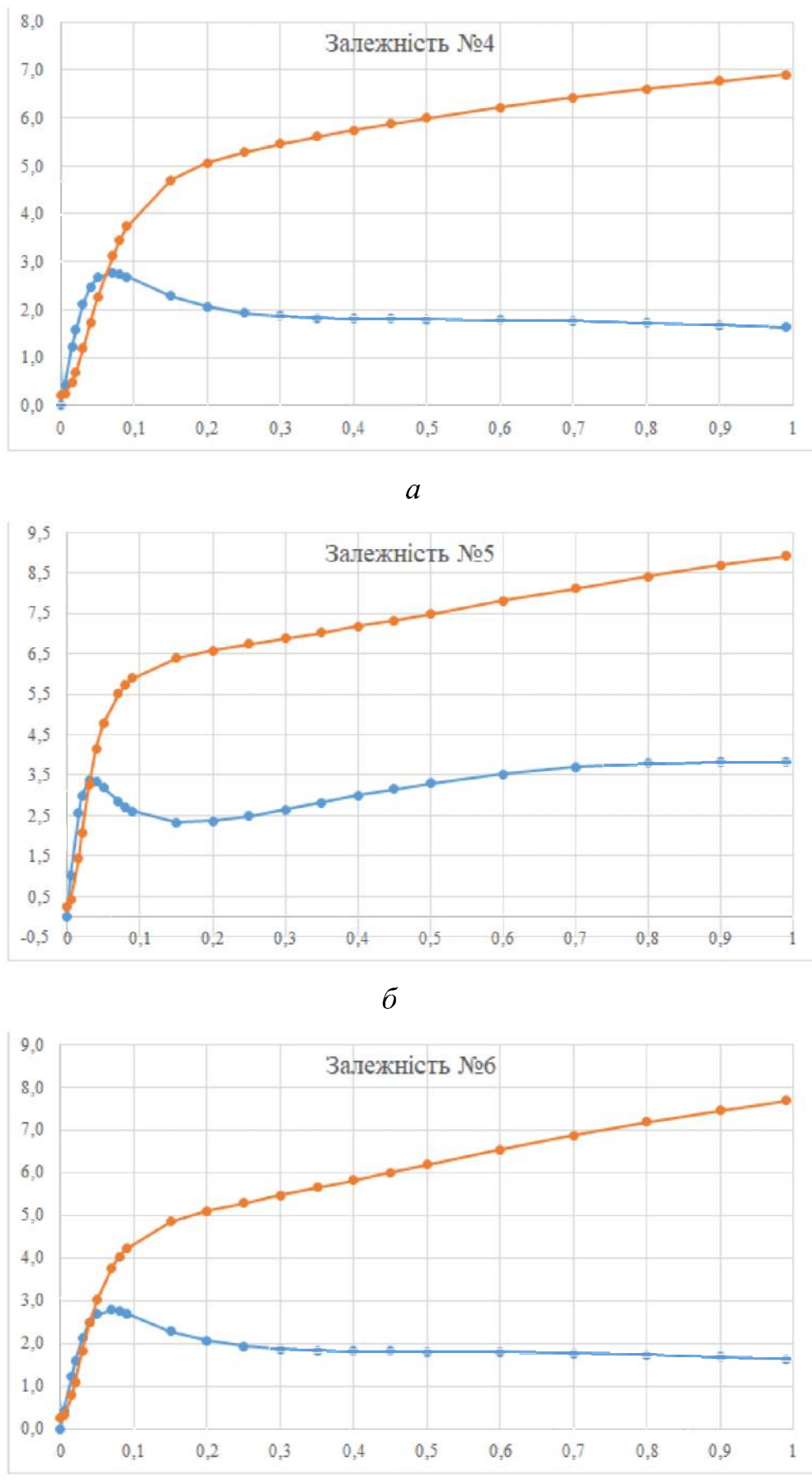
*a**b**c*

Рисунок 3.11 – Залежності $g_r(s)$ і $b_r(s)$ для АД1 – АД3

Рисунок 3.12 – Залежності $g_r(s)$ і $b_r(s)$ для АД4 – АД6

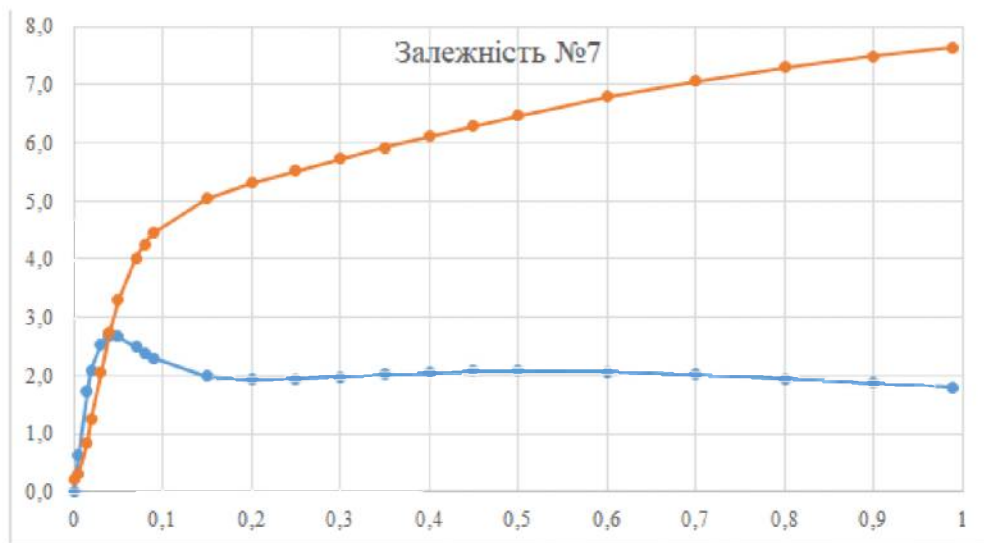
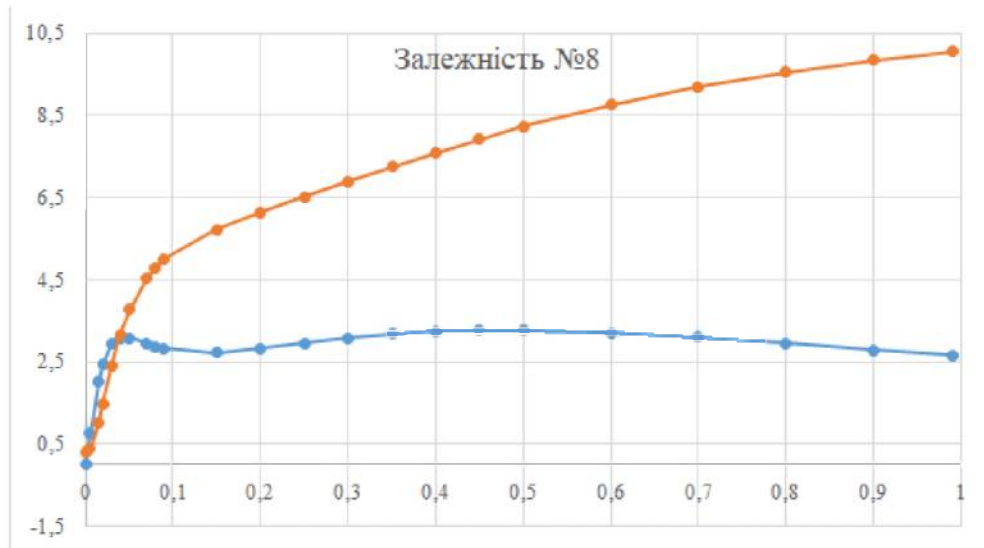
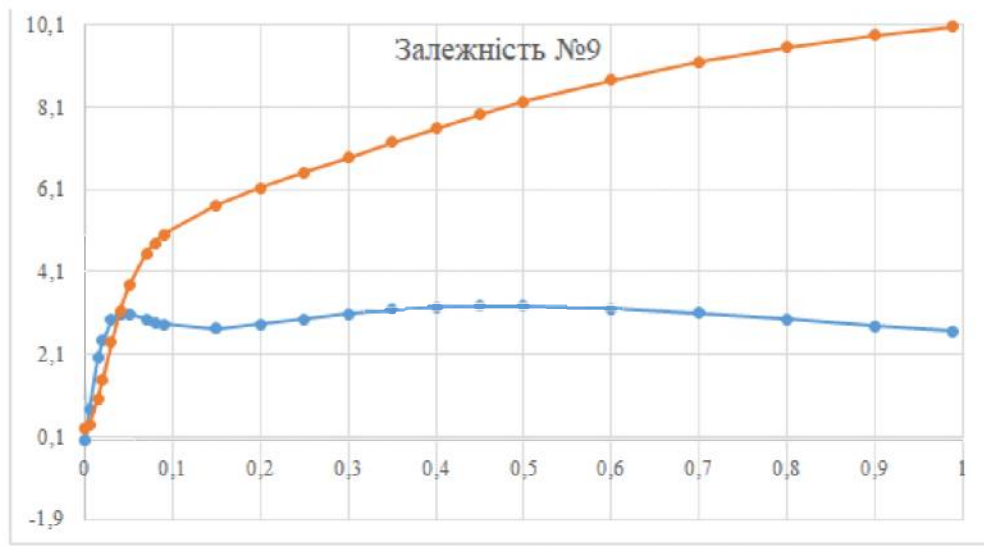
*a**б**с*

Рисунок 3.13 – Залежності $g_r(s)$ і $b_r(s)$ для АД7 – АД9

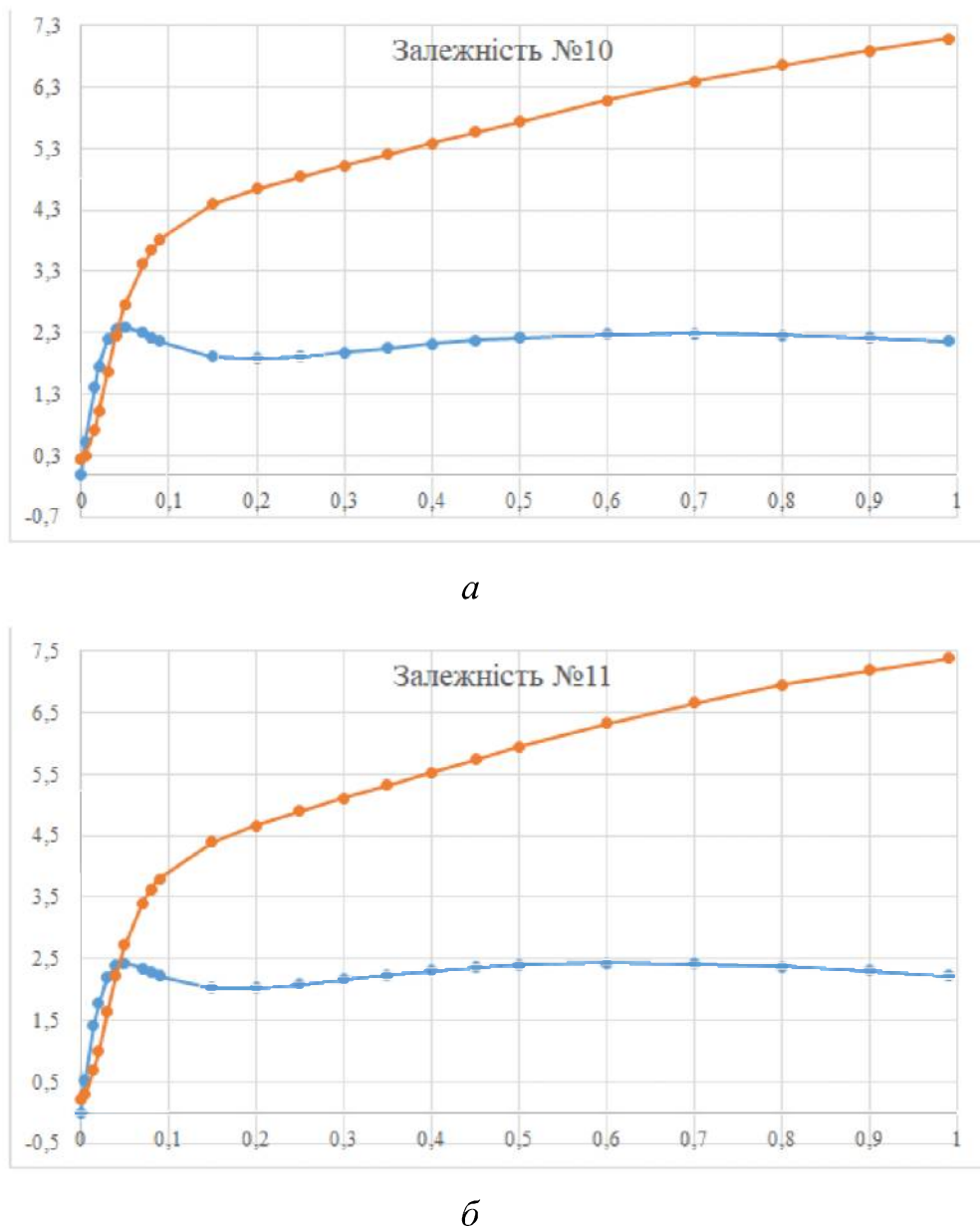


Рисунок 3.14 – Залежності $g_r(s)$ і $b_r(s)$ для АД10 – АД11

Аналіз отриманих характеристик (рис. 3.11 - 3.14) показав, що в діапазоні ковзання $s = 0 \div 1$ відхилення від середнього значення $g_{r_{cp}}(s)$ максимального значення $g_{r_{maxi}}(s)$ складає від 10,4 % до 64,1 %:

$$\delta g = \frac{g_{r_{cp}}(s) - g_{r_{maxi}}(s)}{g_{r_{cp}}(s)} \cdot 100$$

а для максимального значення $b_r(s)$ – складає від 0,3 % до 10,05 %:

$$\delta b = \frac{b_{r_{cp}}(s) - b_{r_{maxi}}(s)}{b_{r_{cp}}(s)} \cdot 100$$

Відхилення від середнього значення $g_{r_{ep}}(s)$ мінімального значення $g_{r_{\min i}}(s)$ складає від 12,8 % до 38,6 %, а для мінімального значення $b_{r_{\min i}}(s)$ – складає від 15,3 % до 50,1 %.

Отже еквівалентувати двигуни середніми характеристиками є недопустимим через велику похибку усереднення.

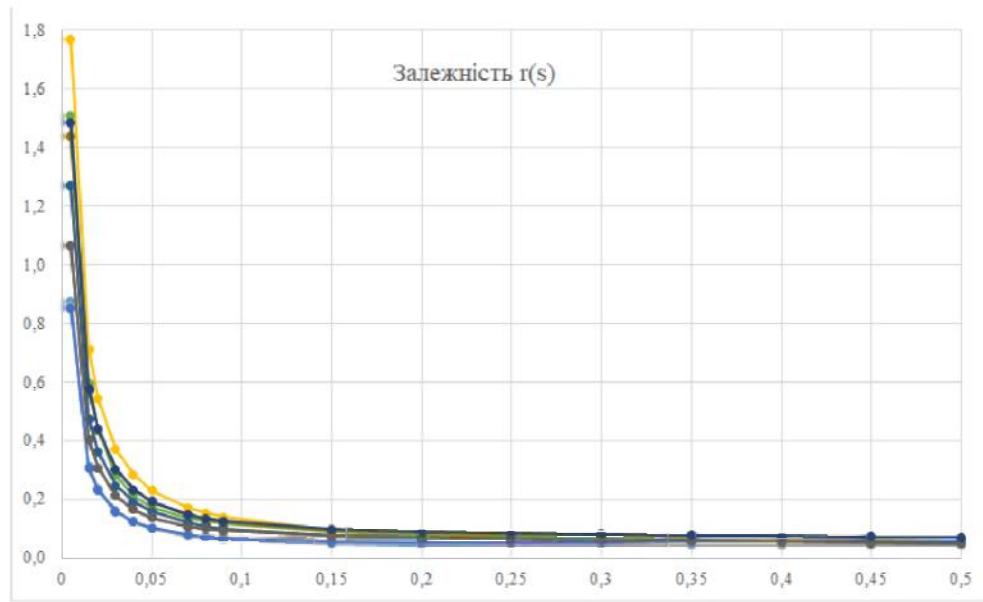
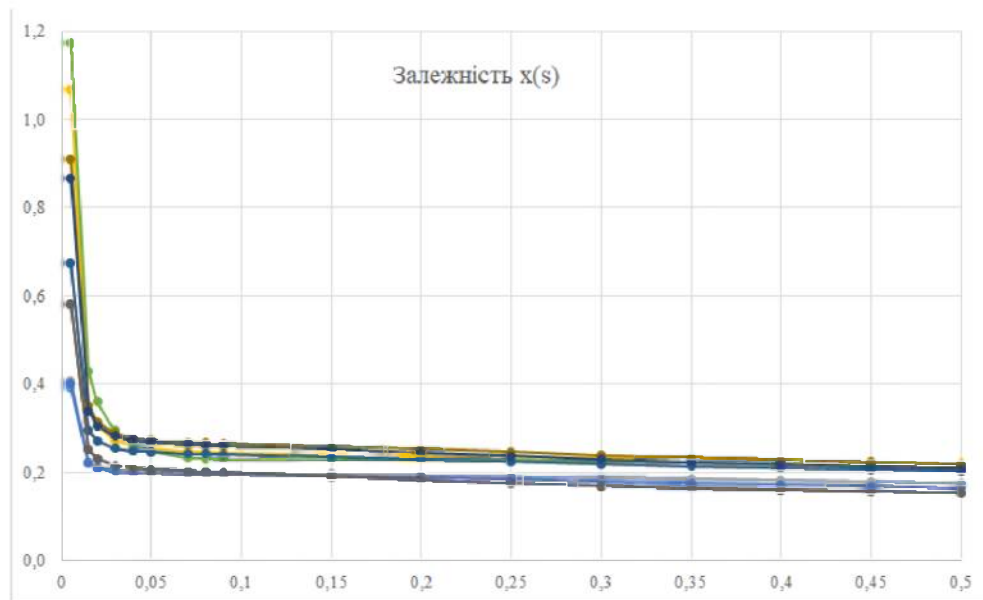
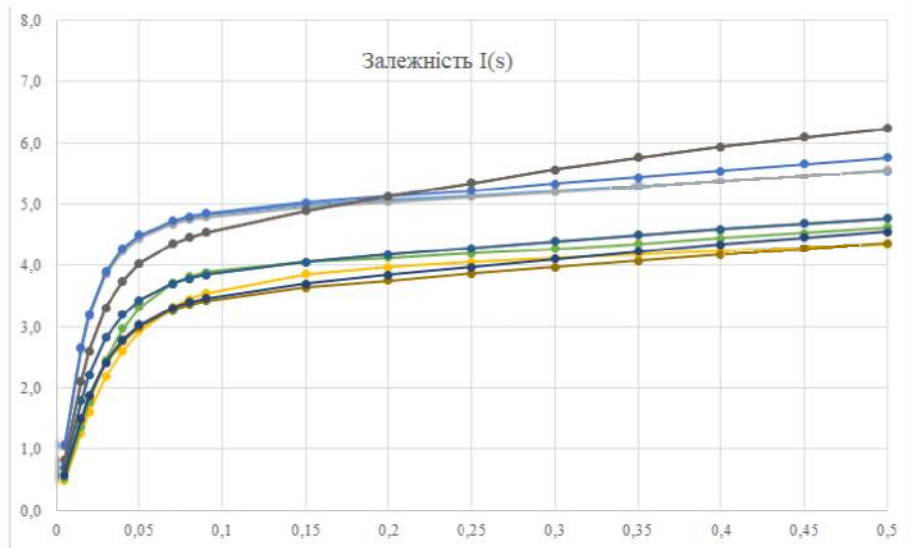
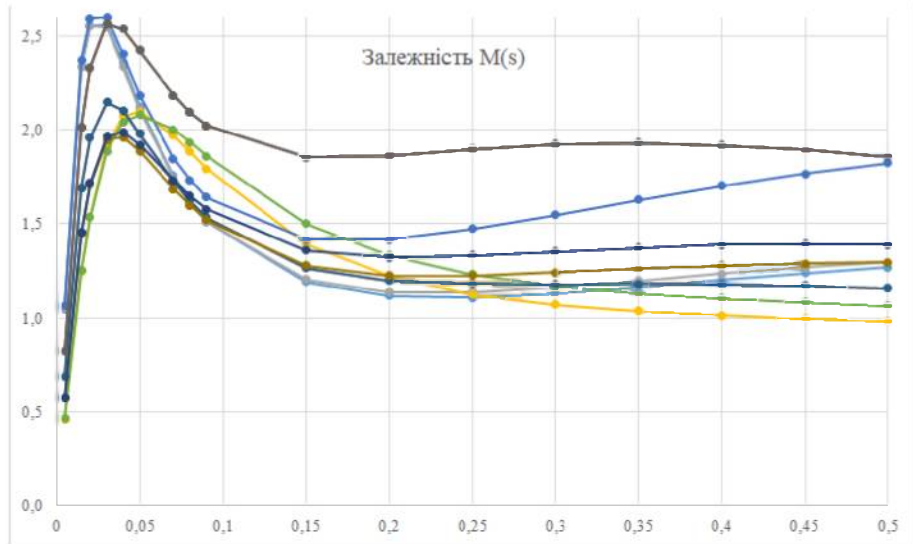
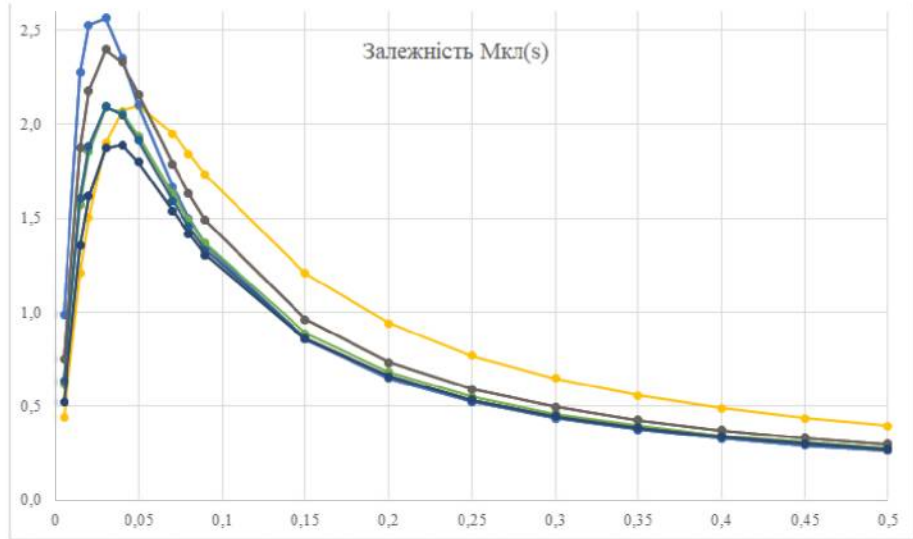
*a**b*

Рисунок 3.15 – Залежності $r_{ex}(s)$ і $x_{ex}(s)$ для АД1 – АД11

Рисунок 3.16 – Залежності $I(s)$ для АД1 – АД11Рисунок 3.17 – Залежності $M(s)$ для АД1 – АД11Рисунок 3.18 – Залежності $M_{kl}(s)$ для АД1 – АД11

Нижче наведений алгоритм, який реалізує розрахунок $\omega = f(t)$ в процесі самозапуску двигунів власних потреб електростанцій, а також зміни напруги $U_{c.z.} = f(t)$ (рис. 3.19).

```

f(W) := | a ← cols(W)
          | j ← a
          | f1 ← 0
          | q ← 0
          | while f1 = 0
          |   q ← q + 1 if min(W^{<j}) > 0.95
          |   f1 ← 1 if (q·dt) > 1
          |   break if (j - a)·dt ≥ t_sz
          |   Yd ← 0
          |   for k ∈ 1..N_dv
          |     Yd ← Yd +  $\frac{I(1 - W_{k,j}, k) \cdot ln_k}{U_f}$ 
          |   Xsz_j ←  $\frac{1}{Yd}$ 
          |   Isz_j ← U · Yd · Ufk
          |   Usz_j ← U ·  $\frac{Xsz_j}{Xsz_j + Xv}$ 
          |   for i ∈ 1..N_dv
          |     W_{i,j} ←  $\begin{cases} 0.001 & \text{if } W_{i,j} \leq 0 \\ W_{i,j} & \text{otherwise} \end{cases}$ 
          |     mv ← m(1 - W_{i,j}, i) · (Usz_j)^2
          |     ms ← Mc(K_{z_i}, W_{i,j}, n_i)
          |     W_{i,j+1} ← W_{i,j} +  $\frac{|mv| - ms}{T_{j_i}} \cdot dt$ 
          |   j ← j + 1
          | W
          | Усамозапуску
          | Ісамозапуску
          | Хсамозапуску
    
```

Рисунок 3.19 – Алгоритм розрахунку процесів самозапуску

Тривалість самозапуску, згідно теорії електричних машин, має обмеження щодо нагріву двигунів, аби забезпечити збереження технології генерації електричної енергії при зменшенні кутової швидкості відповідальних механізмів.

Час знаходитьться в обмеженнях 25 - 35 с, якщо на електростанції є поперечні зв'язки.

Час знаходитьться в обмеженні 20 с, якщо це блочні електростанції.

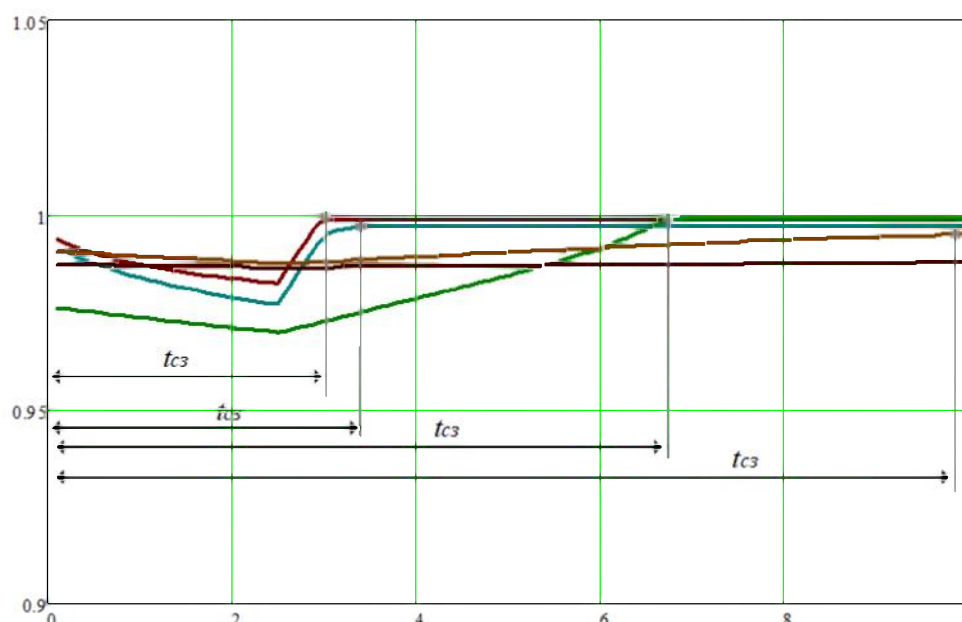


Рисунок 3.20 – Зміна напруги самозапуску

3.2 Усталений режим

У даному підрозділі – це розрахунок усталеного режиму (табл. 3.3-3.5).

На рис. 3.21 показана схема з результатами розрахунку.

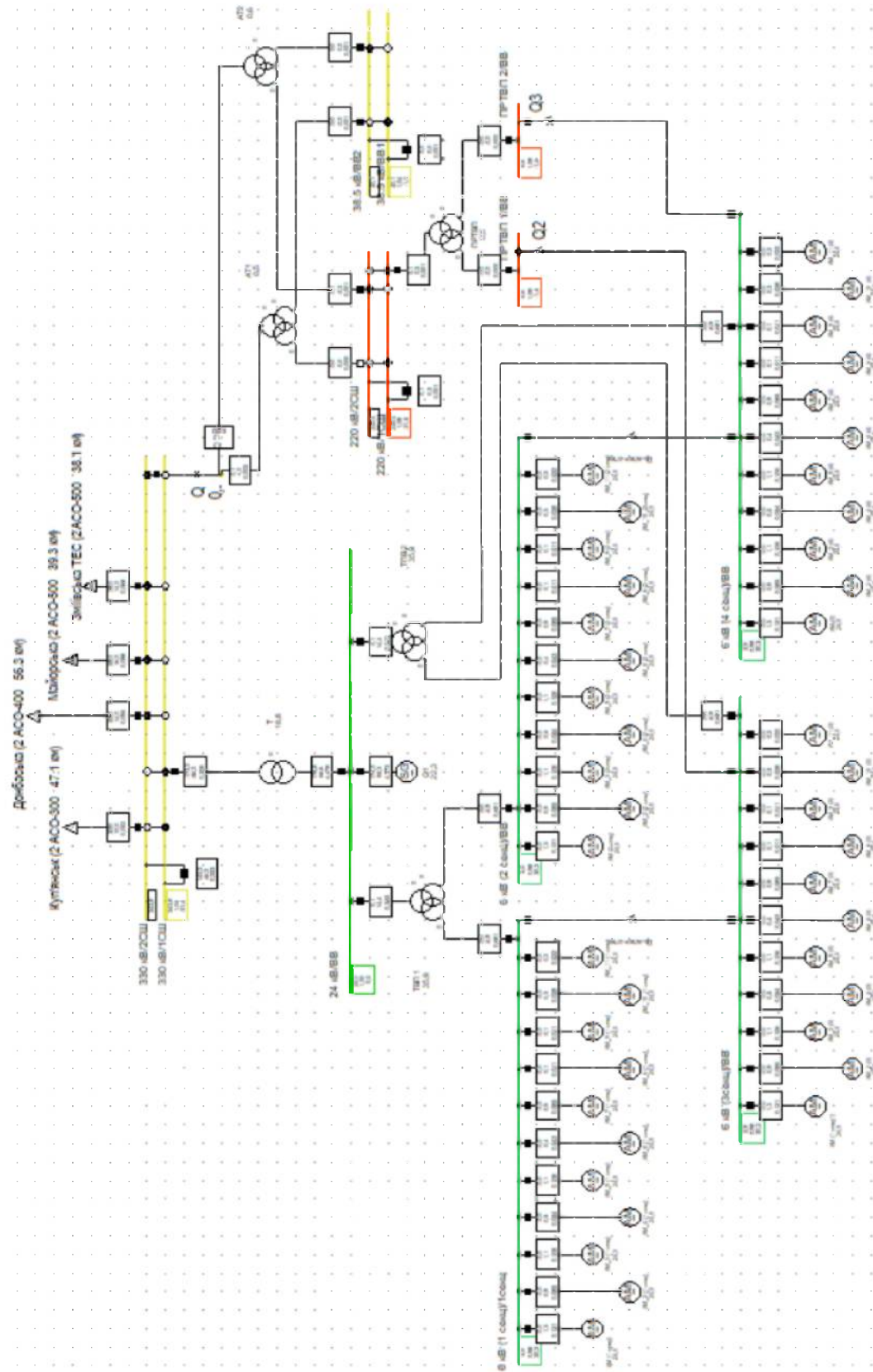


Рисунок 3.21 – Схема нормального режиму

Таблиця 3.3 – Результати розрахунку режиму (потужності й струми)

Політичний статус по системі: Постановка, Профілі напружень, Межсетевий обмін									
Рахунок УР		Автоматична адекватність моделі складності							
Рахунок УР, кільцевий, зважено-струмовий, приклад посл.		Нет		Макс. дозволимі погрешності УР для		Нет			
АЕМТ РДН		Узлов		1,00 kVA					
Учитувати промежк. можливості		Узлов		0,10 %					
		Урахуванням моделей							
Ном.	Нагр.	Активн.	Реактивн.	Можн.	Доп. дані	Можн.	Можн.	Можн.	Можн.
	[kV]	[p.u.]	[kV]	[deg]	[Mvar]	[-]	[kA]	[%]	
220 кВ									
1 СМ	220,00	1,09	239,27	-31,45					
Cubicle/Coup	CB0	-0,09	-0,30	-0,25	0,00	0,00			
Ячейка/_Tr2	AT1	-0,00	0,50	-1,00	0,00	0,49	Tap:	0,00	Min: 0 Max: 0
Ячейка/_Tr2	ПРВП	0,09	0,30	0,25	0,00	0,47	Tap:	0,00	Min: 0 Max: 0
2 СМ	220,00	1,09	239,27	-31,45					
Cubicle/Coup	CB0	0,09	0,30	0,25	0,00	0,00			
Ячейка/_Tr2	RT2	-0,09	-0,30	-0,25	0,00	0,60	Tap:	0,00	Min: 0 Max: 0
24 кВ									
ВВ	24,00	1,00	24,00	0,00					
Ячейка/_Sym	G1		173,93	95,34	0,39	4,77	22,32 Type:	5L	
Ячейка/_Tr2	T		173,80	66,62	0,39	4,48	18,61 Tap:	0,00	Min: 0 Max: 0
Ячейка/_Tr2	ТЕП 1	0,09	14,36	0,01	0,35	25,90 Tap:	0,00	Min: 0 Max: 0	
Ячейка/_Tr2	ТП8 2	0,09	14,36	0,01	0,35	25,90 Tap:	0,00	Min: 0 Max: 0	
330 кВ									
1 СМ	330,00	1,04	243,76	-31,45					
Ячейка/_Loc	Куп'янськ (2 АСО-3	30,00	10,00	0,95	0,05	0,00	P10:	20,00 MVA	Q10: 10,00 Mvar
Cubicle/Coup	CB0	143,25	46,24	0,95	0,25	0,00			
Ячейка/_Tr2	T	-173,25	-56,24	-0,95	0,31	18,61 Tap:	0,00	Min: 0 Max: 0	
2 СМ	330,00	1,04	243,76	-31,45					
Ячейка/_Loc	Лебединська (2 АСО-4	55,00	14,00	0,97	0,10	0,00	P10:	55,00 MVA	Q10: 14,00 Mvar
Ячейка/_Loc	Зміївська ТЕС (2 А	32,00	14,00	0,94	0,07	0,00	P10:	28,00 MVA	Q10: 14,00 Mvar
Ячейка/_Loc	Макарівська (2 АСО-5	50,00	16,00	0,95	0,09	0,00	P10:	50,00 MVA	Q10: 16,00 Mvar
Cubicle/Coup	CB0	-143,25	-46,24	-0,95	0,25	0,00			
Ячейка/_Tr2	AT1	0,10	1,01	0,10	0,00	0,49	Tap:	0,00	Min: 0 Max: 0
Ячейка/_Tr2	AT2	0,15	1,23	0,12	0,00	0,60	Tap:	0,00	Min: 0 Max: 0
38,5 кВ									
ВВ2	38,50	1,04	40,07	-1,45					
Cubicle/Coup	CB0	-0,01	-0,04	-0,26	0,00	0,00			
Ячейка/_Tr2	AT2	0,01	0,04	0,26	0,00	0,60	Tap:	0,00	Min: 0 Max: 0
ВВ1	-38,50	1,04	40,07	-1,45					
Cubicle/Coup	CB0	0,01	0,04	0,26	0,00	0,00			
Ячейка / Tr2	RT1	-0,01	-0,04	-0,26	0,00	0,49	Tap:	0,00	Min: 0 Max: 0
6 кВ (1 секунд)									
Іссяка	6,00	0,98	5,89	30,22					
Ячейка/_Loc	AM (1 секунд)	-0,00	1,34	-0,00	0,12	24,04 Slip:	0,00 0	xm: 4,00 p.u.	
Ячейка/_Loc	AM_10 (1 секунд)	-0,00	0,28	-0,00	0,02	24,04 Slip:	0,00 0	xm: 4,00 p.u.	
Ячейка/_Loc	AM_11 (1 секунд)	-0,00	0,22	-0,00	0,02	24,04 Slip:	0,00 0	xm: 4,00 p.u.	
Ячейка/_Loc	AM_2 (1 секунд)	-0,00	0,27	-0,00	0,08	24,04 Slip:	0,00 0	xm: 4,00 p.u.	
Ячейка/_Loc	AM_3 (1 секунд)	-0,00	1,08	-0,00	0,11	24,04 Slip:	0,00 0	xm: 4,00 p.u.	
Ячейка/_Loc	AM_4 (1 секунд)	-0,00	0,55	-0,00	0,05	24,04 Slip:	0,00 0	xm: 4,00 p.u.	
Ячейка/_Loc	AM_5 (1 секунд)	-0,00	1,05	-0,00	0,11	24,04 Slip:	0,00 0	xm: 4,00 p.u.	
Ячейка/_Loc	AM_6 (1 секунд)	-0,00	0,45	-0,00	0,04	24,04 Slip:	0,00 0	xm: 4,00 p.u.	
Ячейка/_Loc	AM_7 (1 секунд)	-0,00	0,27	-0,00	0,08	24,04 Slip:	0,00 0	xm: 4,00 p.u.	
Ячейка/_Loc	AM_8 (1 секунд)	-0,00	0,11	-0,00	0,01	24,04 Slip:	0,00 0	xm: 4,00 p.u.	
Ячейка/_Loc	AM_9 (1 секунд)	-0,00	0,11	-0,00	0,01	24,04 Slip:	0,00 0	xm: 4,00 p.u.	
Cubicle/Coup	CB13	0,00	0,00	0,29	0,00	0,00			
Ячейка / Tr2	ТЕП 1	-0,00	-6,95	-0,00	0,68	25,90 Tap:	0,00	Min: 0 Max: 0	
6 кВ (2 секунд)									
ІС	6,00	0,98	5,89	30,22					
Ячейка/_Loc	AM (2 секунд)	-0,00	1,34	-0,00	0,12	24,04 Slip:	0,00 0	xm: 4,00 p.u.	
Ячейка/_Loc	AM_10 (2 секунд)	-0,00	0,28	-0,00	0,02	24,04 Slip:	0,00 0	xm: 4,00 p.u.	
Ячейка/_Loc	AM_11 (2 секунд)	-0,00	0,22	-0,00	0,02	24,04 Slip:	0,00 0	xm: 4,00 p.u.	
Ячейка/_Loc	AM_2 (2 секунд)	-0,00	0,27	-0,00	0,08	24,04 Slip:	0,00 0	xm: 4,00 p.u.	
Ячейка/_Loc	AM_3 (2 секунд)	-0,00	1,08	-0,00	0,11	24,04 Slip:	0,00 0	xm: 4,00 p.u.	
Ячейка/_Loc	AM_4 (2 секунд)	-0,00	0,55	-0,00	0,05	24,04 Slip:	0,00 0	xm: 4,00 p.u.	
Ячейка/_Loc	AM_5 (2 секунд)	-0,00	1,05	-0,00	0,11	24,04 Slip:	0,00 0	xm: 4,00 p.u.	
Ячейка/_Loc	AM_6 (2 секунд)	-0,00	0,44	-0,00	0,04	24,04 Slip:	0,00 0	xm: 4,00 p.u.	
Ячейка/_Loc	AM_7 (2 секунд)	-0,00	0,27	-0,00	0,08	24,04 Slip:	0,00 0	xm: 4,00 p.u.	
Ячейка/_Loc	AM_8 (2 секунд)	-0,00	0,11	-0,00	0,01	24,04 Slip:	0,00 0	xm: 4,00 p.u.	
Ячейка/_Loc	AM_9 (2 секунд)	-0,00	0,11	-0,00	0,01	24,04 Slip:	0,00 0	xm: 4,00 p.u.	
Cubicle/Coup	CB7	0,00	0,00	0,37	0,00	0,00			
Ячейка / Tr2	ТЕП 1	-0,00	-6,95	-0,00	0,68	25,90 Tap:	0,00	Min: 0 Max: 0	
6 кВ (3 секунди)									
ІС	6,00	0,98	5,89	30,22					
Ячейка/_Loc	AM (1 секунд(1))	-0,00	1,34	-0,00	0,12	24,04 Slip:	0,00 0	xm: 4,00 p.u.	
Ячейка/_Loc	AM_10 (2)	-0,00	0,28	-0,00	0,02	24,04 Slip:	0,00 0	xm: 4,00 p.u.	
Ячейка/_Loc	AM_11 (3)	-0,00	0,22	-0,00	0,02	24,04 Slip:	0,00 0	xm: 4,00 p.u.	
Ячейка/_Loc	AM_2 (3)	-0,00	0,27	-0,00	0,08	24,04 Slip:	0,00 0	xm: 4,00 p.u.	
Ячейка/_Loc	AM_3 (3)	-0,00	1,08	-0,00	0,11	24,04 Slip:	0,00 0	xm: 4,00 p.u.	
Ячейка/_Loc	AM_4 (3)	-0,00	0,55	-0,00	0,05	24,04 Slip:	0,00 0	xm: 4,00 p.u.	
Ячейка/_Loc	AM_5 (3)	-0,00	1,05	-0,00	0,11	24,04 Slip:	0,00 0	xm: 4,00 p.u.	
Ячейка/_Loc	AM_6 (3)	-0,00	0,44	-0,00	0,04	24,04 Slip:	0,00 0	xm: 4,00 p.u.	
Ячейка/_Loc	AM_7 (3)	-0,00	0,27	-0,00	0,08	24,04 Slip:	0,00 0	xm: 4,00 p.u.	
Ячейка/_Loc	AM_8 (3)	-0,00	0,11	-0,00	0,01	24,04 Slip:	0,00 0	xm: 4,00 p.u.	
Ячейка/_Loc	AM_9 (3)	-0,00	0,11	-0,00	0,01	24,04 Slip:	0,00 0	xm: 4,00 p.u.	
Cubicle/Coup	CB7	0,00	0,00	0,14	0,00	0,00			
Ячейка / Tr2	ТП8 2	-0,00	-6,95	-0,00	0,68	25,90 Tap:	0,00	Min: 0 Max: 0	
6 кВ (4 секунди)									
ІС	6,00	0,98	5,89	30,22					
Ячейка/_Loc	AM (4)	-0,00	1,34	-0,00	0,12	24,04 Slip:	0,00 0	xm: 4,00 p.u.	
Ячейка/_Loc	AM_10 (4)	-0,00	0,28	-0,00	0,03	24,04 Slip:	0,00 0	xm: 4,00 p.u.	
Ячейка/_Loc	AM_11 (4)	-0,00	0,22	-0,00	0,02	24,04 Slip:	0,00 0	xm: 4,00 p.u.	
Ячейка/_Loc	AM_2 (4)	-0,00	0,27	-0,00	0,08	24,04 Slip:	0,00 0	xm: 4,00 p.u.	
Ячейка/_Loc	AM_3 (4)	-0,00	1,08	-0,00	0,11	24,04 Slip:	0,00 0	xm: 4,00 p.u.	
Ячейка/_Loc	AM_4 (4)	-0,00	0,55	-0,00	0,05	24,04 Slip:	0,00 0	xm: 4,00 p.u.	
Ячейка/_Loc	AM_5 (4)	-0,00	1,08	-0,00	0,11	24,04 Slip:	0,00 0	xm: 4,00 p.u.	
Ячейка/_Loc	AM_6 (4)	-0,00	0,44	-0,00	0,04	24,04 Slip:	0,00 0	xm: 4,00 p.u.	
Ячейка/_Loc	AM_7 (4)	-0,00	0,27	-0,00	0,08	24,04 Slip:	0,00 0	xm: 4,00 p.u.	
Ячейка/_Loc	AM_8 (4)	-0,00	0,11	-0,00	0,01	24,04 Slip:	0,00 0	xm: 4,00 p.u.	
Ячейка/_Loc	AM_9 (4)	-0,00	0,11	-0,00	0,01	24,04 Slip:	0,00 0	xm: 4,00 p.u.	
Cubicle/Coup	CB7	0,00	-0,00	1,00	0,00	0,00			
Ячейка / Tr2	CB8	0,00	-0,00	1,00	0,00	0,00			
Ячейка / Tr2	ТП8 2	-0,00	-6,95	-0,00	0,68	25,90 Tap:	0,00	Min: 0 Max: 0	

Продовження табл. 3.3 – Результати розрахунку режиму (потужності й струми)

Лінійка / Тр2	ТПВ 2	-0,00	-6,95	-0,00	0,68	25,90	Тар:	0,00	Мін:	0	Макс:	0	
ПРТВО 1													
ВВ	6,00	1,09	6,56	-1,44									
Cubicle/Coup	СВ2		0,00	-0,00	1,00	0,00	0,00						
Лінійка / Тр2	ПРТВП		-0,00	-0,00	-1,00	0,00	0,47	Тар:	0,00	Мін:	0	Макс:	0
ПРТВО 2													
ВВ	6,00	1,09	6,56	-1,44									
Cubicle/Coup	СВ2		0,00	-0,00	1,00	0,00	0,00						
Лінійка / Тр2	ПРТВП		-0,00	-0,00	-1,00	0,00	0,47	Тар:	0,00	Мін:	0	Макс:	0

Таблиця 3.4 – Результати розрахунку режиму (напруга)

		DIGSILENT Проект :										
		PowerFactory										
		15.1.7 Дата: 19.03.2021										
 Розрахунок УР												
Полний отчет по системе: Подстанції, Профілі напружень, Межсетевий обмін												
Розрахунок УР, нелинейний, симетричний, прямий посл.												
АЕМТ ЕНН Нет Автоматична адаптація моделей складності Нет												
Учитувати пределы реакт. мощности Нет Макс. допустима погрешність УР для Узлов 1,00 kVA												
Уравнений моделі 0,10 %												
 Сеть: Сеть												
Стадія сист.: Сеть												
Исследование: Исследование												
Прим.: / 4												
Ном.У Bus - Напр.												
[kV] [р.у.] [kV] [deg]												
Напр. - Отклонение [%]												
-10 -5 0 +5 +10												
220 кВ												
1СШ 220,00 1,098 239,37 -31,45												
2СШ 220,00 1,098 239,37 -31,45												
124 кВ												
ВВ 24,00 1,000 24,00 0,00												
330 кВ												
1СШ 330,00 1,042 343,76 -31,45												
2СШ 330,00 1,042 343,76 -31,45												
38,5 кВ												
ВВ2 28,50 1,041 40,07 -1,45												
ВВ1 28,50 1,041 40,07 -1,45												
16 кВ (1 секц.)												
1 секц. 6,00 0,982 5,89 30,22												
16 кВ (2 секц.)												
ВВ 6,00 0,982 5,89 30,22												
16 кВ (3секц.)												
ВВ 6,00 0,982 5,89 30,22												
16 кВ (4 секц.)												
ВВ 6,00 0,982 5,89 30,22												
ПРТВО 1												
ВВ 6,00 1,093 6,56 -1,44												
ПРТВП 2												
ВВ 6,00 1,093 6,56 -1,44												

Таблиця 3.5 – Результати розрахунку режиму (втрати потужності)

 Розрахунок УР												
Полный отчет по системе: Подстанции, Профили напряжения, Межсетевой обмен												
Розрахунок УР, нелинейний, симетричний, прямий посл.												
АЕМТ ЕНН Нет Автоматична адаптація моделей складності Нет												
Учитувати граничні реактив. потужності Нет Макс. допустима погрешність УР для Узлов 1,00 kVA												
Узлових												
Уравнений моделі 0,10 %												
 Сеть: Сеть												
Стадія сист.: Сеть												
Исследование: Исследование												
Прим.: / 5												
Уров. Генератор. Двиг. Нагр. Компл-т настін. На зовнешн.												
Капр. [МВт] / [МВар] [МВт] / [МВар] [МВт] / [МВар] [МВт] / [МВар]												
Потокообмін Потокообмін												
= [МВ] / [МВар]												
6,00 0,00 -0,00 0,00 0,00 0,00												
0,00 27,79 0,00 0,00 0,00 0,00												
24,00 кВ 0,42 0,10 0,02												
-26,76 0,50 0,06 0,44												
220,00 кВ 0,44 0,00 -0,08 0,08												
0,80 0,00 -0,30 0,30												
24,00 173,98 0,00 0,00 0,00 0,00												
95,34 0,00 0,00 0,00 0,00 0,00												
6,00 кВ -0,23 0,10 0,02												
27,26 0,50 0,06 0,44												
220,00 кВ 0,55 0,08 0,48												
66,62 10,29 4,96 5,42												
28,50 0,00 0,00 0,00 0,00 0,00												
0,00 0,00 0,00 0,00 0,00 0,00												
220,00 кВ -0,02												

Продовження табл. 3.5 – Результати розрахунку режиму (втрати потужності)

220,00	0,00	0,00	0,00	0,00	0,00		0,00	0,00	0,00	
0,00	0,00	0,00	0,00	0,00	0,00		0,00	0,00	0,00	
						6,00 kV	-0,44	0,00	-0,08	0,08
							-0,80	0,00	-0,20	0,30
						23,50 kV	0,02	0,00	-0,09	0,09
							0,09	0,00	-0,97	0,97
						220,00 kV	-0,67	0,00	-0,09	0,09
							-4,77	0,00	-0,97	0,97
320,00	0,00	0,00	173,00	0,00	0,00		0,00	0,00	0,00	
0,00	0,00	0,00	54,00	0,00	0,00		0,00	0,00	0,00	
						24,00 kV	-173,25	0,55	0,08	0,42
							-56,24	10,29	4,96	5,42
						23,50 kV	-0,13	0,00	-0,09	0,09
							-0,67	0,00	-0,97	0,97
						220,00 kV	0,67	0,00	-0,09	0,09
							4,77	0,00	-0,97	0,97
Всього:	173,93	-0,00	173,00	0,00	0,00		0,00	0,98	0,18	0,90
	95,34	27,79	54,00	0,00	0,00		0,00	18,56	5,46	8,10

3.3 Сталий режим КЗ

Сталий режим трифазного КЗ – це стадія перехідного процесу після затухання вільних складових струмів КЗ при відсутності дії АРВ. Такий режим є умовним, так як він виникає лише за умови автономної ізольованої роботи генератора.

Сталий режим трифазного КЗ зазвичай розглядається за умови, що генератор є ненасиченим, його навантаження має індуктивний характер, його ротор обертається з постійною синхронною швидкістю, напруга обмотки збудження є постійною.

Таким чином:

$$\left. \begin{array}{l} i_q, i_d, i_f = \text{const} \\ i_{D_i}, i_{Q_j}, i_0 = 0 \end{array} \right\} \Rightarrow \frac{d\Psi}{dt} = 0$$

Система рівнянь (2.24) прийме вид:

$$\left. \begin{array}{l} u_d = -\Psi_q - r \cdot i_d \\ u_q = \Psi_d - r \cdot i_q \\ u_f = r \cdot i_f \end{array} \right\} \quad (3.1)$$

Вирази для потокозчеплення приймуть вид:

$$\left. \begin{aligned} \Psi_d &= x_d \cdot i_d + x_{ad} \cdot i_f + \sum_{i=1}^n x_{ai} \cdot i_{D_i} \approx x_d \cdot i_d + x_{ad} \cdot i_f \\ \Psi_q &= x_q \cdot i_q + \sum_{j=1}^m x_{aq} \cdot i_{Q_j} \approx x_q \cdot i_q \\ \Psi_f &= x_{ad} \cdot i_d + x_f \cdot i_f + \sum_{i=1}^n x_{ai} \cdot i_{D_i} \approx x_{ad} \cdot i_d + x_f \cdot i_f \end{aligned} \right\}$$

Таким чином система рівнянь (3.1) приймуть вид:

$$\left. \begin{aligned} u_d &= -\Psi_q - r \cdot i_d = -x_q \cdot i_q - r \cdot i_d \\ u_q &= \Psi_d - r \cdot i_q = x_d \cdot i_d + x_{ad} \cdot i_f - r \cdot i_q \\ u_f &= r \cdot i_f \end{aligned} \right\} \quad (3.2)$$

У векторній формі система рівнянь (3.2) з урахуванням від'ємного напрямку осі d

$$\left. \begin{aligned} \underline{u}_d &= -x_q \cdot \underline{i}_q - r \cdot \underline{i}_d \\ \underline{u}_q &= -x_d \cdot \underline{i}_d + \underbrace{x_{ad} \cdot \underline{i}_f}_{E_a} - r \cdot \underline{i}_q \\ \underline{u}_f &= r \cdot \underline{i}_f \end{aligned} \right\} \quad (3.3)$$

З рівняння (3.3) ми бачимо, що струм збудження \underline{i}_f наводить в обмотці статора \underline{E}_q , яка відстасе від Ψ_{ad} на кут $\frac{\pi}{2}$, і тому направлена по осі q :

$$\underline{E}_q = \underline{u}_q + x_d \cdot \underline{i}_d + r \cdot \underline{i}_q \quad (3.4)$$

Для першої двох рівнянь системи (3.3) є справедливим наступний крок:

$$\underline{u}_d + j\underline{u}_q = -x_q \cdot \underline{i}_q - r \cdot \underline{i}_d + j(-x_d \cdot \underline{i}_d + \underline{E}_q - r \cdot \underline{i}_q)$$

$$\underline{u} = j\underline{E}_q - r \cdot (\underline{i}_d + j\underline{i}_q) - x_q \cdot \underline{i}_q - jx_d \cdot \underline{i}_d$$

$$\underline{u} = j\underline{E}_q - r \cdot \underline{i} - x_q \cdot \underline{i}_q - jx_d \cdot \underline{i}_d \quad (3.5)$$

$$j\underline{E}_q = \underbrace{\underline{u} + r \cdot \underline{i} + x_q \cdot \underline{i}_q}_{\underline{E}_Q} + jx_d \cdot \underline{i}_d$$

Якщо не враховувати активний опір, то векторна діаграма буде мати вигляд, який показаний на рис. 3.22.

На рис. 3.22 позначена фіктивна ЕРС, яка в свою чергу залежить від конструкції електричної машини:

$$\left. \begin{array}{l} x_d \neq x_q \Rightarrow \underline{E}_q = \underline{E}_Q + j\underline{i}(x_d - x_q) \\ x_d = x_q \Rightarrow \underline{E}_q = \underline{E}_Q \end{array} \right\}$$

Далі аналізуємо струми трифазного – табл.3.6 - 3.7, і однофазного КЗ – табл. 3.8.

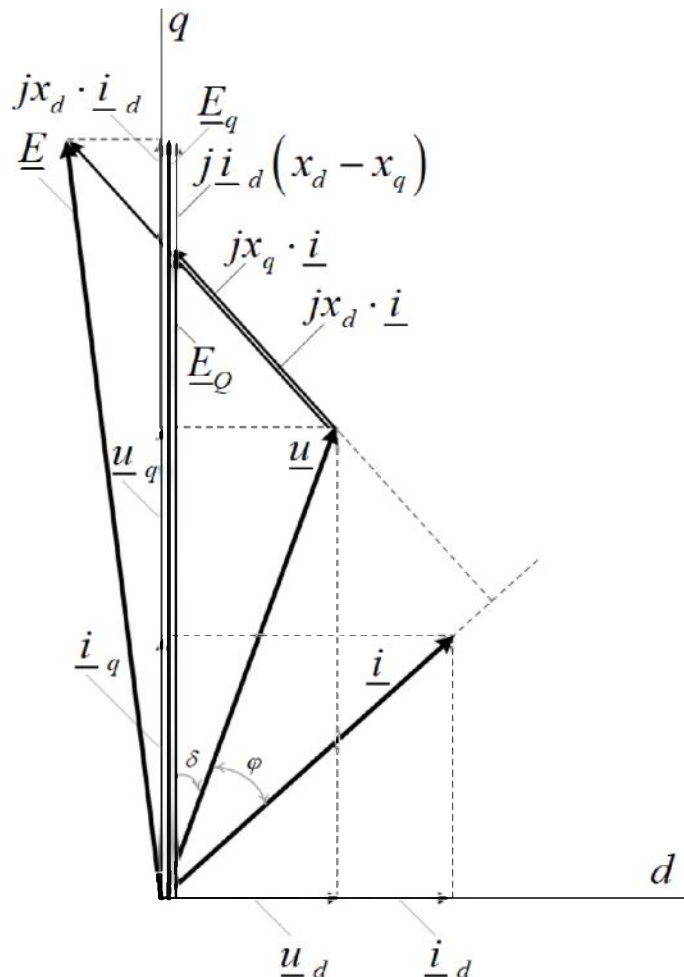


Рисунок 3.22 – Векторна діаграма СМ

Таблиця 3.6 – Завдання вихідних параметрів КЗ

Метод	МЕТОД ОМО	Издание	2001	
Повреждение	3-фазное КЗ			
Рассчитать	Макс. токи КЗ			
Макс. доп. откл. напр. для сетей НН	6 %			
Длительность короткого замыкания				
Время откл.	0.25	с	Исп. время откл.	общее
Время КЗ (t _h)	1.	с		
Сопротивление повреждения				
Детальное определение сопротивления в месте повреждения				
Активное, R _f	0.	Ohm		
Реактивное, X _f	0.	Ohm		
Место повреждения				
В	Определено пользователем			
Выбрать	<input type="button" value="▼"/>	<input type="button" value="✚"/>	<input type="button" value="—"/>	
<input checked="" type="checkbox"/> Показать Окно результатов				
Команда	...\\Исследование\\Вывод результатов			
Показывает	Места повреждений с фидерами			

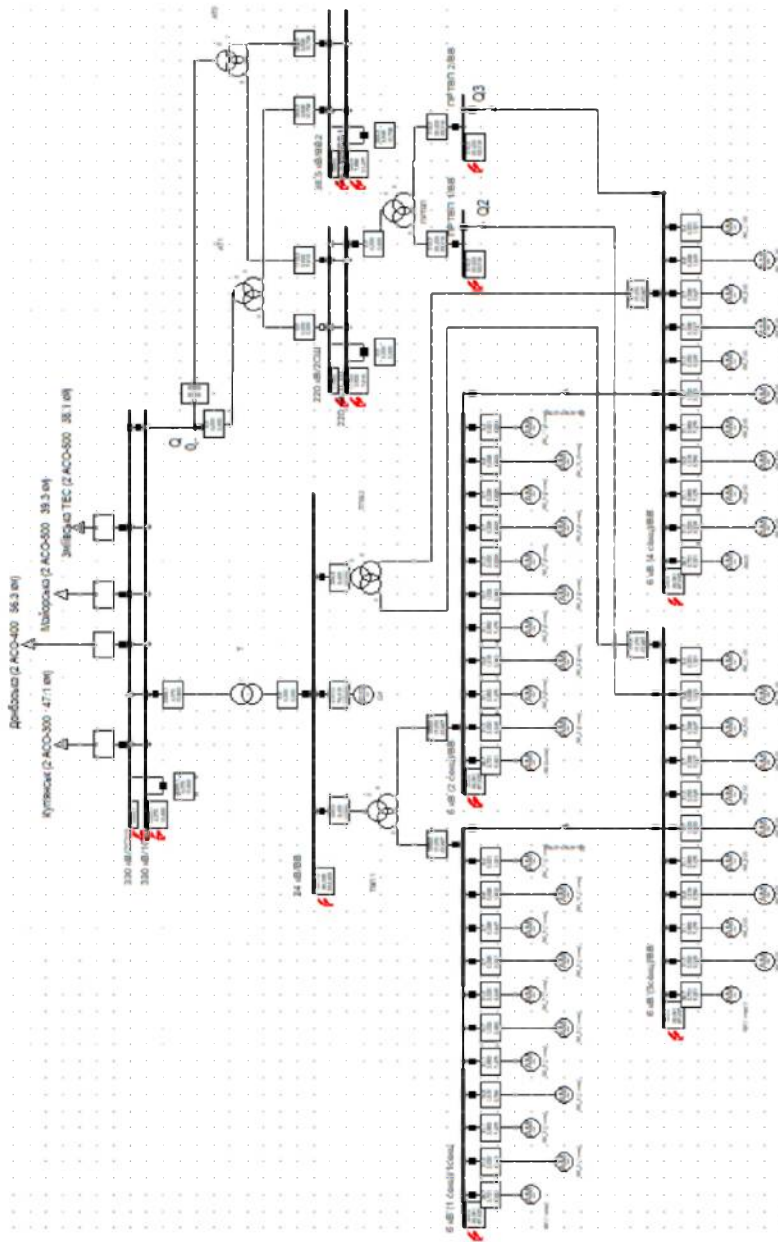


Рисунок 3.23 – Схема аварийного режиму

Таблиця 3.7 – Результати розрахунку режиму (струми КЗ)

Місця повреждень з файлами Расчет КЗ / Метод : VDE 0102		3-фазное КЗ / Макс. токи КЗ										
Асинхронные двигатели	Идентификация сети	Длительность короткого замыкания										
Всезда учитывать	Автоматически	Время откл.	0,25 з									
Апериодическая составляющая (idc)	Температура проводника	Время КЗ (Ith)	1,00 з									
Используя метод	Преопределена пользователем	Коэф. напряжения с										
В		Предопределен пользователем	Нет									
Сеть: Сеть		Прил.: / 1										
Стадия сист.: Сеть												
Ном.У. [kV]	Напр. [kV]	с- кооф.	Sk ⁿ [MVA/MVA]	I _k * [kA/kA]	i _p [kA/kA]	I _b [kA]	S _b [MVA]	I _k [kA]	I _{th} [kA]			
220 кВ												
1CIII	220,00	0,00	0,00	1,10	1113,37 MVA	2,92 kA	-88,60	7,81 kA	2,92	1113,37	2,57	3,05
CBO	T1				1113,37 MVA	2,92 kA	91,40	7,81 kA				
AT1	Терминал	38.5 кВ			0,00 MVA	0,00 kA	0,00	0,00 kA				
ПРТП1	ПРТП1 1	ПРТП1 2			0,00 MVA	0,00 kA	0,00	0,00 kA				
2CIII					1113,37 MVA	2,92 kA	-88,60	7,81 kA	2,92	1113,37	2,57	3,05
CBO	T2				0,00 MVA	0,00 kA	0,00	0,00 kA				
AT2	Терминал	38.5 кВ			1113,37 MVA	2,92 kA	91,40	7,81 kA				

Продовження табл. 3.7 – Результати розрахунку режиму (струми КЗ)

24 кВ	ББ	24,00	0,00	0,00	1,10	3577,39 MVA	86,06 kA	-89,05	224,40 kA	66,99	2784,76	75,32	88,56
	Т	330 kB				0,00 MVA	0,00 kA	0,00	0,00 kA				
	ТЕП 1	6 kB (1 се	6 kB (2 се			224,46 MVA	5,40 kA	96,62	14,08 kA				
	ТЕП 2	6 kB (3сек	6 kB (4 се			224,46 MVA	5,40 kA	96,62	14,08 kA				
	G1					3130,97 MVA	75,32 kA	-89,56	196,40 kA				
330 kB	1СIII	330,00	0,00	0,00	1,10	2329,13 MVA	4,07 kA	-89,10	10,82 kA	3,78	2161,39	3,59	4,23
	CEO	T1				0,00 MVA	0,00 kA	0,00	0,00 kA				
	Т	24 kB				2329,13 MVA	4,07 kA	90,90	10,82 kA				
2СIII	330,00	0,00	0,00	1,10	2329,13 MVA	4,07 kA	-89,10	10,82 kA	3,78	2161,39	3,59	4,23	
	CEO	T0				2329,13 MVA	4,07 kA	90,90	10,82 kA				
	AT1	220 kB	38,5 kB			0,00 MVA	0,00 kA	0,00	0,00 kA				
	AT2	220 kB	38,5 kB			0,00 MVA	0,00 kA	0,00	0,00 kA				
38,5 kB	ББ2	38,50	0,00	0,00	1,10	526,52 MVA	7,90 kA	-88,82	21,48 kA	7,90	526,52	6,95	8,38
	AM_10 (3)					6,84 MVA	0,66 kA	95,71	1,64 kA				
	AM_11 (3)					5,41 MVA	0,52 kA	95,71	1,30 kA				
	AM_2 (3)					20,99 MVA	2,02 kA	95,71	5,05 kA				
	AM_3 (3)					31,09 MVA	2,99 kA	95,71	7,48 kA				
	AM_4 (3)					15,78 MVA	1,52 kA	95,71	3,80 kA				
	AM_5 (3)					31,09 MVA	2,99 kA	95,71	7,48 kA				
	AM_6 (3)					10,74 MVA	1,03 kA	95,71	2,58 kA				
	AM_7 (3)					20,99 MVA	2,02 kA	95,71	5,05 kA				
	AM_8 (3)					2,69 MVA	0,26 kA	95,71	0,65 kA				
	AM_9 (3)					2,69 MVA	0,26 kA	95,71	0,65 kA				
6 kB (4 секц)	ББ	6,00	0,00	0,00	1,10	364,37 MVA	35,06 kA	-84,90	87,64 kA	21,53	223,76	18,42	28,90
	CB7	T7.1				0,00 MVA	0,00 kA	0,00	0,00 kA				
	CBS	T8.1				0,00 MVA	0,00 kA	0,00	0,00 kA				
	ТЕП 2	24 kB	6 kB (3сек			177,40 MVA	17,07 kA	94,47	42,67 kA				
	AM (3)					38,67 MVA	3,72 kA	95,71	9,30 kA				
	AM_10 (4)					6,84 MVA	0,66 kA	95,71	1,64 kA				
	AM_11 (4)					5,41 MVA	0,52 kA	95,71	1,30 kA				
	AM_2 (4)					20,99 MVA	2,02 kA	95,71	5,05 kA				
	AM_3 (4)					31,09 MVA	2,99 kA	95,71	7,48 kA				
	AM_4 (4)					15,78 MVA	1,52 kA	95,71	3,80 kA				
	AM_5 (4)					31,09 MVA	2,99 kA	95,71	7,48 kA				
	AM_6 (4)					10,74 MVA	1,03 kA	95,71	2,58 kA				
	AM_7 (4)					20,99 MVA	2,02 kA	95,71	5,05 kA				
	AM_8 (4)					2,69 MVA	0,26 kA	95,71	0,65 kA				
	AM_9 (4)					2,69 MVA	0,26 kA	95,71	0,65 kA				
ПРТЕП 1	ББ	6,00	0,00	0,00	1,10	212,23 MVA	20,42 kA	-86,66	53,02 kA	20,42	212,23	17,98	20,98
	CB2	T1.3				0,00 MVA	0,00 kA	0,00	0,00 kA				
	ПРТЕП	220 kB	ПРТЕП 2			212,23 MVA	20,42 kA	93,34	53,02 kA				
ПРТЕП 2	ББ	6,00	0,00	0,00	1,10	212,23 MVA	20,42 kA	-86,66	53,02 kA	20,42	212,23	17,98	20,98
	CB2	T1.3				0,00 MVA	0,00 kA	0,00	0,00 kA				
	ПРТЕП	220 kB	ПРТЕП 1			212,23 MVA	20,42 kA	93,34	53,02 kA				
	CBO	T0				263,26 MVA	3,95 kA	91,18	10,74 kA				
	AT2	Термінал	220 kB			263,26 MVA	3,95 kA	91,18	10,74 kA				
	ББ1	38,50	0,00	0,00	1,10	526,52 MVA	7,90 kA	-88,82	21,48 kA	7,90	526,52	6,95	8,38
	CBO	T1				263,26 MVA	3,95 kA	91,18	10,74 kA				
	AT1	Термінал	220 kB			263,26 MVA	3,95 kA	91,18	10,74 kA				
6 kB (1 секц)	ББ	6,00	0,00	0,00	1,10	364,37 MVA	35,06 kA	-84,90	87,64 kA	21,53	223,76	18,42	28,90
	CB13	T13.1				0,00 MVA	0,00 kA	0,00	0,00 kA				
	ТЕП 1	24 kB	6 kB (2 се			177,40 MVA	17,07 kA	94,47	42,67 kA				
	AM (1 секц)					38,67 MVA	3,72 kA	95,71	9,30 kA				
	AM_10 (1 секц)					6,84 MVA	0,66 kA	95,71	1,64 kA				
	AM_11 (1 секц)					5,41 MVA	0,52 kA	95,71	1,30 kA				
	AM_2 (1 секц)					20,99 MVA	2,02 kA	95,71	5,05 kA				
	AM_3 (1 секц)					31,09 MVA	2,99 kA	95,71	7,48 kA				
	AM_4 (1 секц)					15,78 MVA	1,52 kA	95,71	3,80 kA				
	AM_5 (1 секц)					31,09 MVA	2,99 kA	95,71	7,48 kA				
	AM_6 (1 секц)					10,74 MVA	1,03 kA	95,71	2,58 kA				
	AM_7 (1 секц)					20,99 MVA	2,02 kA	95,71	5,05 kA				
	AM_8 (1 секц)					2,69 MVA	0,26 kA	95,71	0,65 kA				
	AM_9 (1 секц)					2,69 MVA	0,26 kA	95,71	0,65 kA				
6 kB (2 секц)	ББ	6,00	0,00	0,00	1,10	364,37 MVA	35,06 kA	-84,90	87,64 kA	21,53	223,76	18,42	28,90
	CB7	T7.1				0,00 MVA	0,00 kA	0,00	0,00 kA				
	ТЕП 1	24 kB	6 kB (1 се			177,40 MVA	17,07 kA	94,47	42,67 kA				
	AM (2 секц)					38,67 MVA	3,72 kA	95,71	9,30 kA				
	AM_10 (2секц)					6,84 MVA	0,66 kA	95,71	1,64 kA				
	AM_11 (2секц)					5,41 MVA	0,52 kA	95,71	1,30 kA				
	AM_2 (2 сесц)					20,99 MVA	2,02 kA	95,71	5,05 kA				
	AM_3 (2 сесц)					31,09 MVA	2,99 kA	95,71	7,48 kA				
	AM_4 (2 сесц)					15,78 MVA	1,52 kA	95,71	3,80 kA				
	AM_5 (2 сесц)					31,09 MVA	2,99 kA	95,71	7,48 kA				
	AM_6 (2 сесц)					10,74 MVA	1,03 kA	95,71	2,58 kA				
	AM_7 (2 сесц)					20,99 MVA	2,02 kA	95,71	5,05 kA				
	AM_8 (2 сесц)					2,69 MVA	0,26 kA	95,71	0,65 kA				
	AM_9 (2 сесц)					2,69 MVA	0,26 kA	95,71	0,65 kA				
6 kB (3секц)	ББ	6,00	0,00	0,00	1,10	364,37 MVA	35,06 kA	-84,90	87,64 kA	21,53	223,76	18,42	28,90
	CB13	T13.1				0,00 MVA	0,00 kA	0,00	0,00 kA				
	CB14	T14.1				0,00 MVA	0,00 kA	0,00	0,00 kA				
	ТЕП 2	24 kB	6 kB (4 се			177,40 MVA	17,07 kA	94,47	42,67 kA				
	AM (1 сесц(1)					38,67 MVA	3,72 kA	95,71	9,30 kA				

Отримані дані дозволяють виконувати аналіз рівнів струмів КЗ.

Таблиця 3.8 – Результати розрахунку режиму (струми однофазного КЗ)

Розрахунок КЗ		Метод : VDE 0102		1-фазное КЗ в землю				Макс. токи КЗ			
Алгоритмичні підходи		Ідентифікація мережі		Длітальність короткого замикання							
Всегда учитися		Автоматичні		Время откл.		0,25 с		Время КЗ (Ith)		1,00 с	
		Temperatura проводника		Коф. напряження с		Предопределен пользователем		Предопределены пользователем		Нет	
Сеть: Сеть	Стадия сист.: Сеть							Прим.: / 1			
	Ном.U. [kV]	Нагр. [kV]	с- [deg]	Коф.	Sk* [MVA/MBA]	I _k * [kA/kA]	ip [kA/kA]	I _b [kA]	S _b [MVA]	EFF	
220 кВ											
1СМ	A	220,00	0,00	0,00	1,10	475,35 MVA	3,74 kA	-88,82	10,01 kA	3,74	475,35 0,00
	B	125,49	-103,98			0,00 MVA	0,00 kA	0,00	0,00 kA	0,00	0,00 0,90
	C	124,30	104,16			0,00 MVA	0,00 kA	0,00	0,00 kA	0,00	0,00 0,89
СВ0	T1					A 435,66 MVA	3,43 kA	91,18	5,17 kA		
						B 39,69 MVA	0,31 kA	-88,82	0,84 kA		
						C 39,69 MVA	0,31 kA	-88,82	0,84 kA		
AT1	Терминал	38.5 кВ				A 0,00 MVA	0,00 kA	0,00	0,00 kA		
						B 0,00 MVA	0,00 kA	0,00	0,00 kA		
						C 0,00 MVA	0,00 kA	0,00	0,00 kA		
ПРТЗП	ПРТЗП 1	ПРТЗП 2				A 39,69 MVA	0,31 kA	91,18	0,84 kA		
						B 39,69 MVA	0,31 kA	91,18	0,84 kA		
						C 39,69 MVA	0,31 kA	91,18	0,84 kA		
2СМ	A	220,00	0,00	0,00	1,10	475,35 MVA	3,74 kA	-88,82	10,01 kA	3,74	475,35 0,00
	B	125,49	-103,98			0,00 MVA	0,00 kA	0,00	0,00 kA	0,00	0,00 0,90
	C	124,30	104,16			0,00 MVA	0,00 kA	0,00	0,00 kA	0,00	0,00 0,89
СВ0	T0					A 35,65 MVA	0,31 kA	91,18	0,84 kA		
						B 39,69 MVA	0,31 kA	91,18	0,84 kA		
						C 39,69 MVA	0,31 kA	91,18	0,84 kA		
AT2	Терминал	38.5 кВ				A 435,66 MVA	3,43 kA	91,18	5,17 kA		
						B 39,69 MVA	0,31 kA	-88,82	0,84 kA		
						C 39,69 MVA	0,31 kA	-88,82	0,84 kA		
24 кВ											
Б3	A	24,00	0,00	0,00	1,10	1485,20 MVA	107,19 kA	-89,25	279,49 kA	107,19	1485,20 0,00
	B	13,82	-105,92			0,00 MVA	0,00 kA	0,00	0,00 kA	0,00	0,00 0,90
	C	13,74	106,12			0,00 MVA	0,00 kA	0,00	0,00 kA	0,00	0,00 0,90
T	330 кВ					A 0,00 MVA	0,00 kA	0,00	0,00 kA		
						B 0,00 MVA	0,00 kA	0,00	0,00 kA		
						C 0,00 MVA	0,00 kA	0,00	0,00 kA		
ТВП 1	6 кВ (1 се	6 кВ (2 се				A 93,50 MVA	6,75 kA	94,56	17,60 kA		
						B 2,90 MVA	0,21 kA	3,10	0,55 kA		
						C 3,33 MVA	0,24 kA	5,44	0,63 kA		
ТПВ 2	6 кВ (3сек	6 кВ (4 се				A 93,50 MVA	6,75 kA	94,56	17,60 kA		
						B 2,90 MVA	0,21 kA	3,10	0,55 kA		
						C 3,33 MVA	0,24 kA	5,44	0,63 kA		
G1	A	1298,67 MVA				A 93,72 kA	-89,80		244,39 kA		
	B	5,80 MVA				B 0,42 kA	3,10		1,09 kA		
	C	6,67 MVA				C 0,48 kA	5,44		1,26 kA		
330 кВ											
1СМ	A	330,00	0,00	0,00	1,10	1050,08 MVA	5,51 kA	-89,22	14,64 kA	5,51	1050,08 0,00
	B	134,82	-99,34			0,00 MVA	0,00 kA	0,00	0,00 kA	0,00	0,00 0,88
	C	184,05	99,45			0,00 MVA	0,00 kA	0,00	0,00 kA	0,00	0,00 0,88
СВ0	T1					A 35,02 MVA	0,18 kA	90,78	0,49 kA		
						B 35,02 MVA	0,18 kA	90,78	0,49 kA		
						C 35,02 MVA	0,18 kA	90,78	0,49 kA		
T	24 кВ					A 1015,06 MVA	5,33 kA	90,78	14,15 kA		
						B 35,02 MVA	0,18 kA	-89,22	0,49 kA		
						C 35,02 MVA	0,18 kA	-89,22	0,49 kA		
Куп'янськ (2 АС	A					A 0,00 MVA	0,00 kA	0,00	0,00 kA		
	B					B 0,00 MVA	0,00 kA	0,00	0,00 kA		
	C					C 0,00 MVA	0,00 kA	0,00	0,00 kA		
2СМ	A	330,00	0,00	0,00	1,10	1050,08 MVA	5,51 kA	-89,22	14,64 kA	5,51	1050,08 0,00
	B	134,82	-99,34			0,00 MVA	0,00 kA	0,00	0,00 kA	0,00	0,00 0,88
	C	184,05	99,45			0,00 MVA	0,00 kA	0,00	0,00 kA	0,00	0,00 0,88
СВ0	T0					A 1015,06 MVA	5,33 kA	90,78	14,15 kA		
						B 35,02 MVA	0,18 kA	-89,22	0,49 kA		
						C 35,02 MVA	0,18 kA	-89,22	0,49 kA		
AT1	220 кВ	38.5 кВ				A 0,00 MVA	0,00 kA	0,00	0,00 kA		
						B 0,00 MVA	0,00 kA	0,00	0,00 kA		
						C 0,00 MVA	0,00 kA	0,00	0,00 kA		
AT2	220 кВ	38.5 кВ				A 0,00 MVA	0,00 kA	0,00	0,00 kA		
						B 0,00 MVA	0,00 kA	0,00	0,00 kA		
						C 0,00 MVA	0,00 kA	0,00	0,00 kA		
Донбаська (2 АС	A					A 0,00 MVA	0,00 kA	0,00	0,00 kA		
	B					B 0,00 MVA	0,00 kA	0,00	0,00 kA		
	C					C 0,00 MVA	0,00 kA	0,00	0,00 kA		
Зміївська ТЕС (A					A 0,00 MVA	0,00 kA	0,00	0,00 kA		
	B					B 0,00 MVA	0,00 kA	0,00	0,00 kA		
	C					C 0,00 MVA	0,00 kA	0,00	0,00 kA		
Майорська (2 АС	A					A 0,00 MVA	0,00 kA	0,00	0,00 kA		
	B					B 0,00 MVA	0,00 kA	0,00	0,00 kA		
	C					C 0,00 MVA	0,00 kA	0,00	0,00 kA		
38.5 кВ											
Б32	A	38,50	0,00	0,00	1,10	0,00 MVA	0,00 kA	0,00	0,00 kA	0,00	0,00 0,00
	B	42,35	-150,00			0,00 MVA	0,00 kA	0,00	0,00 kA	0,00	0,00 1,73
	C	42,35	150,00			0,00 MVA	0,00 kA	0,00	0,00 kA	0,00	0,00 1,73
СВ0	T0					A 0,00 MVA	0,00 kA	0,00	0,00 kA		
						B 0,00 MVA	0,00 kA	0,00	0,00 kA		
						C 0,00 MVA	0,00 kA	0,00	0,00 kA		
AT2	Терминал	220 кВ				A 0,00 MVA	0,00 kA	0,00	0,00 kA		
						B 0,00 MVA	0,00 kA	0,00	0,00 kA		
						C 0,00 MVA	0,00 kA	0,00	0,00 kA		

Продовження табл. 3.8 – Результати розрахунку режиму (струми однофазного КЗ)

БЕ1	A	38,50	0,00	0,00	1,10	0,00 MVA	0,00 kA	0,00	0,00 kA	0,00	0,00	0,00 0,00
	Б		42,35	-150,00		0,00 MVA	0,00 kA	0,00	0,00 kA	0,00	0,00	0,00 1,73
	С		42,35	150,00		0,00 MVA	0,00 kA	0,00	0,00 kA	0,00	0,00	0,00 1,73
СВ0		T1				A 0,00 MVA	0,00 kA	0,00	0,00 kA			
						B 0,00 MVA	0,00 kA	0,00	0,00 kA			
						C 0,00 MVA	0,00 kA	0,00	0,00 kA			
AT1		Термінал	220 кВ			A 0,00 MVA	0,00 kA	0,00	0,00 kA			
						B 0,00 MVA	0,00 kA	0,00	0,00 kA			
						C 0,00 MVA	0,00 kA	0,00	0,00 kA			
6 кВ (1 секунда)												
1секунда	A	6,00	0,00	0,00	1,10	0,00 MVA	0,00 kA	-44,91	0,00 kA	0,00	0,00	0,00 0,00
	Б		6,60	-150,00		0,00 MVA	0,00 kA	0,00	0,00 kA	0,00	0,00	0,00 1,73
	С		6,60	150,00		0,00 MVA	0,00 kA	0,00	0,00 kA	0,00	0,00	0,00 1,73
СВ13		T13.1				A 0,00 MVA	0,00 kA	0,00	0,00 kA			
						B 0,00 MVA	0,00 kA	0,00	0,00 kA			
						C 0,00 MVA	0,00 kA	0,00	0,00 kA			
TВП 1		24 кВ	6 кВ (2 секунди)			A 0,00 MVA	0,00 kA	134,54	0,00 kA			
						B 0,00 MVA	0,00 kA	-45,72	0,00 kA			
						C 0,00 MVA	0,00 kA	-45,75	0,00 kA			
AM (1 секунда)	A		0,00 MVA	0,00 kA	135,37							
	Б		0,00 MVA	0,00 kA	134,16							
	С		0,00 MVA	0,00 kA	134,13							
AM_10 (1 секунда)	A		0,00 MVA	0,00 kA	135,34							
	Б		0,00 MVA	0,00 kA	0,00							
	С		0,00 MVA	0,00 kA	0,00							
AM_11 (1 секунда)	A		0,00 MVA	0,00 kA	135,34							
	Б		0,00 MVA	0,00 kA	134,41							
	С		0,00 MVA	0,00 kA	134,39							
AM_3 (1 секунда)	A		0,00 MVA	0,00 kA	135,37							
	Б		0,00 MVA	0,00 kA	134,16							
	С		0,00 MVA	0,00 kA	134,13							
AM_4 (1 секунда)	A		0,00 MVA	0,00 kA	135,37							
	Б		0,00 MVA	0,00 kA	0,00							
	С		0,00 MVA	0,00 kA	0,00							
AM_5 (1 секунда)	A		0,00 MVA	0,00 kA	135,37							
	Б		0,00 MVA	0,00 kA	134,16							
	С		0,00 MVA	0,00 kA	134,13							
AM_6 (1 секунда)	A		0,00 MVA	0,00 kA	135,34							
	Б		0,00 MVA	0,00 kA	0,00							
	С		0,00 MVA	0,00 kA	0,00							
AM_7 (1 секунда)	A		0,00 MVA	0,00 kA	135,34							
	Б		0,00 MVA	0,00 kA	134,41							
	С		0,00 MVA	0,00 kA	134,39							
AM_8 (1 секунда)	A		0,00 MVA	0,00 kA	0,00							
	Б		0,00 MVA	0,00 kA	0,00							
	С		0,00 MVA	0,00 kA	0,00							
AM_9 (1 секунда)	A		0,00 MVA	0,00 kA	0,00							
	Б		0,00 MVA	0,00 kA	0,00							
	С		0,00 MVA	0,00 kA	0,00							
6 кВ (2 секунди)												
БЕ1	A	6,00	0,00	0,00	1,10	0,00 MVA	0,00 kA	-44,91	0,00 kA	0,00	0,00	0,00 0,00
	Б		6,60	-150,00		0,00 MVA	0,00 kA	0,00	0,00 kA	0,00	0,00	0,00 1,73
	С		6,60	150,00		0,00 MVA	0,00 kA	0,00	0,00 kA	0,00	0,00	0,00 1,73
СВ7		T7.1				A 0,00 MVA	0,00 kA	0,00	0,00 kA			
						B 0,00 MVA	0,00 kA	0,00	0,00 kA			
						C 0,00 MVA	0,00 kA	0,00	0,00 kA			
TВП 1		24 кВ	6 кВ (1 секунда)			A 0,00 MVA	0,00 kA	134,54	0,00 kA			
						B 0,00 MVA	0,00 kA	-45,72	0,00 kA			
						C 0,00 MVA	0,00 kA	-45,75	0,00 kA			
AM (2 секунди)	A		0,00 MVA	0,00 kA	135,37							
	Б		0,00 MVA	0,00 kA	134,16							
	С		0,00 MVA	0,00 kA	134,13							
AM_10 (2 секунди)	A		0,00 MVA	0,00 kA	135,34							
	Б		0,00 MVA	0,00 kA	0,00							
	С		0,00 MVA	0,00 kA	0,00							
AM_11 (2 секунди)	A		0,00 MVA	0,00 kA	135,34							
	Б		0,00 MVA	0,00 kA	0,00							
	С		0,00 MVA	0,00 kA	0,00							
AM_2 (2 секунди)	A		0,00 MVA	0,00 kA	135,34							
	Б		0,00 MVA	0,00 kA	134,41							
	С		0,00 MVA	0,00 kA	134,39							
AM_3 (2 секунди)	A		0,00 MVA	0,00 kA	135,37							
	Б		0,00 MVA	0,00 kA	134,16							
	С		0,00 MVA	0,00 kA	134,13							
AM_4 (2 секунди)	A		0,00 MVA	0,00 kA	135,37							
	Б		0,00 MVA	0,00 kA	0,00							
	С		0,00 MVA	0,00 kA	0,00							
AM_5 (2 секунди)	A		0,00 MVA	0,00 kA	135,37							
	Б		0,00 MVA	0,00 kA	134,16							
	С		0,00 MVA	0,00 kA	134,13							
AM_6 (2 секунди)	A		0,00 MVA	0,00 kA	135,34							
	Б		0,00 MVA	0,00 kA	0,00							
	С		0,00 MVA	0,00 kA	0,00							
AM_7 (2 секунди)	A		0,00 MVA	0,00 kA	135,34							
	Б		0,00 MVA	0,00 kA	134,41							
	С		0,00 MVA	0,00 kA	134,39							
AM_8 (2 секунди)	A		0,00 MVA	0,00 kA	0,00							
	Б		0,00 MVA	0,00 kA	0,00							
	С		0,00 MVA	0,00 kA	0,00							
AM_9 (2 секунди)	A		0,00 MVA	0,00 kA	0,00							
	Б		0,00 MVA	0,00 kA	0,00							
	С		0,00 MVA	0,00 kA	0,00							
6 кВ (3 секунди)												
БЕ1	A	6,00	0,00	0,00	1,10	0,00 MVA	0,00 kA	-44,91	0,00 kA	0,00	0,00	0,00 0,00
	Б		6,60	-150,00		0,00 MVA	0,00 kA	0,00	0,00 kA	0,00	0,00	0,00 1,73
	С		6,60	150,00		0,00 MVA	0,00 kA	0,00	0,00 kA	0,00	0,00	0,00 1,73

Продовження табл. 3.8 – Результати розрахунку режиму (струми однофазного КЗ)

CB13	T13.1	A	0,00 MVA	0,00 kA	0,00	0,00 kA			
CB14	T14.1	A	0,00 MVA	0,00 kA	0,00	0,00 kA			
		B	0,00 MVA	0,00 kA	0,00	0,00 kA			
		C	0,00 MVA	0,00 kA	0,00	0,00 kA			
TНВ 2	24 кВ	6 кВ (4 се)	A	0,00 MVA	0,00 kA	134,54	0,00 kA		
		B	0,00 MVA	0,00 kA	-45,72	0,00 kA			
		C	0,00 MVA	0,00 kA	-45,75	0,00 kA			
AM (1 секція(1)		A	0,00 MVA	0,00 kA	135,37	0,00 kA			
		B	0,00 MVA	0,00 kA	134,16	0,00 kA			
		C	0,00 MVA	0,00 kA	134,13	0,00 kA			
AM_10 (3)		A	0,00 MVA	0,00 kA	135,34	0,00 kA			
		B	0,00 MVA	0,00 kA	0,00	0,00 kA			
		C	0,00 MVA	0,00 kA	0,00	0,00 kA			
AM_11 (3)		A	0,00 MVA	0,00 kA	135,34	0,00 kA			
		B	0,00 MVA	0,00 kA	0,00	0,00 kA			
		C	0,00 MVA	0,00 kA	0,00	0,00 kA			
AM_2 (3)		A	0,00 MVA	0,00 kA	135,34	0,00 kA			
		B	0,00 MVA	0,00 kA	134,41	0,00 kA			
		C	0,00 MVA	0,00 kA	134,39	0,00 kA			
AM_3 (3)		A	0,00 MVA	0,00 kA	135,37	0,00 kA			
		B	0,00 MVA	0,00 kA	134,16	0,00 kA			
		C	0,00 MVA	0,00 kA	134,13	0,00 kA			
AM_4 (3)		A	0,00 MVA	0,00 kA	135,37	0,00 kA			
		B	0,00 MVA	0,00 kA	0,00	0,00 kA			
		C	0,00 MVA	0,00 kA	0,00	0,00 kA			
AM_5 (3)		A	0,00 MVA	0,00 kA	135,37	0,00 kA			
		B	0,00 MVA	0,00 kA	134,16	0,00 kA			
		C	0,00 MVA	0,00 kA	134,13	0,00 kA			
AM_6 (3)		A	0,00 MVA	0,00 kA	135,34	0,00 kA			
		B	0,00 MVA	0,00 kA	0,00	0,00 kA			
		C	0,00 MVA	0,00 kA	0,00	0,00 kA			
AM_7 (3)		A	0,00 MVA	0,00 kA	135,34	0,00 kA			
		B	0,00 MVA	0,00 kA	134,41	0,00 kA			
		C	0,00 MVA	0,00 kA	134,39	0,00 kA			
AM_8 (3)		A	0,00 MVA	0,00 kA	0,00	0,00 kA			
		B	0,00 MVA	0,00 kA	0,00	0,00 kA			
		C	0,00 MVA	0,00 kA	0,00	0,00 kA			
AM_9 (3)		A	0,00 MVA	0,00 kA	0,00	0,00 kA			
		B	0,00 MVA	0,00 kA	0,00	0,00 kA			
		C	0,00 MVA	0,00 kA	0,00	0,00 kA			
6 кВ (4 секція)									
Б3	A	6,00	0,00	0,00	1,10	0,00 MVA	0,00 kA	-44,91	0,00 kA
	B		6,60	-150,00		0,00 MVA	0,00 kA	0,00	0,00 kA
	C		6,60	150,00		0,00 MVA	0,00 kA	0,00	0,00 kA
CB7	T7.1	A	0,00 MVA	0,00 kA	0,00	0,00 kA			
		B	0,00 MVA	0,00 kA	0,00	0,00 kA			
		C	0,00 MVA	0,00 kA	0,00	0,00 kA			
CB8	T8.1	A	0,00 MVA	0,00 kA	0,00	0,00 kA			
		B	0,00 MVA	0,00 kA	0,00	0,00 kA			
		C	0,00 MVA	0,00 kA	0,00	0,00 kA			
TНВ 2	24 кВ	6 кВ (3сек	A	0,00 MVA	0,00 kA	134,54	0,00 kA		
		B	0,00 MVA	0,00 kA	-45,72	0,00 kA			
		C	0,00 MVA	0,00 kA	-45,75	0,00 kA			
AM (3)		A	0,00 MVA	0,00 kA	135,37	0,00 kA			
		B	0,00 MVA	0,00 kA	134,16	0,00 kA			
		C	0,00 MVA	0,00 kA	134,13	0,00 kA			
AM_10 (4)		A	0,00 MVA	0,00 kA	135,34	0,00 kA			
		B	0,00 MVA	0,00 kA	0,00	0,00 kA			
		C	0,00 MVA	0,00 kA	0,00	0,00 kA			
AM_11 (4)		A	0,00 MVA	0,00 kA	135,34	0,00 kA			
		B	0,00 MVA	0,00 kA	0,00	0,00 kA			
		C	0,00 MVA	0,00 kA	0,00	0,00 kA			
AM_2 (4)		A	0,00 MVA	0,00 kA	135,34	0,00 kA			
		B	0,00 MVA	0,00 kA	134,41	0,00 kA			
		C	0,00 MVA	0,00 kA	134,39	0,00 kA			
AM_3 (4)		A	0,00 MVA	0,00 kA	135,37	0,00 kA			
		B	0,00 MVA	0,00 kA	134,16	0,00 kA			
		C	0,00 MVA	0,00 kA	134,13	0,00 kA			
AM_4 (4)		A	0,00 MVA	0,00 kA	135,37	0,00 kA			
		B	0,00 MVA	0,00 kA	0,00	0,00 kA			
		C	0,00 MVA	0,00 kA	0,00	0,00 kA			
AM_5 (4)		A	0,00 MVA	0,00 kA	135,37	0,00 kA			
		B	0,00 MVA	0,00 kA	134,16	0,00 kA			
		C	0,00 MVA	0,00 kA	134,13	0,00 kA			
AM_6 (4)		A	0,00 MVA	0,00 kA	135,34	0,00 kA			
		B	0,00 MVA	0,00 kA	0,00	0,00 kA			
		C	0,00 MVA	0,00 kA	0,00	0,00 kA			
AM_7 (4)		A	0,00 MVA	0,00 kA	135,34	0,00 kA			
		B	0,00 MVA	0,00 kA	134,41	0,00 kA			
		C	0,00 MVA	0,00 kA	134,39	0,00 kA			
AM_8 (4)		A	0,00 MVA	0,00 kA	0,00	0,00 kA			
		B	0,00 MVA	0,00 kA	0,00	0,00 kA			
		C	0,00 MVA	0,00 kA	0,00	0,00 kA			
AM_9 (4)		A	0,00 MVA	0,00 kA	0,00	0,00 kA			
		B	0,00 MVA	0,00 kA	0,00	0,00 kA			
		C	0,00 MVA	0,00 kA	0,00	0,00 kA			
ПРТВЛ 1									
Б3	A	6,00	0,00	0,00	1,10	0,00 MVA	0,00 kA	0,00	0,00 kA
	B		6,60	-150,00		0,00 MVA	0,00 kA	0,00	0,00 kA
	C		6,60	150,00		0,00 MVA	0,00 kA	0,00	0,00 kA
CB2	T1.3	A	0,00 MVA	0,00 kA	0,00	0,00 kA			
		B	0,00 MVA	0,00 kA	0,00	0,00 kA			

Продовження табл. 3.8 – Результати розрахунку режиму (струми однофазного КЗ)

ПРТЗП		220 кВ	ПРТЗП 2		C	0,00 MVA	0,00 kA	0,00	0,00 kA		
			A	0,00 MVA	0,00	0,00	0,00	0,00	0,00	0,00 0,00	
			B	0,00 MVA	0,00 kA	0,00	0,00	0,00	0,00	0,00 0,00	
			C	0,00 MVA	0,00 kA	0,00	0,00	0,00	0,00	0,00 0,00	
ПРТЗП 2											
ВЗ	A	6,00	0,00	0,00	1,10	0,00 MVA	0,00 kA	0,00	0,00	0,00 0,00	
	B		6,60	-150,00		0,00 MVA	0,00 kA	0,00	0,00	0,00 0,00	
	C		6,60	150,00		0,00 MVA	0,00 kA	0,00	0,00	0,00 1,73	
СВ2		T1.3				A	0,00 MVA	0,00 kA	0,00	0,00	
						B	0,00 MVA	0,00 kA	0,00	0,00	
						C	0,00 MVA	0,00 kA	0,00	0,00	
ПРТЗП		220 кВ		ПРТЗП 1		A	0,00 MVA	0,00 kA	0,00	0,00	
						B	0,00 MVA	0,00 kA	0,00	0,00	
						C	0,00 MVA	0,00 kA	0,00	0,00	

Роздивимося вплив навантаження на хід перехідних процесів:

по-перше, більше навантаження – більший рівень збудження в порівнянні з режимом холостого ходу;

по-друге, воно впливає на розподіл струмів в схемі електропостачання;

крім того, навантаження зменшує зовнішній опір в колі статора генератора (шунтує).

Внаслідок останнього фактору, збільшується струм в колі статора, зменшується напруга на виводах, і відповідно зменшується струм на ділянці, де виникло ушкодження.

Теоретично доведено, що при віддаленості КЗ вплив навантаження збільшується, і навпаки, при КЗ на виводах, навантаження не здійснює значного впливу.

Промислове навантаження, звісно ж, складається переважно з двигунів, опір яких істотно залежить від ковзання (див. розділ 3.1). Незважаючи на це, допустимим є характеризувати навантаження постійною індуктивністю, яка приводиться до повної потужності навантаження і середньої номінальної напруги точки підключення навантаження: $x_{hab} = 1,2$, $E_{hab} = 0$.

Для кожного генератора можна встановити найменшу величину зовнішньої реактивності (критична реактивність), при КЗ за якою генератор при граничному збудженні забезпечує нормальну (номінальну) напругу на затискачах:

$$x_{kp} = x_d \cdot \frac{U_{nom}}{E_{q,max} - U_{nom}}$$

Для режиму нормальні напруги:

$$\left. \begin{array}{l} x_{\text{зовн}} \geq x_{kp} \\ I_f \leq I_{f\max} \\ U = U_{\text{ном}} \\ I_{\kappa} = \frac{U_{\text{ном}}}{x_{\text{зовн}}} \leq I_{kp} \end{array} \right\}$$

Для режиму граничного збудження:

$$\left. \begin{array}{l} x_{\text{зовн}} \leq x_{kp} \\ I_f = I_{f\max} \\ U \leq U_{\text{ном}} \\ I_{\kappa} = \frac{E_{q\max}}{x_d + x_{\text{зовн}}} \geq I_{kp} \end{array} \right\}$$

Отже усталений режим КЗ для генератора розраховується в наступній послідовності:

- визначається індуктивний опір зовнішнього кола $x_{\text{зовн}}$;
- визначається критична реактивність x_{kp} ;
- визначається співвідношення між $x_{\text{зовн}}$ і x_{kp} ;
- робиться висновок про режим роботи генератора с регулятором збудження;
- визначається струм в колі генератора I_{κ} ;
- визначається розподіл струмів в інших колах мережі.

Висновки за третім розділом

У даному розділі досліджувалася електрична частина електричної станції. В роботі була приведена схема підключення електричної станції до

електричної системи з розподілом приєднань по шинам розподільчих устроїв, електрична схема електростанції зі схемою власних потреб. Для даної схеми приводяться параметри генератора, силових трансформаторів, асинхронних двигунів.

У цьому розділі виконаний розрахунок параметрів схем заміщення асинхронних двигунів власних потреб. Були визначені експлуатаційні параметри двигунів (параметри схем заміщення); пускові характеристики (залежності струму і моменту обертання відковзання).

Також в роботі розраховуються кутова швидкість $\omega = f(t)$ і напруга самозапуску двигунів власних потреб електростанції $U_{c.z.} = f(t)$.

У даному розділі створена математична модель електричної частини електростанції, показаний результат розрахунку сталого режиму максимального навантаження. За допомогою цієї ж моделі виконаний розрахунок сталий короткого замикання як трифазного, так і однофазного.

Отримані практичні результати магістерської роботи будуть використані на кафедрі «Електрична інженерія» ДВНЗ ДонНТУ для лабораторних і практичних робіт при вивчені дисципліни «Електрична частина станцій та підстанцій».

РОЗДІЛ 4 ОХОРОНА ПРАЦІ

Умови праці – сукупність усіх чинників, які необхідні для нормальної життєдіяльності працівників під час роботи. Вони характеризуються:

– загальними показниками: конструктивні особливості виробничого устаткування; особливості систем енергопостачання; зовнішні кліматичні умови та особливості розташування виробничого устаткування; наявність пристрій для створення мікроклімату, освітлення, опалення тощо;

– локальними показниками: рівень статичних і динамічних навантажень працівників; рівень напруженості праці; кількісні показники небезпечних і (або) шкідливих виробничих чинників (НШВЧ); санітарно гігієнічні умовами у виробничих приміщеннях та на робочих місцях тощо.

За своїм походженням та природою дії НШВЧ поділяють на п'ять груп: фізичні, хімічні, біологічні, психофізіологічні та соціальні.

До фізичних НШВЧ відносяться машини та механізми або їх елементи, а також вироби, матеріали, заготовки тощо, які рухаються або обертаються; конструкції, які руйнуються; системи, устаткування або елементи обладнання, які знаходяться під підвищеним тиском; підвищена запиленість та загазованість повітря; підвищена або понижена температура повітря, поверхонь приміщення, обладнання, матеріалів; підвищений рівні шуму, вібрації, ультразвуку, інфразвуку; підвищений або понижений барометричний тиск та його різкі коливання; підвищена та понижена вологість; підвищена швидкість руху та підвищена іонізація повітря; підвищений рівень іонізуючих випромінювань; підвищене значення напруги в електричній мережі; підвищені рівні статичної електрики, електромагнітних випромінювань; підвищена напруженість електричного, магнітного полів; відсутність або нестача світла; недостатня освітленість робочої зони; підвищена яскравість світла; понижена контрастність; пряний та відзеркальний блиск; підвищена пульсація світлового потоку; підвищені рівні ультрафіолетової та інфрачервоної радіації; гострі кромки, задирки,

шершавість на поверхні заготовок, інструментів та обладнання; розташування робочого місця на значній висоті відносно землі (підлоги); слизька підлога; невагомість.

До хімічних НШВЧ відносяться хімічні речовини, які по характеру дії на організм людини поділяються на токсичні, задушливі, наркотичні, подразнюючі, сенсибілізуючі, канцерогенні, мутагенні та такі, що впливають на репродуктивну функцію. Основні способи потрапляння НШВЧ в організм – інгаляційний (органи дихання), пероральний (шлунково-кишковий тракт) і резорбційний (шкіряні покриви та слизисті оболонки).

До біологічних НШВЧ відносяться патогенні мікроорганізми (бактерії, віруси, рикетсії, спірохети, грибки, найпростіші) та продукти їхньої життєдіяльності, а також макроорганізми (тварини та рослини).

До психофізіологічних НШВЧ відносяться фізичні (статичні та динамічні) перевантаження і нервово-психічні перевантаження (розумове перенапруження, перенапруження аналізаторів, монотонність праці, емоційні перевантаження).

Соціальні НШВЧ – це неякісна організація роботи, понаднормова робота, необхідність роботи в колективі з поганими відносинами між його членами, соціальна ізольованість з відривом від сім'ї, зміна біоритмів, незадоволеність роботою, фізична та/або словесна образа та її ризик, насильство та його ризик.

На енергетичних об'єктах фіксують усі види НШВЧ. Основними НШВЧ під час експлуатації електроустановок є електричний струм, напруга прямого і непрямого дотику, напруга кроку, електростатичні та електромагнітні поля промислової частоти, електрична дуга, яка утворюється під час комутації енергетичного устаткування.

Особливості електротравматизму.

Електротравматизм порівняно з травматизмом від інших небезпечних чинників притаманні такі особливості:

По-перше, несподіваність отримання електротравми – пов’язана з тим, що людина не має датчиків (рецепторів), за допомогою яких вона могла би дистанційно визначити наявність небезпеки (електричної напруги) на елементах обладнання (як, наприклад, інші небезпечні фактори – частини обладнання, що рухаються, нагріті деталі та інші). Не знаючи про небезпеку, людина сміливо доторкується до частини обладнання під напругою. Захисна реакція у цьому випадку виникає лише після включення людини під напругу, тобто після того, як через неї починає протікати електричний струм. Наслідки такого включення визначаються співвідношенням двох швидкостей: швидкості гальмівної дії електричного струму і швидкості захисної реакції організму. Якщо більше швидкість захисної реакції, людина самостійно відключається з ЕУ, а якщо більшою є швидкість гальмівної дії електричного струму, людина на певний час залишається включеною в електричне коло.

По-друге, можливість дистанційного отримання електротравм без безпосереднього контакту з установкою під напругою – це може бути ураження через електричну дугу, якщо людина наблизилася на критичну відстань до ЕУ напругою понад 1 кВ, або ураження напругою кроку, якщо людина знаходиться у зоні локальної землі у випадку замикання на землю.

Далі, можлива рефлекторність дії електричного струму – електричний струм, що протікає через тіло людини під час ураження, діє не тільки у місцях контактів (точка входу і точка виходу), але ще спричиняє й рефлекторну дію, порушуючи роботу центрів, які координують роботу життєво важливих органів, найчастіше серцево-судинної системи та дихання.

Наступне, невідомість, прихованість більшості електротравм – розслідуванню, обліку та аналізу доступні лише електротравми з тяжкими та смертельними наслідками, а усі інші випадки включення людини в електричне коло залишаються невідомими, хоча причини цих електротравм, як правило, однакові; такий стан негативно впливає на профілактику електротравм.

ВИСНОВКИ

В даній роботі була створення математичної моделі електричної частини електростанції з метою дослідження сталих та перехідних режимів роботи мережі. Отриману математичну модель можна використовувати для підвищення надійності функціонування такого важливого елементу енергосистеми, як електрична станція.

Крім того проаналізовані математичні моделі двигунів власних потреб, визначені параметри їх схем заміщення, отримані пускові характеристики. За допомогою отриманих даних є можливість аналізувати процеси самозапуску двигунів власних потреб вище згаданих електричних станцій.

У першому розділі розглянуті причини та наслідки виникнення коротких замикань.

У другому розділі розглядаються фізичні явища, які виникають в ЕЕС системах при виникненні перехідних процесів.

Особливу увагу приділено питанням перехідних процесів синхронних машин без демпферних обмоток або з ними. Розглянуті диференціальні рівняння, які у повній мірі описують перехідні процеси. Вони враховують основні складові електромагнітного перехідного процесу в електричній машині, і ці рівняння визначають струм раптового трифазного КЗ.

На векторних діаграмах проаналізовані складові струмів КЗ, їх залежність від попереднього режиму і характеру навантаження.

У третьому розділі досліджувалася електрична частина електричної станції. В роботі була приведена схема підключення електричної станції до електричної системи з розподілом приєднань по шинам розподільчих пристрій, електрична схема електростанції зі схемою власних потреб. Для даної схеми приводяться параметри генератора, силових трансформаторів, асинхронних двигунів.

Виконаний розрахунок параметрів схем заміщення асинхронних двигунів власних потреб. Були визначені експлуатаційні параметри двигунів

(параметри схем заміщення); пускові характеристики (залежності струму і моменту обертання від ковзання). Також в роботі розраховуються кутова швидкість $\omega = f(t)$ і напруга самозапуску двигунів власних потреб електростанції $U_{c.z.} = f(t)$.

Створена математична модель електричної частини електростанції, показаний результат розрахунку сталого режиму максимального навантаження. За допомогою цієї ж моделі виконаний розрахунок сталий короткого замикання як трифазного, так і однофазного.

Отримані практичні результати магістерської роботи будуть використанні на кафедрі «Електрична інженерія» ДВНЗ ДонНТУ для лабораторних і практичних робіт при вивченні дисципліни «Електрична частина станцій та підстанцій».

У четвертому розділі розглянуті питання охорони праці.

СПИСОК ВИКОРИСТАНОЇ ЛІТЕРАТУРИ

1. Григорьева В. А. Тепловые и атомные электрические станции / В. А. Григорьева, В. М. Зорина. – М.: Энергоатомиздат, 1989. – 351 с.
2. Мотыгина С. А. Эксплуатация электрической части тепловых электростанций / С. А. Мотыгина. – М.: Энергия, 1979. – 568 с.
3. Сыромятников И. А. Режимы работы асинхронных и синхронных ЭД / И. А. Сыромятников. – М.: Энергоатомиздат, 1974. – 94 с.
4. Горев А. А. Переходные процессы синхронной машины / А. А. Горев. – Москва, 1950. – 551 с.
5. Переходные процессы в системах электроснабжения / [В. Н. Винославский, Г. Г. Пивняк, Л. И. Несен та ін.]. – Киев: "Вища школа", 1989. – 422 с.
6. Husson R. Control Methods for Electrical Machines / René Husson. – New York: Wiley & Sons, 2009. – 384 с.
7. Arrillaga J. Computer Modelling of Electrical Power Systems / J. Arrillaga, N. R. Watson., 2001. – 369 с.
8. Cobus S. Practical Electrical Network Automation and Communication Systems / Strauss Cobus., 2003. – 200 с.
9. Křížek M. Mathematical and Numerical Modelling in Electrical Engineering Theory and Applications / M. Křížek, P. Neittaanmäki. – Dordrecht: Springer, 1996. – 276 с.
10. Kłos A. Mathematical Models of Electrical Network Systems / Andrzej Kłos. – Cham: Springer, 2017. – 105 с.
11. Gertsbakh I. Network Reliability / I. Gertsbakh, Y. Shpungin. – Singapore: Springer, 2020. – 90 с.
12. Eric Wong W. Computer Engineering and Networking / W. Eric Wong, T. Zhu. – Cham: Springer, 2014. – 1426 с.
13. Mehmet E. Analysis of Deterministic Cyclic Gene Regulatory Network Models with Delays / E. Mehmet, Ö. Hitay, N. Silviu-Iulian. – Cham: Birkhäuser, 2015. – 94 с.